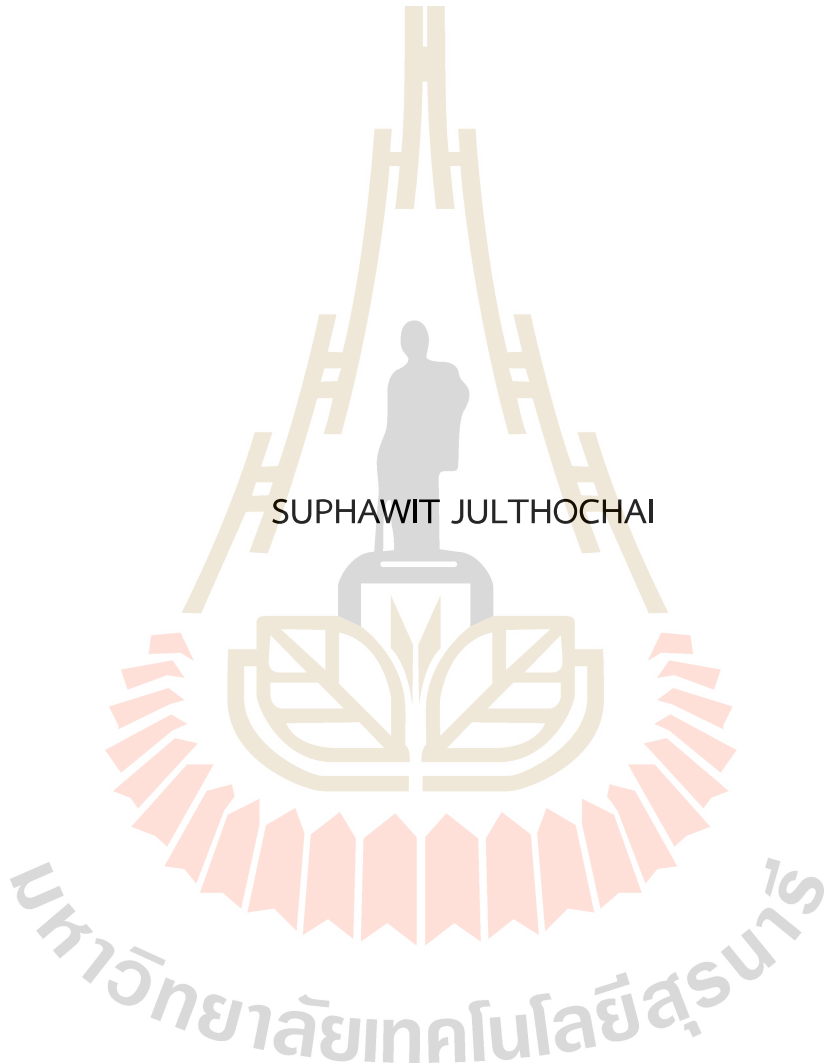


การศึกษาและออกแบบสถาปัตยกรรมอากาศแบบบ่วงขนาดเล็ก  
สำหรับย่านความถึกคลาส



วิทยานิพนธ์นี้เป็นส่วนหนึ่งของการศึกษาตามหลักสูตรปริญญาวิศวกรรมศาสตรมหาบัณฑิต  
สาขาวิชาวิศวกรรมโทรคมนาคมและคอมพิวเตอร์  
มหาวิทยาลัยเทคโนโลยีสุรนารี  
ปีการศึกษา 2566

STUDY AND DESIGN OF A SMALL LOOP ANTENNA ARRAY  
FOR MEDIUM FREQUENCY



A Thesis Submitted in Partial Fulfillment of the Requirements for the Degree of  
Master of Engineering in Telecommunication and Computer Engineering  
Suranaree University of Technology  
Academic Year 2023

การศึกษาและออกแบบสถาปัตยกรรมอาคารแบบบ่วงขนาดเล็ก  
สำหรับย่านความถี่กลาง

มหาวิทยาลัยเทคโนโลยีสุรนารีอนุมติให้นับวิทยานิพนธ์ฉบับนี้เป็นส่วนหนึ่งของการศึกษาตาม  
หลักสูตรปริญญามหาบัณฑิต

คณะกรรมการสอบวิทยานิพนธ์

(รศ.ดร.พิยารัตน์ มีสวัสดิ์)

ประธานกรรมการ

(รศ.ดร.รังสรรค์ วงศ์สรรค์)

กรรมการ (อาจารย์ที่ปรึกษาวิทยานิพนธ์)

(ผศ.ดร.อภิญญา ตีค่ายคำ)

กรรมการ

มหาวิทยาลัยเทคโนโลยีสุรนารี

(รศ. ดร.ยุพาร พรักสกุลพิวัฒน์)

รองอธิการบดีฝ่ายวิชาการและประกันคุณภาพ

(รศ. ดร.พรศิริ จังกล)

คณบดีสำนักวิชาศิลปกรรมศาสตร์

**ศุภวิชญ์ จุลโทชัย : การศึกษาและออกแบบแ metavar สำหรับสัญญาณ FM ที่มีความถี่กลาง (STUDY AND DESIGN OF A SMALL LOOP ANTENNA ARRAY FOR MEDIUM FREQUENCY)**

อาจารย์ที่ปรึกษา : รองศาสตราจารย์ ดร. รังสรรค์ วงศ์สรรค์, 72 หน้า.

**คำสำคัญ : สัญญาณแบบบ่วงขนาดเล็ก, จัดแ metavar สำหรับสัญญาณ FM**

ในปัจจุบันระบบการสื่อสารแบบไร้สายเข้ามายึด主导 ในการดำเนินการชีวิตของมนุษย์ และมีการนำมาใช้งานกันอย่างกว้าง ซึ่งที่ผ่านมาการสื่อสารไร้สายได้มีการพัฒนาและขยายตัวอย่างรวดเร็ว ด้วยรูปแบบการใช้งานและความสามารถที่แตกต่างกัน จะเห็นได้ว่าการสื่อสารแบบไร้สายเป็นอีกหนึ่ง ปัจจัยที่มีความสำคัญอย่างยิ่งต่อความสามารถในการสื่อสารได้อย่างมาก รวมไปถึงการนำระบบสื่อสาร แบบไร้สายไปใช้งานภายในครัวเรือนก็เป็นสิ่งสำคัญต่อการปฏิบัติงาน เช่นเดียวกัน เช่น การค้นหา การ กู้ภัย หรือการช่วยเหลือผู้ประสบภัย ซึ่งปัจจุบันอุปกรณ์เครื่องมือสื่อสารที่จะนำไปใช้งานภายในครัวเรือน ใช้ที่ย่านความถี่สูง เมื่อนำไปใช้งานภายในครัวเรือนส่งผลให้สื่อสารได้ในระยะทางที่สั้นเนื่องจากเกิดคลื่น สะท้อน แต่ในช่วงย่านความถี่ต่ำเมื่อคลื่นเดินทางเข้าไปในครัวเรือนเจอกัน คลื่นจะเกิดการเลี้ยวเบน (Diffraction) ไปตามผนังต่อต่อได้และที่สำคัญที่สุดก็คือมีค่าความลึกผิว (Skin depth) ที่สูงกว่า คลื่น สามารถเดินทางแทรกเข้าไปในพื้นผิวผนังได้มากเมื่อผนังทำมีความนำสูง อย่างไรก็ตาม การออกแบบ สัญญาณแบบบ่วงขนาดเล็กที่มีความถี่ต่ำนั้นทำให้สัญญาณแบบบ่วงมีขนาดใหญ่มาก จึงทำให้ ยากต่อการนำไปใช้งานภายในครัวเรือนได้

ดังนั้นวิทยานิพนธ์นี้จึงได้ศึกษาการเพิ่มประสิทธิภาพของสัญญาณแบบบ่วงขนาดเล็ก สำหรับใช้งานที่ย่านความถี่กลางที่ความถี่ 350 kHz สำหรับนำไปใช้งานรับคลื่นจากพื้นดิน โดยนำมา จัดแ metavar สำหรับสัญญาณแบบบ่วงขนาดเล็ก 1 อีลิเมนต์ 2 อีลิเมนต์ และ 4 อีลิ เมนต์ เพื่อเพิ่มประสิทธิภาพให้กับสัญญาณแบบบ่วงขนาดเล็ก และหาลักษณะการร่วงตัวของ สัญญาณที่เหมาะสม ใช้เครื่องกำเนิดต่อเข้ากับสัญญาณดิจิตอลเป็นภาคส่งอยู่บนครัวเรือน และสัญญาณ แบบบ่วงขนาดเล็กเป็นภาครับ มีระยะห่างภาคส่งและภาครับเท่ากับ 12.5 เมตร ที่มีกำลังส่งเท่ากับ 38.31 dBm พบร่วงตัวของสัญญาณแบบบ่วงที่ต้องการทำให้ค่ากำลังของสัญญาณสูงขึ้น การจัดวางที่เหมาะสม คือ สัญญาณแบบบ่วงจัดแ metavar แบบ  $4 \times 1$  มีค่ากำลังของสัญญาณที่รับได้เท่ากับ -33.1 dB ซึ่ง เปรียบเทียบกับร่วงตัวของสัญญาณแบบบ่วงที่ต้องการทำให้ค่ากำลังของสัญญาณที่รับได้เท่ากับ -52.9 dB มีค่า กำลังของสัญญาณที่รับเพิ่มขึ้น 19.8 dB

สาขาวิชา วิศวกรรมโทรคมนาคม  
ปีการศึกษา 2566

ลายมือชื่อนักศึกษา.....  
ลายมือชื่ออาจารย์ที่ปรึกษา.....

SUPHAWIT JULTHOCHAI : STUDY AND DESIGN OF A SMALL LOOP ANTENNA  
ARRAY FOR MEDIUM FREQUENCY.

THESIS ADVISOR: ASSOC. PROF. RANGSAN WONGSAN, D.Eng., 72 PP.

Keyword : Small loop antenna, Array, Medium frequency band

Currently, wireless communication systems play a crucial role in human life and are widely used, with rapid development and expansion in the past. The wireless communication technology has evolved quickly, adopting different usage patterns and capabilities. Therefore, wireless communication is seen as a significant factor that greatly facilitates communication, including its applications within caves, such as search and rescue operations and assistance to disaster victims. In cave environments, communication devices often operate in high-frequency ranges, resulting in shorter communication distances due to wave reflection. However, in the low-frequency range, when waves encounter cave walls, diffraction occurs, allowing them to propagate along the walls. The most crucial aspect is the skin depth of low-frequency waves, which enables them to penetrate the cave wall if it has high conductivity.

Hence, this thesis investigates the enhancement of the efficiency of small loop antennas for mid-frequency range operations, specifically at the operational frequency of 350 kHz for ground wave reception within caves. The study involves arranging the antennas in an array and increasing the number of small loop antennas, such as 1 element, 2 elements, and 4 elements, to improve the performance. The research identifies the suitable placement and configuration of these antennas and determines that a vertically arranged array of 4 elements, Type E, yields a signal power reception of -33.1 dB. This is compared to a vertically arranged 1-element configuration, which has a signal power reception of -52.9 dB, indicating an approximate increase in signal power reception by 19.8 dB.

School of Telecommunication Engineering  
Academic Year 2023

Student's Signature .....  
  
Advisor's Signature .....  


## กิตติกรรมประกาศ

วิทยานิพนธ์เล่มนี้สำเร็จลุล่วงด้วยดี เนื่องจากได้รับจากการความช่วยเหลืออย่างดียิ่ง ทั้งด้านวิชาการและด้านการดำเนินงานวิจัยจากบุคคลและกลุ่มบุคคลต่างๆ ได้แก่

รองศาสตราจารย์ ดร.รังสรรค์ วงศ์สรรค์ อาจารย์ที่ปรึกษาวิทยานิพนธ์ที่ให้โอกาสทางการศึกษาให้คำปรึกษาและช่วยแก้ปัญหาต่างๆ แก่ผู้วิจัยมาโดยตลอด รวมทั้งช่วยตรวจสอบแก้ไขวิทยานิพนธ์เล่มนี้จนเสร็จสมบูรณ์

รองศาสตราจารย์ ดร.ปิยะภรณ์ มีสวัสดิ์ ประธานกรรมการสอบวิทยานิพนธ์ ผู้ช่วยศาสตราจารย์ ดร.อภิญญา ดีค่ายคำ กรรมการสอบวิทยานิพนธ์ที่ช่วยให้คำชี้แนะและคำแนะนำเกี่ยวกับการทำวิทยานิพนธ์จนสำเร็จลุล่วงไปด้วยดี

คณะกรรมการประจำสาขาวิชาศึกษาระบบทรัตนคาม สำนักวิศวกรรมศาสตร์ มหาวิทยาลัยเทคโนโลยีสุรนารีทุกท่านที่ให้คำปรึกษาและแนะนำในด้านต่างๆ ด้วยดีมาตลอด

ขอขอบคุณคำแนะนำและกำลังใจที่เด้งจาก อ.ดร.พิรัสณ์ คำสาลี คุณอรรถวิท จันทอุปถี และพี่น้องบัณฑิตศึกษาทุกท่าน ที่เคยให้ความช่วยเหลือในด้านต่างๆ ของการทำวิทยานิพนธ์จนสำเร็จลุล่วงไปได้ด้วยดีมาตลอด

คุณบรรพต จุลโทชัย คุณบุญมี จุลโทชัย คุณวชิราภรณ์ พร้อมกระโภก ด.ญ.ศุภกานต์ จุลโทชัย ด.ญ.พรประวิณ จุลโทชัย ซึ่งเป็นบิดา มารดา ภรรยา และบุตรสาว ของผู้วิจัยและเป็นกำลังใจที่ดียิ่งเสมอตลอดระยะเวลาในการศึกษาและการทำวิทยานิพนธ์จนสำเร็จลุล่วงไปได้ด้วยดี อีกทั้งญาติพี่น้องเพื่อนสนิทมิตรหลายท่านในอดีตและปัจจุบันที่เคยให้กำลังใจในการทำวิทยานิพนธ์โดยสำเร็จลุล่วงไปได้ด้วยดี

สุดท้ายนี้ ผู้วิจัยขอขอบคุณอาจารย์ผู้สอนทุกท่านที่ให้ความรู้ด้านต่างๆ ทั้งในอดีตและปัจจุบัน และขอกราบขอขอบพระคุณ บิดา มารดา รวมถึงญาติพี่น้องของผู้วิจัยทุกท่าน ที่ให้การอบรมเลี้ยงดูและให้การสนับสนุนทางการศึกษาโดยเป็นอย่างดีมาโดยตลอด สำหรับคุณงามความดีอันใดที่เกิดจากวิทยานิพนธ์เล่มนี้ ผู้วิจัยขอขอบพระคุณ บิดา มารดา ภรรยา บุตรสาว และญาติพี่น้องซึ่งเป็นที่รักยิ่งตลอดจนครุਆจารย์ผู้สอนทุกท่านที่ได้ถ่ายทอดประสบการณ์ศึกษาไปได้ด้วยดี

ศุภวิชญ์ จุลโทชัย

# สารบัญ

หน้า

บทคัดย่อ (ภาษาไทย) .....	ก
บทคัดย่อ (ภาษาอังกฤษ) .....	ข
กิตติกรรมประกาศ.....	ค
สารบัญ.....	ง
สารบัญตาราง.....	ช
สารบัญรูป .....	ช

## บทที่

<b>1 บทนำ .....</b>	<b>1</b>
1.1 ความสำคัญของปัจจุบัน .....	1
1.2 วัตถุประสงค์การวิจัย.....	2
1.3 สมมุติฐานของการวิจัย .....	2
1.4 ข้อตกลงเบื้องต้น .....	2
1.5 ขอบเขตของการวิจัย.....	2
1.6 วิธีดำเนินการวิจัย.....	2
1.6.1 แนวทางการดำเนินงาน.....	2
1.6.2 สถานที่ทำการวิจัย .....	3
1.6.3 เครื่องมือที่ใช้ในการวิจัย .....	3
1.7 ประโยชน์ที่คาดว่าจะได้รับ .....	3
<b>2 บริทัศน์วรรณกรรมและงานวิจัยที่เกี่ยวข้อง .....</b>	<b>4</b>
2.1 บทนำ .....	4
2.2 บริทัศน์วรรณกรรมและงานวิจัยที่เกี่ยวข้อง .....	4
2.2.1 การแพร่กระจายของคลื่นดิน (Ground wave propagation) .....	4
2.2.2 การสื่อสารผ่านพื้นดิน (Through-the-Earth หรือ TTE) .....	6
2.2.3 สายอากาศแบบบ่วง (Loop antenna).....	8
2.2.4 สายอากาศและลำดับ (Antenna array) .....	14

## สารบัญ (ต่อ)

หน้า

2.2.4	สายอากาศแควร์ลำดับ (Antenna array) .....	14
2.2.5	การศึกษาการแพร์คเลนในถังหลังเชียงดาวและถังปฏิกรณ์.....	15
2.3	สรุป .....	17
<b>3</b>	<b>การออกแบบสายอากาศแบบบ่่วงขนาดเล็ก .....</b>	<b>18</b>
3.1	บทนำ .....	18
3.2	สายอากาศสำหรับระบบสื่อสารแบบผ่านพื้นโลก .....	18
3.3	การจำลองสายอากาศโดยใช้โปรแกรม CST Microwave Studio Suite 2019 .....	19
3.4	การจำลองสายอากาศแบบบ่่วงขนาดเล็ก 1 อีลิเมนต์ .....	21
3.4.1	สายอากาศแบบบ่่วงขนาดเล็กวางแผนวนอน .....	21
3.4.2	สายอากาศแบบบ่่วงขนาดเล็กวางแผนตั้ง .....	22
3.5	การจำลองสายอากาศแควร์ลำดับแบบบ่่วงขนาดเล็ก 1x2 อีลิเมนต์ .....	23
3.5.1	สายอากาศแควร์ลำดับแบบบ่่วงขนาดเล็ก 1x2 อีลิเมนต์ .....	23
3.6	การจำลองสายอากาศแควร์ลำดับแบบบ่่วงขนาดเล็ก 2x1 อีลิเมนต์ .....	24
3.6.1	สายอากาศแควร์ลำดับแบบบ่่วงขนาดเล็ก 2x1 อีลิเมนต์ .....	24
3.7	การจำลองสายอากาศแควร์ลำดับแบบบ่่วงขนาดเล็ก 1x4 อีลิเมนต์ .....	25
3.7.1	สายอากาศแควร์ลำดับแบบบ่่วงขนาดเล็ก 1x4 อีลิเมนต์ .....	25
3.8	การจำลองสายอากาศแควร์ลำดับแบบบ่่วงขนาดเล็ก 4x1 อีลิเมนต์ .....	26
3.8.1	สายอากาศแควร์ลำดับแบบบ่่วงขนาดเล็ก 4x1 อีลิเมนต์ .....	26
3.9	การจำลองสายอากาศแควร์ลำดับแบบบ่่วงขนาดเล็ก 2x2 อีลิเมนต์ .....	27
3.9.1	สายอากาศแควร์ลำดับแบบบ่่วงขนาดเล็ก 2x2 อีลิเมนต์ .....	27
3.10	ผลการทดสอบสายอากาศแบบบ่่วงขนาดเล็ก .....	29
3.11	สรุป .....	30
<b>4</b>	<b>การสร้างและวัดทดสอบ .....</b>	<b>32</b>
4.1	บทนำ .....	32

## สารบัญ (ต่อ)

หน้า

4.2 การสร้างสายอากาศต้นแบบแบบบ่ wingขนาดเล็ก.....	33
4.3 การทดสอบสายอากาศแบบบ่ wingขนาดเล็กทางแนวอน.....	33
4.3.1 ผลการวัดค่าสัมประสิทธิ์การสะท้อนกลับ ( $S_{11}$ ) .....	33
4.4 การทดสอบสายอากาศแบบบ่ wingขนาดเล็กทางแนวตั้ง .....	34
4.4.1 ผลการวัดค่าสัมประสิทธิ์การสะท้อนกลับ ( $S_{11}$ ) .....	34
4.5 การทดสอบสายอากาศแกรเวดี้บ์แบบบ่ wingขนาดเล็ก 1x2 อีลิเมนต์.....	35
4.5.1 ผลการวัดค่าสัมประสิทธิ์การสะท้อนกลับ ( $S_{11}$ ) .....	35
4.6 การทดสอบสายอากาศแกรเวดี้บ์แบบบ่ wingขนาดเล็ก 2x1 อีลิเมนต์.....	36
4.6.1 ผลการวัดค่าสัมประสิทธิ์การสะท้อนกลับ ( $S_{11}$ ) .....	36
4.7 การทดสอบสายอากาศแกรเวดี้บ์แบบบ่ wingขนาดเล็ก 1x4 อีลิเมนต์.....	37
4.7.1 ผลการวัดค่าสัมประสิทธิ์การสะท้อนกลับ ( $S_{11}$ ) .....	37
4.8 การทดสอบสายอากาศแกรเวดี้บ์แบบบ่ wingขนาดเล็ก 4x1 อีลิเมนต์.....	38
4.8.1 ผลการวัดค่าสัมประสิทธิ์การสะท้อนกลับ ( $S_{11}$ ) .....	38
4.9 การทดสอบสายอากาศแกรเวดี้บ์แบบบ่ wingขนาดเล็ก 2x2 อีลิเมนต์.....	39
4.9.1 ผลการวัดค่าสัมประสิทธิ์การสะท้อนกลับ ( $S_{11}$ ) .....	39
4.10 การทดสอบสายอากาศแบบบ่ wingขนาดเล็กในถ้า .....	40
4.10.1 การวัดทดสอบการแพร์แบบคลื่นความถี่คลื่นดินภายนอกในถ้า .....	40
4.10.2 การเบรี่ยบเที่ยบผลการวัดกำลังของสัญญาณที่ได้รับ .....	45
4.11 การทดสอบการแผ่กำลังของสายอากาศเมื่อวางอยู่พื้นดิน .....	46
4.11.1 ผลการทดสอบการแผ่กำลังของสายอากาศแบบบ่ wingขนาดเล็ก 1 อีลิเมนต์....	46
4.11.2 ผลการทดสอบการแผ่กำลังของสายอากาศแกรเวดี้บ์แบบบ่ wingขนาดเล็ก 1x2 อีลิเมนต์.....	48
4.11.3 ผลการทดสอบการแผ่กำลังของสายอากาศแกรเวดี้บ์แบบบ่ wingขนาดเล็ก 2x1 อีลิเมนต์.....	50
4.11.4 ผลการทดสอบการแผ่กำลังของสายอากาศแกรเวดี้บ์แบบบ่ wingขนาดเล็ก 1x4 อีลิเมนต์.....	52

## สารบัญ (ต่อ)

หน้า

4.11.5 ผลการทดสอบการแผ่กำลังของสายอากาศแล้วลำดับแบบบ่วงขนาดเล็ก 4x1 อีลิเมนต์ .....	54
4.11.6 ผลการทดสอบการแผ่กำลังของสายอากาศแล้วลำดับแบบบ่วงขนาดเล็ก 2x2 อีลิเมนต์ .....	56
4.12 สรุป .....	58
<b>5 สรุปและข้อเสนอแนะ .....</b>	<b>59</b>
5.1 สรุป.....	59
5.2 ข้อเสนอแนะในการวิจัย.....	61
<b>เอกสารอ้างอิง .....</b>	<b>62</b>
ภาคผนวก ก บทความวิชาการที่ได้รับการตีพิมพ์เผยแพร่ในระหว่างการศึกษา .....	64
รายชื่อบทความวิชาการที่ได้รับการตีพิมพ์เผยแพร่ในระหว่างศึกษา .....	65
<b>ประวัติผู้เขียน .....</b>	<b>72</b>

## สารบัญตาราง

ตารางที่	หน้า
3.1 การเปรียบเทียบค่าพารามิเตอร์ของสายอากาศแบบบ่วงขนาดเล็ก .....	29
4.1 ผลการเปรียบเทียบสายอากาศแบบบ่วงขนาดเล็ก 1 อีลิเมนต์ .....	42
4.2 ผลการทดสอบการจัดແຄวลำดับ 2 อีลิเมนต์ของสายอากาศแบบบ่วงขนาดเล็ก .....	43
4.3 ผลการทดสอบการจัดແຄวลำดับ 4 อีลิเมนต์ของสายอากาศแบบบ่วงขนาดเล็ก .....	44
4.4 การเปรียบเทียบผลการวัดกำลังของสัญญาณที่ได้รับ .....	45
4.5 ผลการทดสอบการแผ่กำลังของสายอากาศแบบบ่วงขนาดเล็ก 1 อีลิเมนต์.....	47
4.6 ผลการทดสอบการแผ่กำลังของสายอากาศແຄวลำดับแบบบ่วงขนาดเล็ก 1x2 อีลิเมนต์..	49
4.7 ผลการทดสอบการแผ่กำลังของสายอากาศແຄวลำดับแบบบ่วงขนาดเล็ก 2x1 อีลิเมนต์..	51
4.8 ผลการทดสอบการแผ่กำลังของสายอากาศແຄวลำดับแบบบ่วงขนาดเล็ก 1x4 อีลิเมนต์..	53
4.9 ผลการทดสอบการแผ่กำลังของสายอากาศແຄวลำดับแบบบ่วงขนาดเล็ก 4x1 อีลิเมนต์..	55
4.10 ผลการทดสอบการแผ่กำลังของสายอากาศແຄวลำดับแบบบ่วงขนาดเล็ก 2x2 อีลิเมนต์..	57



## สารบัญรูป

รูปที่	หน้า
2.1 การแพร่กระจายของคลื่นดิน .....	5
2.2 การแสดงแผนผังของระบบสื่อสารผ่านพื้นดิน Through-the-Earth.....	7
2.3 การทดสอบใช้งานระบบวิทยุสื่อสาร Heyphone ใช้งานในถ้ำ .....	8
2.4 สายอากาศแบบบ่วง .....	9
2.5 การเจาะรูปของกระแสตลดความเยาว์เต็มความเยาว์คลื่น .....	9
2.6 กระแสที่ไหลในสายอากาศแบบบ่วงวงกลม .....	10
2.7 สายอากาศบ่วงแบบสี่เหลี่ยม .....	10
2.8 (ก) แบบรูปการแผ่กำลังของระนาบสนามไฟฟ้าของสายอากาศแบบบ่วงเต็มคลื่น .....	11
2.8 (ข) การหมุนที่จะให้ได้แบบรูปการณ์แผ่กำลังของระนาบสนามไฟฟ้า.....	11
2.9 (ก) แบบรูปการแผ่กำลังของระนาบสนามแม่เหล็กของสายอากาศแบบบ่วงเต็มคลื่น .....	11
2.9 (ข) การหมุนที่จะให้ได้แบบรูปการแผ่กำลังของระนาบสนามแม่เหล็ก .....	11
2.10 (ก) แบบรูปการแผ่กำลังของระนาบบ่วงของสายอากาศแบบบ่วงเต็มคลื่น .....	12
2.10 (ข) การหมุนที่จะให้ได้แบบรูปการแผ่กำลังของระนาบบ่วง .....	12
2.11 ขั้วคลื่นของระนาบสนามไฟฟ้าในทิศทางของแกน X.....	12
2.12 กระแสที่ไหลในสายอากาศแบบบ่วงขนาดเล็ก .....	13
2.13 สายอากาศแบบบ่วงหลายรอบ .....	14
2.14 การจัดແຄวลำดับเชิงเส้นและการพล็อตรูปแบบการแพร่กระจายคลื่นของสายอากาศ แบบบ่วงวงกลม .....	15
2.15 การจัดແຄวลำดับแบบวงกลมและการพล็อตรูปแบบการแพร่กระจายคลื่นของสายอากาศ แบบบ่วงวงกลม.....	15
3.1 โครงสร้างสายอากาศแบบบ่วงขนาดเล็ก .....	19
3.2 สายอากาศตันแบบแบบบ่วง .....	20
3.3 ผลการจำลองสายอากาศแบบบ่วงขนาดเล็กกว้างแนวอน 1 อีลิเมนต์ .....	21
3.4 แบบรูปการแผ่กำลัง 3 มิติของสายอากาศแบบบ่วงขนาดเล็กกว้างแนวอน 1 อีลิเมนต์ ...	22
3.5 ผลการจำลองสายอากาศแบบบ่วงขนาดเล็กกว้างแนวตั้ง 1 อีลิเมนต์ .....	22
3.6 แบบรูปการแผ่กำลัง 3 มิติของสายอากาศแบบบ่วงขนาดเล็กกว้างแนวตั้ง 1 อีลิเมนต์ .....	23

## สารบัญรูป(ต่อ)

รูปที่	หน้า
3.7 ผลการจำลองสายอากาศและลำดับแบบบ่วง 1x2 อีลิเมนต์ .....	23
3.8 แบบรูปการแผ่กำลัง 3 มิติของสายอากาศและลำดับแบบบ่วง 1x2 อีลิเมนต์ .....	24
3.9 ผลการจำลองสายอากาศและลำดับแบบบ่วงขนาดเล็ก 2x1 อีลิเมนต์ .....	24
3.10 แบบรูปการแผ่กำลัง 3 มิติของสายอากาศและลำดับแบบบ่วงขนาดเล็ก 2x1 อีลิเมนต์ ...	25
3.11 ผลการจำลองสายอากาศและลำดับแบบบ่วงขนาดเล็ก 1x4 อีลิเมนต์ .....	25
3.12 แบบรูปการแผ่กำลัง 3 มิติของสายอากาศและลำดับแบบบ่วงขนาดเล็ก 1x4 อีลิเมนต์ ...	26
3.13 ผลการจำลองสายอากาศและลำดับแบบบ่วงขนาดเล็ก 4x1 อีลิเมนต์ .....	26
3.14 แบบรูปการแผ่กำลัง 3 มิติของสายอากาศและลำดับแบบบ่วงขนาดเล็ก 4x1 อีลิเมนต์ ...	27
3.15 ผลการจำลองสายอากาศต้นแบบแบบบ่วงจำนวน 4 อีลิเมนต์.....	27
3.16 แบบรูปการแผ่กำลัง 3 มิติของสายอากาศและลำดับแบบบ่วงขนาดเล็ก 2x2 อีลิเมนต์ ...	28
4.1 สายอากาศต้นแบบแบบบ่วงขนาดเล็ก .....	32
4.2 สายอากาศแบบบ่วงขนาดเล็กกว้างแนวนอน .....	33
4.3 เครื่องวิเคราะห์เครือข่ายเวกเตอร์ TTR506A.....	33
4.4 ค่าสัมประสิทธิ์การสะท้อนกลับ ( $S_{11}$ ) .....	34
4.5 สายอากาศแบบบ่วงขนาดเล็กกว้างแนวตั้ง.....	34
4.6 ค่าสัมประสิทธิ์การสะท้อนกลับ ( $S_{11}$ ) .....	35
4.7 สายอากาศและลำดับแบบบ่วงขนาดเล็ก 1x2 อีลิเมนต์ .....	35
4.8 ค่าสัมประสิทธิ์การสะท้อนกลับ ( $S_{11}$ ) .....	36
4.9 สายอากาศและลำดับแบบบ่วงขนาดเล็ก 2x1 อีลิเมนต์ .....	37
4.10 ค่าสัมประสิทธิ์การสะท้อนกลับ ( $S_{11}$ ) .....	37
4.11 สายอากาศและลำดับแบบบ่วงขนาดเล็ก 1x4 อีลิเมนต์ .....	37
4.12 ค่าสัมประสิทธิ์การสะท้อนกลับ ( $S_{11}$ ) .....	38
4.13 สายอากาศและลำดับแบบบ่วงขนาดเล็ก 4x1 อีลิเมนต์ .....	39
4.14 ค่าสัมประสิทธิ์การสะท้อนกลับ ( $S_{11}$ ) .....	39
4.15 สายอากาศและลำดับแบบบ่วงขนาดเล็ก 2x2 อีลิเมนต์ .....	39
4.16 ค่าสัมประสิทธิ์การสะท้อนกลับ ( $S_{11}$ ) .....	40

## สารบัญรูป(ต่อ)

รูปที่	หน้า
4.17 การวัดทดสอบการแพร์คเลื่อนความถี่ 350 kHz ผ่านพื้นโลก (TTE) ที่ถ้ำพระโพธิสัตว์ สรงบุรี.....	40
4.18 แสดงเส้นทางและตำแหน่งพิกัดของพระถ้ำพระโพธิสัตว์จากมุมมองด้านบนภูเขา.....	40
4.19 การจัดวางแนวของสายอากาศแบบบ่วง 1 อีลิเมนต์ .....	41
4.20 การจัดແຄວลำดับ 2 อีลิเมนต์ของสายอากาศแบบบ่วงขนาดเล็ก .....	42
4.21 การจัดແຄວลำดับ 4 อีลิเมนต์ของสายอากาศแบบบ่วงขนาดเล็ก .....	43
4.22 แสดงวิธีการวัดทดสอบการแพร์กเล้งของสายอากาศแบบบ่วงขนาดเล็ก 1 อีลิเมนต์ .....	46
4.23 แสดงตำแหน่งของการวัดการแพร์กเล้งของสายอากาศแบบบ่วงขนาดเล็ก 1 อีลิเมนต์ ....	46
4.24 แสดงวิธีการวัดทดสอบการแพร์กเล้งของสายอากาศແຄວลำดับแบบบ่วงขนาดเล็ก 1x2 อีลิเมนต์.....	48
4.25 แสดงตำแหน่งของการวัดการแพร์กเล้งของสายอากาศແຄວลำดับแบบบ่วงขนาดเล็ก 1x2 อีลิเมนต์.....	49
4.26 แสดงวิธีการวัดทดสอบการแพร์กเล้งของสายอากาศແຄວลำดับแบบบ่วงขนาดเล็ก 2x1 อีลิเมนต์ .....	50
4.27 แสดงตำแหน่งของการวัดการแพร์กเล้งของสายอากาศແຄວลำดับแบบบ่วงขนาดเล็ก 2x1 อีลิเมนต์ .....	50
4.28 แสดงวิธีการวัดทดสอบการแพร์กเล้งของสายอากาศແຄວลำดับแบบบ่วงขนาดเล็ก 1x4 อีลิเมนต์ .....	52
4.29 แสดงตำแหน่งของการวัดการแพร์กเล้งของสายอากาศແຄວลำดับแบบบ่วงขนาดเล็ก 1x4 อีลิเมนต์ .....	52
4.30 แสดงวิธีการวัดทดสอบการแพร์กเล้งของสายอากาศແຄວลำดับแบบบ่วงขนาดเล็ก 4x1 อีลิเมนต์ .....	54
4.31 แสดงตำแหน่งของการวัดการแพร์กเล้งของสายอากาศແຄວลำดับแบบบ่วงขนาดเล็ก 4x1 อีลิเมนต์ .....	54
4.32 แสดงวิธีการวัดทดสอบการแพร์กเล้งของสายอากาศແຄວลำดับแบบบ่วงขนาดเล็ก 2x2 อีลิเมนต์ .....	56

## บทที่ 1

### บทนำ

#### 1.1 ความเป็นมาและความสำคัญของปัญหา

ปัจจุบันระบบการสื่อสารแบบไร้สายเข้ามามีบทบาทสำคัญต่อการดำเนินชีวิตของมนุษย์และมีการนำมาใช้งานกันในวงกว้าง ซึ่งที่ผ่านมาเทคโนโลยีการสื่อสารไร้สายได้มีการพัฒนาและขยายตัวอย่างรวดเร็ว ด้วยรูปแบบการใช้งานและความสามารถที่แตกต่างกัน ดังนั้นจะเห็นได้ว่าการสื่อสารแบบไร้สายเป็นอีกหนึ่งปัจจัยที่มีความสำคัญช่วยอำนวยความสะดวกในการสื่อสารได้อย่างมาก รวมไปถึงการนำระบบสื่อสารแบบไร้สายไปใช้งานภายในถ้ำน้ำตกเป็นสิ่งสำคัญต่อการปฏิบัติงานเช่นเดียวกัน เช่น การค้นหา การภูภัย หรือการช่วยเหลือผู้ประสบภัย

อุปกรณ์เครื่องมือสื่อสารที่ใช้งานย่านความถี่สูง เมื่อนำไปใช้งานภายในถ้ำจะส่งผลให้สื่อสารได้ในระยะทางที่สั้นเนื่องจากคลื่นเกิดการสะท้อน แต่ในช่วงย่านความถี่ต่ำเมื่อคลื่นที่เดินทางเข้าไปในถ้ำแล้วเจอผนังถ้ำ คลื่นจะเกิดการเลี้ยวเบนไปตามผนังต่อได้ ที่สำคัญที่สุดก็คือมีค่าความลึกผิวของคลื่นย่านความถี่ต่ำ คลื่นสามารถเดินทางแทรกเข้าไปในพื้นผิวผนังได้มากถ้าผนังถ้ำมีค่าความนำสูง สายอากาศแบบบ่วงเป็นสายอากาศชนิดหนึ่งที่นิยมใช้ในช่วงความถี่ต่ำ แต่ปัญหานี้ในการออกแบบก็คือขนาดของสายอากาศแบบบ่วงนั้นจะต้องออกแบบโดยใช้หนึ่งความยาวคลื่นของความถี่ที่จะนำไปใช้งาน เมื่อนำสายอากาศแบบบ่วงมาใช้งานที่ย่านความถี่ต่ำสายอากาศแบบบ่วงจะมีขนาดใหญ่มาก เนื่องจากมีความยาวคลื่นที่ยาวมากจึงทำให้ยากต่อการนำเข้าไปใช้งานภายในถ้ำได้ จึงนิยมออกแบบสายอากาศแบบบ่วงให้เป็นสายอากาศแบบบ่วงขนาดเล็กเพื่อลดขนาดของสายอากาศ สำหรับการเพิ่มประสิทธิภาพของสายอากาศสามารถทำได้หลายวิธี ซึ่งการจัดแฉลัดดับของสายอากาศก็เป็นอีกวิธีหนึ่งที่ไม่ซับซ้อนและนิยมนำมาเพิ่มประสิทธิภาพให้กับสายอากาศได้ โดยใช้สายอากาศที่เหมือนกันมาจัดแฉลัดดับในรูปแบบและมีระยะห่างระหว่างอิลิเมนต์ที่เหมาะสม

ดังนั้นวิทยานิพนธ์นี้จึงได้ศึกษาการเพิ่มประสิทธิภาพของสายอากาศแบบบ่วงขนาดเล็ก สำหรับใช้งานที่ย่านความถี่ปัจบุติการ 350 kHz สำหรับนำไปใช้งานรับคลื่นจากพื้นถ้ำ โดยนำมาจัดแฉลัดดับจำนวน 4 อิลิเมนต์เพื่อเพิ่มประสิทธิภาพให้กับสายอากาศแบบบ่วงขนาดเล็ก และหากลักษณะการวางแผนตัวของสายอากาศที่เหมาะสมสมสำหรับนำไปใช้รับและส่งสัญญาณภายในถ้ำได้

## 1.2 วัตถุประสงค์ของวิทยานิพนธ์

- 1.2.1 เพื่อศึกษาสายอากาศแคลดับแบบบ่องขนาดเล็กสำหรับย่านความถี่กลาง
- 1.2.2 เพื่อศึกษาการจัดรูปแบบของสายอากาศแบบบ่องย่านความถี่กลาง
- 1.2.3 เพื่อศึกษาการออกแบบสายอากาศแบบบ่องขนาดเล็ก
- 1.2.4 เพื่อศึกษาวิธีการใช้งานโปรแกรม CST Microwave Studio 2019
- 1.2.5 เพื่อนำผลการจัดวางเรียงแคลดับประยุกต์ใช้งานภายในถ้ำ

## 1.3 สมมุติฐานเบื้องต้น

- 1.3.1 การวัดแคลดับสามารถเพิ่มประสิทธิภาพในการรับสัญญาณได้
- 1.3.2 สามารถใช้สายอากาศแบบบ่องเป็นสายอากาศภาครับได้

## 1.4 ข้อตกลงเบื้องต้น

- 1.4.1 ใช้สายอากาศแบบบ่องขนาดเล็กมาจัดแคลดับของสายอากาศ 2 อิลิเมนต์ และ 4 อิลิเมนต์ เพื่อเพิ่มประสิทธิภาพให้กับสายอากาศและเพิ่มอัตราขยายให้กับสายอากาศแบบบ่อง
- 1.4.2 ออกแบบและทดสอบสายอากาศแบบบ่องขนาดเล็กเพื่อเพิ่มประสิทธิภาพให้กับสายอากาศแบบบ่องขนาดเล็ก และศึกษารูปแบบการวางตัวของสายอากาศที่เหมาะสมสำหรับนำไปทดสอบในถ้ำ เพื่อนำไปใช้งานในถ้ำ

## 1.5 ขอบเขตของการวิจัย

- 1.5.1 ศึกษาสายอากาศแคลดับแบบบ่องขนาดเล็กสำหรับย่านความถี่กลาง
- 1.5.2 ศึกษารูปแบบและวิเคราะห์คุณลักษณะสายอากาศแบบบ่องขนาดเล็กที่เหมาะสมและตรงกับความต้องการด้วยโปรแกรม CST Microwave Studio 2019
- 1.5.3 ศึกษาวิเคราะห์คุณลักษณะของสายอากาศแคลดับแบบบ่องขนาดเล็ก
- 1.5.4 สร้างสายอากาศแบบบ่องขนาดเล็กแบบเพื่อเปรียบเทียบผลจากการวัดและการจำลองผลด้วยโปรแกรม CST Microwave Studio 2019

## 1.6 วิธีการดำเนินการวิจัย

### 1.6.1 แนวทางการดำเนินงาน

1. สำรวจปริทัศน์วรรณกรรมและงานวิจัยที่เกี่ยวข้องกับวิทยานิพนธ์
2. ศึกษาสายอากาศแคลดับแบบบ่องขนาดเล็กสำหรับย่านความถี่กลาง

3. ศึกษาวิธีการใช้โปรแกรมและทำการดูพารามิเตอร์ที่เหมาะสม
4. ปรับเปลี่ยนค่าพารามิเตอร์เพื่อตรวจสอบคุณสมบัติของสายอากาศ
5. สร้างสายอากาศและลำดับแบบบ่วงขนาดเล็กแบบเพื่อเปรียบเทียบผลจากการวัดและการจำลองผลด้วยโปรแกรม CST Microwave Studio 2019

#### 1.6.2 สถานที่ทำการวิจัย

ห้องวิจัยวิศวกรรมโทรคมนาคม อาคารศูนย์เครื่องมือวิทยาศาสตร์และเทคโนโลยี 11 (F11) มหาวิทยาลัยเทคโนโลยีสุรนารี

#### 1.6.3 เครื่องมือที่ใช้ในการวิจัย

1. เครื่องคอมพิวเตอร์ส่วนบุคคล
2. โปรแกรม CST Microwave Studio 2019
3. เครื่อง Signal Generator
4. เครื่อง Vector Network Analyzer
5. เครื่องวัด LCR ยี่ห้อ B&K Precision 894

### 1.7 ประโยชน์ที่คาดว่าจะได้รับ

- 1.7.1 มีสายอากาศและลำดับแบบบ่วงขนาดเล็ก
- 1.7.2 มีความรู้การใช้งานโปรแกรม CST Microwave Studio 2019
- 1.7.3 สามารถติดตั้งสายอากาศได้ในพื้นที่จำกัดขนาดเล็ก

## บทที่ 2

### ปริทศน์วรรณกรรมและงานวิจัยที่เกี่ยวข้อง

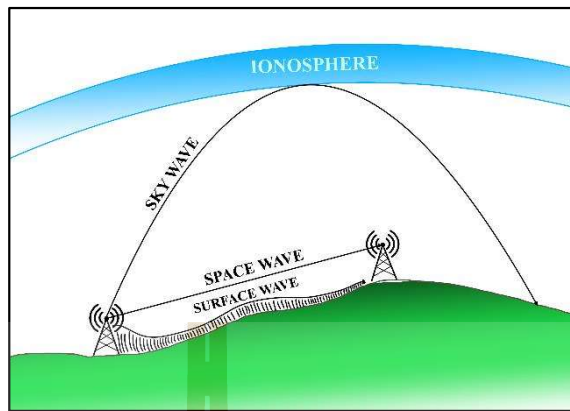
#### 2.1 บทนำ

สายอากาศแผลลำดับแบบบ่องถูกพัฒนามาอย่างต่อเนื่อง โดยมีวัตถุประสงค์เพื่อเพิ่มประสิทธิภาพของสายอากาศให้สูงขึ้น ตามวัตถุประสงค์ของงานวิจัยและการประยุกต์ใช้งาน ด้วยวัตถุประสงค์ของงานวิจัย คือการสร้างสายอากาศแผลลำดับแบบบ่องสำหรับความถี่ 350 kHz และด้วยสมมุติฐานของงานวิจัย ดังนั้นทางผู้วิจัยได้ดำเนินการสำรวจและศึกษาปริทศน์วรรณกรรมและงานวิจัยที่เกี่ยวข้องกับสายอากาศแผลลำดับแบบบ่องความถี่ 350 kHz ทั้งนี้เพื่อให้ทราบถึงแนวทางการวิจัยที่เกี่ยวข้อง ผลการดำเนินการวิจัย ตลอดจนข้อคิดเห็นและข้อเสนอแนะต่างๆ เพื่อนำไปสู่วัตถุประสงค์หลักที่ได้ตั้งไว้โดยฐานข้อมูลที่ใช้ในการสืบค้นงานวิจัยนั้นเป็นฐานข้อมูลที่มีเชื่อเสียงและได้รับการยอมรับกันอย่างกว้างขวาง ได้แก่ ฐานข้อมูล IEEE นอกจากนี้ยังได้ทำการสืบค้นงานวิจัยจากแหล่งอื่นๆ ทั้งในและต่างประเทศเพื่อนำผลการสืบค้นที่ได้มาใช้เป็นแนวทางในการดำเนินการวิจัยต่อไป

#### 2.2 ปริทศน์วรรณกรรมและงานวิจัยที่เกี่ยวข้อง

##### 2.2.1 การแพร่กระจายของคลื่นดิน (Ground wave propagation)

การแพร่กระจายของคลื่นดิน เป็นการศึกษาปรากฏการณ์ของคลื่นที่แพร่กระจายไปรอบๆ บนพื้นผิวของโลกที่มีโครงสร้างเป็นลักษณะแบบตัวกลางเดียว (Homogenous media) และคลื่นส่วนหนึ่งสามารถแพร่กระจายไปในชั้นบรรยากาศและเกิดผลกระทบในระบบการสื่อสารต่างๆ มากมาย แสดงตั้งรูปที่ 2.1 ส่วนใหญ่ความถี่ที่ใช้งานที่มีการแพร่กระจายของคลื่นดินอยู่ในช่วงความถี่ตั้งแต่ 3kHz ถึง 30MHz ซึ่งอยู่ในย่านความถี่ต่ำมาก (Very low frequency) ย่านความถี่ต่ำ (Low frequency) และย่านความถี่ปานกลาง (Medium frequency) โดยทั่วไปถูกนำมาใช้งานสำหรับการกระจายเสียงคลื่นวิทยุและการสื่อสารในการนำร่องการเดินทางที่มีกำลังสั่งสูงๆ เนื่องจากคลื่นในย่านความถี่ตั้งกล่าวมีผลกระทบต่อพื้นดินที่ทำให้เกิดการสูญเสียน้ำเงาะ



รูปที่ 2.1 การแพร่กระจายของคลื่นดิน [2]

#### 2.2.1.1 ปัจจัยที่มีผลกระทบของคลื่น

การแพร่กระจายของคลื่นดินเป็นการแพร่กระจายไปตามพื้นผิวโลก ซึ่งส่วนใหญ่เครื่องส่งจะใช้สายอากาศแนวตั้งแบบโมโนโพล (Vertical monopole antenna) เนื่องจากจะอาศัยผิวโลกเป็นตัวกลางในการสื่อสาร ดังนั้นข้อคลื่นของสนามไฟฟ้าจะตั้งฉากกับพื้นผิวโลกและแผ่กระจายไปตามส่วนโค้งของโลกได้ในระยะทางไกลๆ แต่เนื่องจากผิวโลกมีโครงสร้างที่ประกอบด้วยพื้นดิน ต้นไม้ หิน แม่น้ำ เป็นต้น ซึ่งพบว่ามีคุณสมบัติที่แตกต่างกันส่งผลให้การแพร่กระจายบนตัวกลางต่างๆ เหล่านั้นมีการลดthonที่แตกต่างกันด้วย ฉะนั้นการศึกษาปัจจัยหรือพารามิเตอร์ที่มีผลต่อการแพร่กระจายของคลื่นดิน มีดังนี้

ก) การดูดกลืนของพื้นดิน (Ground absorption) เป็นผลจากการที่พื้นดินมีคุณสมบัติที่มีสภาพเป็นตัวต้านทานหรือมีค่าความนำเกิดขึ้น ดังนั้นจึงทำให้คลื่นส่วนหนึ่งเกิดการสูญเสียและดูดกลืนไปในพื้นดิน

ข) เงื่อนไขขอบเขต (Boundary condition) เป็นรอยต่อระหว่างตัวกลาง 2 ชนิดที่มีคุณสมบัติที่แตกต่างกัน ส่งผลให้เกิดปรากฏการณ์ต่างๆ ได้แก่ (1) การสะท้อน (Reflection) ของคลื่นโดยจะเห็นว่าคลื่นที่ตกระบทกับรอยต่อจะเกิดการสะท้อนกลับที่มีมุมตักกระทบเท่ากับมุมสะท้อนเสมอ (2) การหักเห (Refraction) ของคลื่น เป็นการแพร่กระจายของคลื่นที่รอยต่อของตัวกลางที่แตกต่างกัน จะทำให้คลื่นสามารถเดินทางผ่านไปในตัวกลางที่สองได้แต่จะพบว่าคลื่นจะมีมุมการหักเหออกจากแนวระนาบปกติ ซึ่งจะมีมากหรือน้อยขึ้นอยู่กับค่าสัมประสิทธิ์ของการหักเหที่คำนวณได้จากค่าสัมพันธ์ของค่าคงที่สัมพัทธ์ (Relative permittivity) ของตัวกลางทั้งสอง และ(3) การเบี่ยงเบน (Diffraction) ของคลื่นเป็นการแพร่กระจายของคลื่นที่ผ่านตัวกลางหลายชนิดที่มีคุณสมบัติที่แตกต่างกันก่อให้เกิดการเลี้ยวเบนของคลื่นไปในทิศทางต่างๆ

ค) คุณสมบัติของตัวกลาง (Medium property) ได้แก่ ค่าความชื้น (Permeability) และสภาพย้อม (Permittivity) ที่ระบุถึงสภาพของการเป็นตัวเหนี่ยวนำและ

ตัวเก็บประจุของตัวกลางในทฤษฎีของการเคลื่อนที่ของคลื่นแม่เหล็กไฟฟ้าพบว่าคลื่นสามารถเดินทางได้เร็วที่สุดในตัวกลางที่เป็นอากาศว่าง (Free space) มีอัตราความเร็ว (Velocity) เท่ากับ  $3 \times 10^8$  m/s และในตัวกลางอื่นๆ พบร่วมค่าของตัวเหนียวน์และตัวเก็บประจุสูงมากขึ้น ดังนั้นคลื่นแม่เหล็กไฟฟ้าจะเดินทางได้ช้าลง นอกจากนี้แล้วยังมีคุณสมบัติของคลื่นอื่นๆ เช่น อิมพีเดนซ์ของคลื่น (Wave impedance) สัมประสิทธิ์ของการแพร่กระจาย (Propagation coefficient) ค่าคงที่ของการลดthon (Attenuation constant) และค่าคงที่ของเฟส (Phase constant) ที่มีผลต่อการแพร่กระจายของคลื่นดินทั้งสิ้น

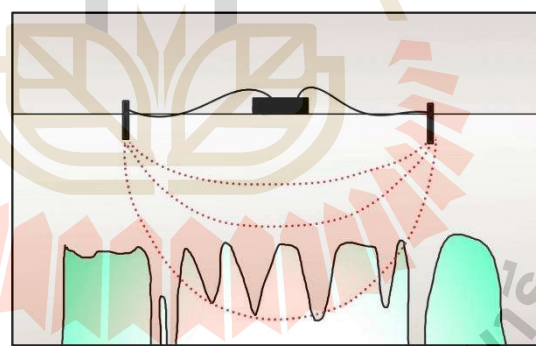
#### 2.2.1.2 การแพร่กระจายของคลื่นย่านความถี่ต่ำมาก (VLF Propagation)

การแพร่กระจายของคลื่นย่านความถี่ต่ำมาก (Very low frequency) และย่านความถี่ต่ำมาก (Extremely low frequency) จะมีผลบทต่อการแพร่กระจายของคลื่นดิน ซึ่งอาจก่อให้เกิดปรากฏการณ์ต่างๆ มากมาย เช่น การแพร่กระจายในโหมดของท่อนำคลื่น (Waveguide propagation) การลดthon เป็นต้น ดังนั้นสมการความเข้มของสนามไฟฟ้าสำหรับคลื่นในย่านความถี่ต่ำมาก (Very low frequency) จะมีความแตกต่างจากสมการของคลื่นในย่านความถี่ต่ำและปานกลางอยู่เล็กน้อย

#### 2.2.2 การสื่อสารผ่านพื้นดิน (Through-the-Earth หรือ TTE)

สำหรับการสื่อสารในเหมืองใต้ดินแบบดั้งเดิม ซึ่งประกอบด้วยสายไฟเบอร์ออฟติกและเครื่องหวนสัญญาณไร้สาย สิ่งเหล่านี้มีข้อเสียเล็กน้อย คือต้องใช้เงินลงทุนจำนวนมาก ระยะการติดตั้งนาน ใช้จำนวนคนเยอะและหากชำรุดถึงสภาพแวดล้อมการติดตั้งอาจจะทำให้สิ่งแวดล้อมเปลี่ยนแปลงและเสียหายจากเดิมได้ เนื่องโดยมีการขาด เจาะ เป็นต้น ในระบบสื่อสารไร้สายจะใช้คลื่นความถี่วิทยุ (RF) และมีวิธีทางเลือกหนึ่งคือการใช้เทคนิคการส่งสัญญาณที่แพร่คลื่นผ่านดินและชั้นหิน ซึ่งช่วยลดข้อเสียของการติดตั้งแต่สายไฟเบอร์ออฟติกและเครื่องหวนสัญญาณไร้สาย ระบบดังกล่าวซึ่งใช้คลื่นแม่เหล็กไฟฟ้าความถี่ต่ำส่งคลื่นผ่านไปยังบนพื้นผิวดินและใต้ดิน เรียกว่าระบบสื่อสารผ่านพื้นดิน (Through-the-Earth) ดังภาพที่ 2.2 จากข้อเท็จจริงเชิงปรากฏการณ์ของคลื่นความถี่วิทยุที่ตกรอบหินหรือดินโดยที่กำลังของคลื่นที่ตกรอบหินไม่ได้หยุดหรือหมดหายไปในทันทีทันใดที่พื้นผิว แต่จะซึมซับลงไปอย่างรวดเร็วโดยการผ่านทะลุ (Penetration) ลงไปในเนื้อหินหรือเนื้อดินโดยใช้ความยาวคลื่นของความถี่วิทยุส่งผ่านทะลุเข้าไป ดังนั้นหากมีการใช้ความยาวคลื่นที่ยาวพอ ก็จะเกิดระยะทางของการผ่านทะลุที่ไกลขึ้น จากหลักการส่งคลื่นผ่านพื้นโลกโดยใช้วิธีเหนียวน์สนามแม่เหล็กไฟฟ้าผ่านชั้นหินจะมีความจำเป็นต้องใช้สายอากาศแบบฟังลงพื้นโลก (Grounded-Earth antenna) อย่างหลีกเลี่ยงไม่ได้ อย่างไรก็ตามสายอากาศแบบบ่วง (Loop-

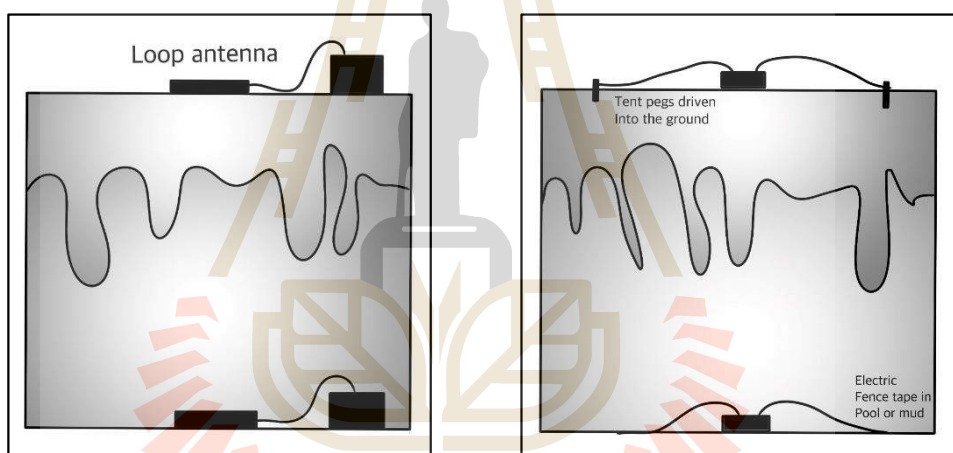
antenna) ก็สามารถใช้ทดสอบได้ ในกรณีที่โครงสร้างมีความหนาของชั้นหินที่ไม่หนามากหรือเป็นโครงสร้างที่มีความลึกไม่มากนัก ข้อดีคือ มีความสะดวกในการใช้งานและติดตั้งได้รวดเร็ว แต่ข้อเสียคือมีค่าอัตราขยายตัวมาก เนื่องจากต้องสร้างขึ้นมาในรูปแบบของสายอากาศขนาดเล็ก (Small antenna) สายอากาศแบบผังลงพื้นโลกมีข้อดี คือ โครงสร้างไม่ซับซ้อนใช้เพียงแค่เส้นลวดตัวนำเพียงสอง เส้นที่มีความยาวแต่ละเส้นไม่ต่างกันกว่า 1/100 เท่าของความยาวคลื่น จึงจัดได้ว่าอยู่ในประเภทของสายอากาศขนาดเล็กที่มีอัตราขยายตัวต่ำ เช่นเดียวกับสายอากาศแบบบ่วง อย่างไรก็ตามเทคนิคในการแพรคลื่นผ่านพื้นโลกนั้นแตกต่างจากการแพรคลื่นในอากาศว่าปกติแต่จะใช้วิธี เห็นได้ชัดเจนคือ การสะท้อนที่ปลายของเส้นลวดตัวนำปั๊บล้อยลงสู่พื้นโลกในรูปของสนามไฟฟ้าขณะที่มีการเปลี่ยนแปลง เพื่อของกระแสสั่น สนามไฟฟ้าดังกล่าวเมื่อถูกปล่อยจากปลายเส้นลวดด้านหนึ่งลงสู่พื้นโลกจะเกิดการเห็นได้ชัดเจนในชั้นดินหรือหินไปสู่ปลายสายทองแดงอีกด้านหนึ่งกลับไปสู่เครื่องส่งวิทยุ ซึ่งกระแสไฟฟ้าที่เกิดขึ้นในพื้นโลกจะใช้เส้นทางแรกที่สั้นที่สุดระหว่างจุดที่เชื่อมต่อพื้นโลกทั้งสองจุด และมีอีก ส่วนหนึ่งที่เกิดการเห็นได้ชัดเจนที่อีกด้านหนึ่งที่ลากยาวไปในพื้นโลก โดยมีเวกเตอร์ของเส้นแรงไฟฟ้าแผ่ออกไป เป็นเส้นโค้งเช่นเดียวกับสายอากาศแบบไดโอลท์ที่ใช้ในการแพรคลื่นผ่านอากาศว่าดังนั้นเพื่อให้การเห็นได้ชัดเจน ของกระแสไฟฟ้าระหว่างปลายของเส้นลวดทั้งสองด้านเกิดขึ้นในพื้นโลกได้สะดวกขึ้น จึงใช้แท่งโลหะทำหน้าที่ เป็นแท่งอิเล็กโทรดต่อที่ปลายทั้งสองของเส้นลวดและผังลงพื้นดิน ในตำแหน่งที่ต้องการติดตั้งสายอากาศ



รูปที่ 2.2 การแสดงแผนผังของระบบสื่อสารผ่านพื้นดิน Through-the-Earth

จากบทความของ Mike Bedford ที่ได้ตีพิมพ์ในวารสาร Cave Radio ในปี ค.ศ.2000 [3]ได้กล่าวไว้ว่าระบบวิทยุสื่อสารสำหรับใช้ในถ้ำได้เริ่มใช้งานมา ก่อนหน้านี้ 15 ปีแล้ว ในชื่อของ Molefone ซึ่งใช้สำหรับการติดต่อสื่อสารจากในถ้ำออกมาอย่างพื้นผิวโลกที่อยู่ด้านนอกถ้ำ (Cave-to-surface communication) ด้วยความถี่ 87 kHz โดยใช้วิธีสมสัญญาณแบบแอบความถี่ด้านข้างที่อยู่บนเพียงแค่เดียว (Upper single side band:USB) จากนั้น British cave rescue council (BCRC) จึงได้เริ่มหารือการพัฒนาและออกแบบระบบสื่อสารสำหรับใช้งานในถ้ำชุดใหม่ขึ้นมาแทน ในปี ค.ศ.1999 ได้พัฒนาจนชื่อว่า Heyphone ในปี ค.ศ.2001[7]. Molefone จะใช้สายอากาศแบบ

ป่วงสีเหลี่ยมจัตุรัสขนาดความกว้าง 1 เมตร ซึ่งสามารถติดตั้งใช้งานได้่ายและรวดเร็ว ดังแสดงในรูปที่ 2.3 (ก) แต่จะถูกจำกัดด้วยระยะทางที่ไม่สามารถติดต่อสื่อสารได้ใกล้นัก ส่วนระบบสายอากาศของ Heyphone จะใช้ที่แทกต่างออกไปที่เรียกว่า สายอากาศดิน (Earth antenna) โดยใช้วาดส่องเส้นตามความยาวของลวด ต่อเข้ากับเครื่องวิทยุ ส่วนในกรณีของสถานีที่อยู่บนพื้นผิวโลกจะใช้หมุดสำหรับการเติบต้นที่ปักลงในดินแล้วเชื่อมต่อกับปลายสายลวดทองแดงใช้คลิปปากกระเขียนบี้ดไว้ ส่วนกรณีที่ใช้งานในถ้ำใต้ดินจะใช้แบบตัวนำสำหรับทำแนวรั้วไฟฟ้าลงน้ำหนักด้วยหินมาแทนหมุดเด็นท์แล้วนำไปแขวนหรือผึ้งไว้ในน้ำหรือโคลนที่อยู่ภายในถ้ำ แม้ว่าจะติดตั้งใช้งานได้ยากกว่าสายอากาศแบบป่วงสีเหลี่ยมของ Molefone แต่จะให้ระยะทางสัญญาณแรงกว่ามากจึงสามารถติดต่อสื่อสารได้ลึกกว่าและระยะใกล้กว่า ดังแสดงในรูปที่ 2.3 (ข) ระบบสื่อสารทั้งสองรุ่นนี้ถูกออกแบบมาเพื่อใช้งานสำหรับนักภัยคุกคาม (Cave rescue) เนพาะกลุ่มเท่านั้นไม่ใช่ผลิตขึ้นมาจำหน่ายในเชิงพาณิชย์ จึงทำให้มีเกิดความแพร่หลายและไม่ปรากฏในฐานข้อมูลงานวิจัยสากลที่มีอยู่ในปัจจุบัน



(ก) Loop antenna สำหรับ Molefone [3] (ข) Earth antenna สำหรับ Heyphone [7]

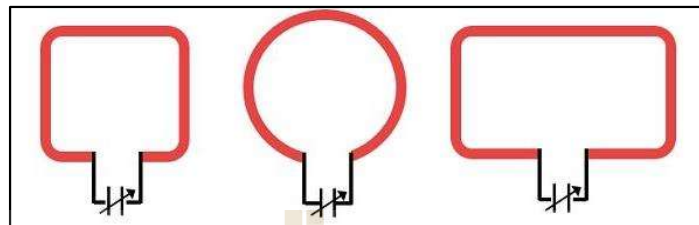
รูปที่ 2.3 การทดสอบใช้งานระบบวิทยุสื่อสาร Heyphone ใช้งานในถ้ำ

### 2.2.3 สายอากาศแบบป่วง (Loop antenna)

#### 2.2.3.1 สายอากาศแบบป่วงเต็มความยาวคลื่น (Full-wave antennas)

สายอากาศแบบป่วงที่มีความยาวของป่วงเท่ากับหนึ่งความยาวคลื่น  $\lambda$  (แอลเมบีด้า) จะถูกเรียกว่าสายอากาศแบบป่วงเต็มความยาวคลื่น เป็นสายอากาศที่นำมาประยุกต์ใช้ประโยชน์กันอย่างกว้างขวาง เพราะมีค่าอัตราขยายและอินพุตอิมพีเดนซ์ที่เหมาะสมสามารถแปลงกลับให้ใกล้เคียงกับค่าอิมพีเดนซ์คุณลักษณะของสายนำสัญญาณ 50 โอห์ม หรือ 70 โอห์มได้โดยง่าย สายอากาศแบบป่วงที่ใช้งานในปัจจุบันจะมีรูปร่างหลายรูปแบบ เช่น แบบวงกลม แบบสีเหลี่ยมจัตุรัส

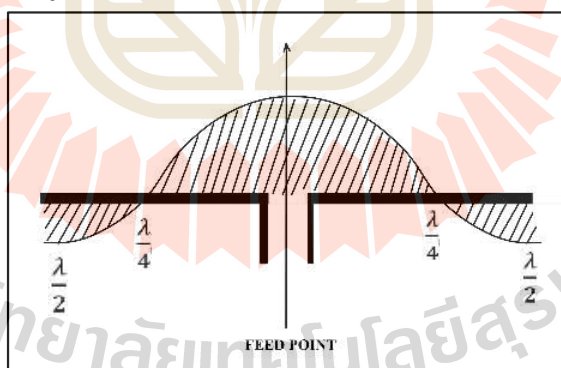
แบบสี่เหลี่ยมผืนผ้า ดังรูปที่ 2.4 ซึ่งแต่ละรูปแบบจะให้อัตราขยายและแบบรูปการแผ่กระจายกำลังงานมากน้อยแตกต่างกันออกໄປ



รูปที่ 2.4 สายอากาศแบบบ่วง [1]

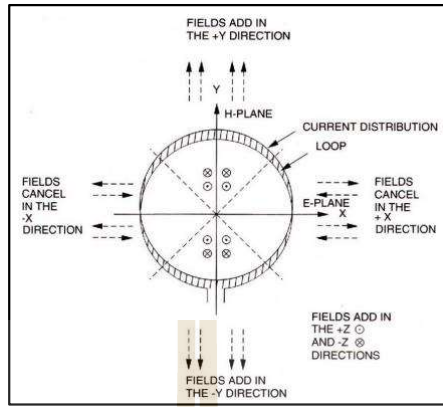
#### 2.2.3.2 การแจงรูปของกระแสตลอดความยาวของสายอากาศที่มีความยาวเต็มความยาวคลื่น

กุญแจสำคัญที่จะทำให้เข้าใจเรื่องของแบบรูปการแผ่กระจายของสายอากาศนั้นก็คือการเข้าใจในเรื่องที่กระจายตามความยาวของกระแสตลอดความยาวของบ่วง ว่าจะให้ผลลัพธ์รวมของสนามไฟฟ้าเสริม หรือหักล้างกันในทิศทางใดบ้างถ้าจะพิจารณาของสายอากาศแบบบ่วงที่มีขนาดของบ่วงเท่ากับหนึ่งความยาวคลื่นในระบบของ X-Y จุดป้อนสัญญาณนั้นจะเป็นจุดเดียวที่นี่ รอบวงกลมของบ่วง โดยที่จุดป้อนสัญญาณนั้นจะมีผลต่อแบบรูปการณ์แผ่กระจาย สมมุติว่าจุดที่ป้อนสัญญาณนั้นเป็นด้านล่างตามแนวแกน Y และถ้าตัดสายอากาศแบ่งครึ่งแล้วคลื่อออกในแนวแกน X ดังรูปที่ 2.5 ซึ่งรูปนี้จะแสดงให้เห็นถึงการกระจายตามความยาวของกระแสซึ่งดูคล้ายคลื่นแบบโคลาຍน์ที่มีจุดป้อนสัญญาณอยู่กึ่งกลาง



รูปที่ 2.5 การแจงรูปของกระแสตลอดความยาวเต็มความยาวคลื่น [1]

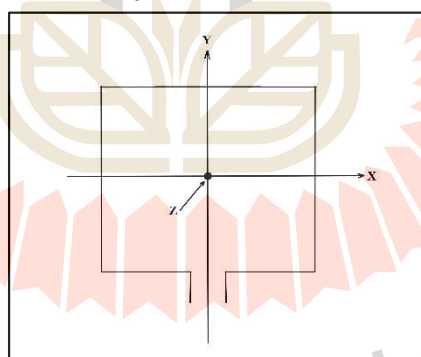
รูปที่ 2.6 แสดงการแจงรูปของกระแสในสายอากาศแบบบ่วงวงกลม และแสดงการเสริมกันและหักล้างกันของสนามบนตัวของบ่วง ในกรณีนี้สามารถจะเสริมกันในทิศทาง +Y, -Y และ +Z, -Z แต่จะหักล้างกันในทิศทางของ +X, -X



รูปที่ 2.6 กระแสที่ไหลในสายอากาศแบบบ่่วงวงกลม [1]

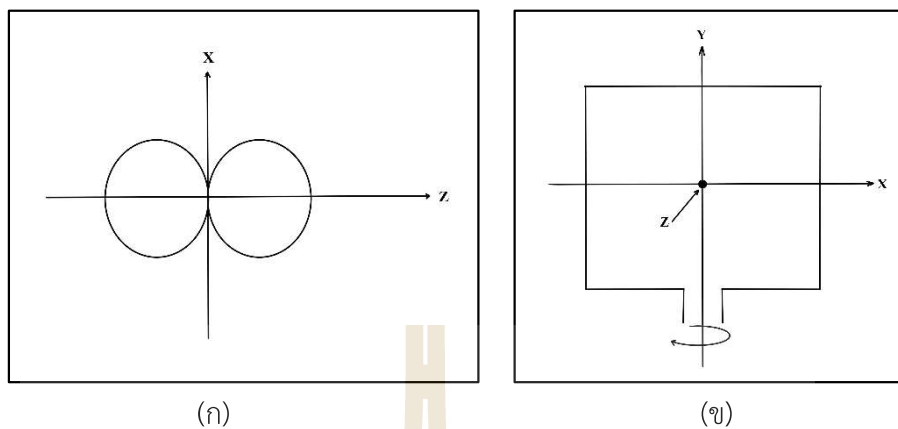
แบบรูปการณ์แผ่กำลังของสายอากาศแบบบ่่วงแบบหนึ่งความยาวคลื่น สายอากาศแบบบ่่วง จะมีแนวระนาบที่น่าสนใจอยู่สามระนาบคือ ระนาบของสนามไฟฟ้า ระนาบของสนามแม่เหล็ก และ ระนาบของบ่วงเอง ว่าระนาบใดเป็นระนาบที่จำกัดของสายอากาศ ตั้งจะแสดงระนาบนี้โดยใช้การ พิจารณาสายอากาศแบบบ่่วงสี่เหลี่ยมจัตุรัส

สมมุติว่าสายอากาศนี้วางอยู่ในแนวตั้งและด้านหน้านั้นเป็นระนาบ X-Y และแนวแกน Z จะ เป็นจุดที่พุ่งตรงออกไปจากตัวของสายอากาศ ดังรูปที่ 2.7 ถ้าเราเบริริยบเที่ยบระนาบโดยยึดจุดป้อน สัญญาณเป็นหลักเราจะเห็นระนาบ X-Z เป็นระนาบของสนามไฟฟ้า ส่วนระนาบ Y-Z เป็นระนาบของ สนามแม่เหล็ก และสายอากาศจะวางตัวอยู่ในระนาบ X-Y



รูปที่ 2.7 สายอากาศบ่่วงแบบสี่เหลี่ยม [1]

ซึ่งตามทฤษฎีแล้วแบบรูปการแผ่กำลังในระนาบของสนามไฟฟ้า X-Z จะเป็นดังรูปที่ 2.8  
(ก) ในการวัดหาค่าค่านี้นั้นจะต้องหมุนสายอากาศไปรอบๆ โดยยึดแกนเป็นแนวแกน Y ดังรูปที่ 2.8 (ข)



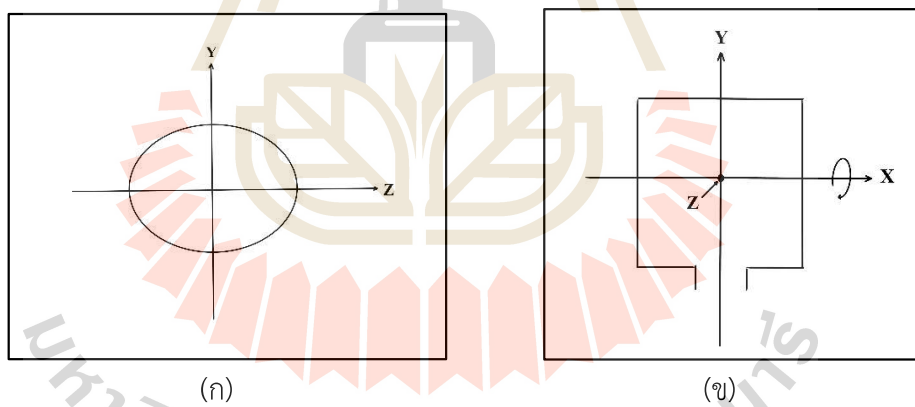
(ก)

(ข)

รูปที่ 2.8 (ก) แบบรูปการแผ่กำลังของระนาบสนามไฟฟ้าของสายอากาศแบบบ่วง  
 (ข) การหมุนที่จะให้ได้แบบรูปการแผ่กำลังของระนาบสนามไฟฟ้า [1]

ระนาบสนามแม่เหล็ก Y-Z จะมีแบบรูปการแผ่กำลังที่วัดได้เป็นดังรูป 2.9 (ก) โดยในการวัดนั้นจะยึดแกน X เป็นแนวแกนในการหมุนไปรอบๆ ดังรูป 2.9 (ข)

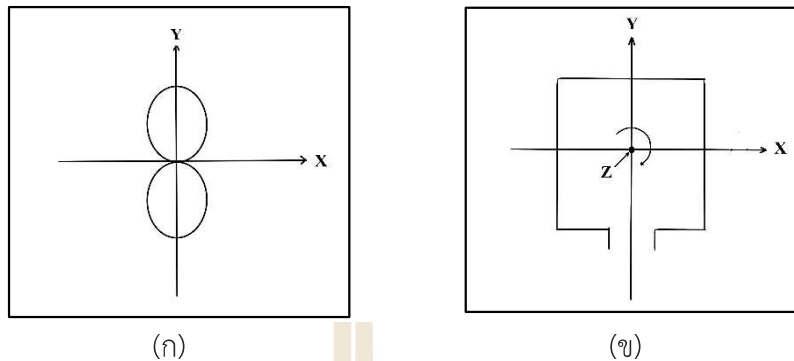
ในการวัดหาแบบรูปการแผ่กำลังในระนาบของสายอากาศนั้น X-Y แสดงดังรูปที่ 2.11 (ก) จะต้องหมุนสายอากาศไปรอบๆ โดยยึดแกน Z เป็นจุดหมุน แสดงดังรูปที่ 2.11 (ข)



(ก)

(ข)

รูปที่ 2.9 (ก) แบบรูปการแผ่กำลังของระนาบสนามแม่เหล็กของสายอากาศแบบบ่วง  
 (ข) การหมุนที่จะให้ได้แบบรูปการแผ่กำลังของระนาบสนามแม่เหล็ก [1]

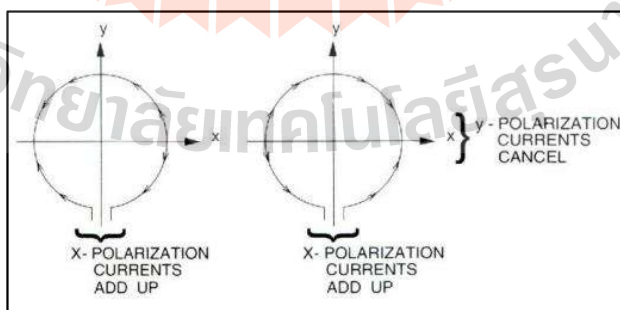


รูปที่ 2.10 (ก) แบบรูปการແຜ่กำลังของระนาบบ่วงของสายอากาศแบบบ่วงเต็มคลื่น  
(ข) การหมุนที่จะให้ได้แบบรูปการແຜ่กำลังของระนาบบ่วง [1]

จะพิจารณาอย่างละเอียดมากขึ้นในบททฤษฎีเกี่ยวกับเรื่องของระนาบสนามไฟฟ้า ระนาบสนามแม่เหล็ก และระนาบของบ่วง ดังรูปที่ 2.9 (ก), 2.10 (ก) และ 2.11 (ก) ตามลำดับ แต่อย่างไรก็ตาม แบบรูปการແຜ่กำลังของสนามไฟฟ้า และบ่วงจะมีรูปร่างคล้ายคลึงกันแต่จะมีแอนปิจูดที่ต่างกัน ดังรูปที่ 2.6 ผลลัพธ์ที่คิดจากจุดกึ่งกลางของปวงօอกมาจะเป็นผลรวมของสนามที่เกิดจากกระแสไฟฟ์ตรงกัน บนแกน Y ภายนอกบ่วงนั้นจะเป็นผลรวมของสนามเช่นเดียวกันแต่มีความต่างเพียงเล็กน้อย ด้วยเหตุนี้ระนาบของบ่วงจะมีค่าต่ำกว่าระนาบของสนามไฟฟ้า อยู่ที่ -3 dB

### 2.2.3.3 การโพลาไรซ์ (Polarization)

รูปที่ 2.11 แสดงให้เห็นทิศทางของกระแสที่เหลือในสายอากาศแบบบ่วงซึ่งมีความแตกต่างกันในช่วงขณะ จากรูปแสดงให้เห็นว่า ในทิศทางของ X นั้นกระแสจะเสริมกันทั้งในครึ่งบนและครึ่งล่างของบ่วง ขณะที่ในทิศทางของ Y นั้นกระแสจะหักล้างกันหมด จากเหตุผลนี้ทำให้คลื่นที่เกิดขึ้นในระนาบสนามไฟฟ้าลึกลงมีการโพลาไรซ์ในทิศทาง X



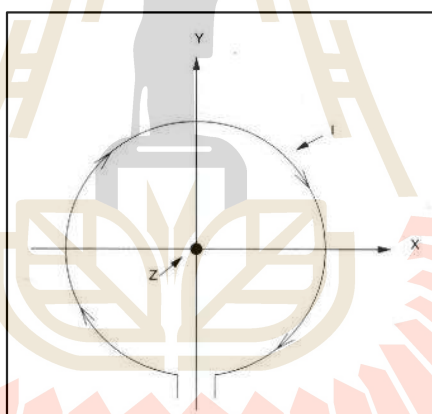
รูปที่ 2.11 ขั้วคลื่นของระนาบสนามไฟฟ้าในทิศทางของแกน X [1]

ในทางปฏิบัติก็คือสายอากาศแบบบ่วงที่วางแนวตั้งจะป้อนสัญญาณเข้าจากทางด้านล่างหรือทางด้านบน คลื่นสนามไฟฟ้าจะมีข้ออุญในแนววนอน และถ้าสายอากาศบ่วงนี้มีการป้อนสัญญาณจากทางด้านซ้ายหรือขวา คลื่นสนามไฟฟ้าจะมีข้อในแนวตั้ง

#### 2.2.3.4 สายอากาศแบบบ่วงเล็ก (Small loop antenna)

สายอากาศแบบบ่วงขนาดเล็กเป็นสายอากาศที่มีความยาวเส้นรอบวงของบ่วงประมาณ  $\lambda/8$  หรือน้อยกว่า สายอากาศแบบนี้จะมีแบบรูปการแผ่กระจายกำลังที่แตกต่างจากของสายอากาศแบบบ่วงหนึ่งความยาวคลื่นอย่างมาก และจะนำไปประยุกต์ใช้งานที่แตกต่างจากปกติ เช่น สายอากาศสำหรับใช้ในการทิศทาง

เนื่องจากความยาวของบ่วงมีค่า้น้อยกว่าความยาวคลื่นมาก กระแสที่เกิดขึ้นในทุกส่วนของตัวบ่วงสามารถที่จะพิจารณาให้เป็นเฟสเดียวกันได้ ดังรูปที่ 2.12 ด้วยเหตุนี้ สนามไฟฟ้าในแนวแกน Z จึงมีค่าเป็นศูนย์ สายอากาศแบบบ่วงขนาดเล็กจึงแตกต่างจากสายอากาศแบบบ่วงเต็มความยาวคลื่น ซึ่งมีสนามไฟฟ้าในแนวแกน Z สูงที่สุด

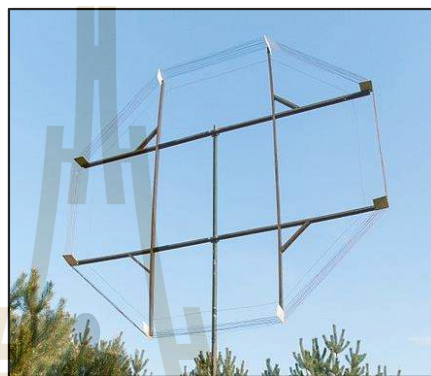


รูปที่ 2.12 กระแสที่เหลือในสายอากาศแบบบ่วงขนาดเล็ก

ส่วนในทิศทางอื่นๆ ที่ไม่ใช่แนวแกน Z แบบรูปการแผ่กระจายกำลังงานจะมีค่าไม่เท่ากับศูนย์ เช่นเดียวกับสายอากาศโดยโพลขนาดสั้น (Short Dipole) ซึ่งในความเป็นจริงแล้วสายอากาศแบบบ่วงขนาดเล็กจะเป็นสายอากาศที่เป็นทวิภาค (Dual) กับสายอากาศโดยโพลขนาดสั้น (มีคุณลักษณะของแบบของรูปการแผ่กระจายกำลังงานเหมือนกัน) ดังนั้นหากเราเปลี่ยนจากสายอากาศแบบบ่วงขนาดเล็กมาเป็นสายอากาศโดยโพลสั้น โดยวางตัวโดยโพลไว้ที่จุดกำหนด (Origin) และวางตัวของโดยโพลขนาดสั้นไปตามแนวแกน Z แบบรูปการแผ่กระจายกำลังงานที่ได้จะไม่แตกต่างกันเลย สำหรับค่าความต้านทานอินพุตของสายอากาศแบบบ่วงขนาดเล็กนี้จะมีค่าคงตัว ซึ่งมีค่าเป็นเศษส่วนของโอห์ม

### 2.2.3.5 สายอากาศแบบบ่วงหล่ายรอบ (Multiturn loop antenna)

สายอากาศแบบบ่วงหล่ายรอบจะมีรูปแบบทรงเหมือนกับสายอากาศแบบบ่วงทั่วไป เช่น แบบวงกลม แบบสี่เหลี่ยมจตุรัส แบบสี่เหลี่ยมผืนผ้า เป็นต้น สายอากาศแบบบ่วงหล่ายรอบจะนำเส้นลวดพันเป็นเกลียว ครอบความยาวคลื่นที่เราต้องการใช้ความถี่นั้นๆ ดังรูปที่ 2.13 ([https://hmong.in.th/wiki/Loop\\_antenna#google\\_vignette](https://hmong.in.th/wiki/Loop_antenna#google_vignette))



รูปที่ 2.13 สายอากาศแบบบ่วงหล่ายรอบ [1]

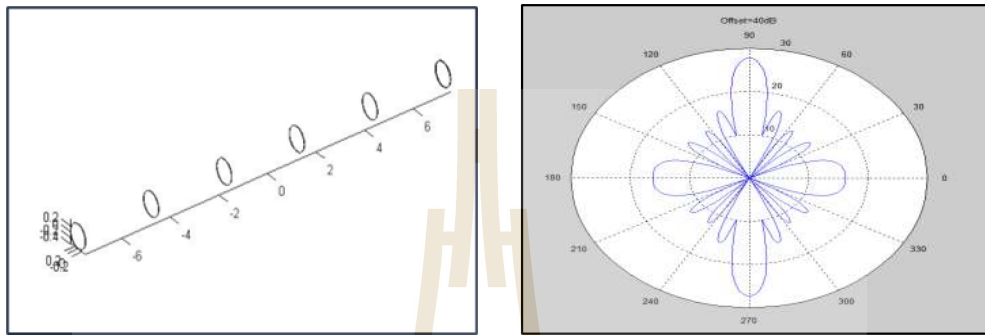
### 2.2.4 สายอากาศแคลว์ลำดับ (Array antenna)

สายอากาศแคลว์ลำดับ (Array antenna) หมายถึง เป็นการนำสายอากาศหลายๆ อีลิเมนต์มาจัดวางเรียงกัน มักจะใช้สายอากาศชนิดเดียวกันเสมอ เนื่องจากการออกแบบและสร้างมีความง่ายและสะดวกกว่าและสามารถเลือกใช้ได้อย่างหลากหลาย โดยสายอากาศแต่ละอีลิเมนต์ที่นำมาเรียงให้เป็นแคลว์ลำดับนั้น การจัดแคลว์ลำดับสามารถเพิ่มค่าส่วนของทิศทางและค่าอัตราขยายของสายอากาศได้เพิ่มขึ้น สายอากาศแบบแคลว์ลำดับยังสามารถปรับขนาดของแอมปลิจูด (Amplitude) และเฟส (Phase) ของสัญญาณที่ป้อนให้แต่ละอีลิเมนต์ได้ด้วย ซึ่งทำให้สามารถปรับแบบรูปการแพร่กระจายกำลังงานให้เป็นไปตามที่เราต้องการได้

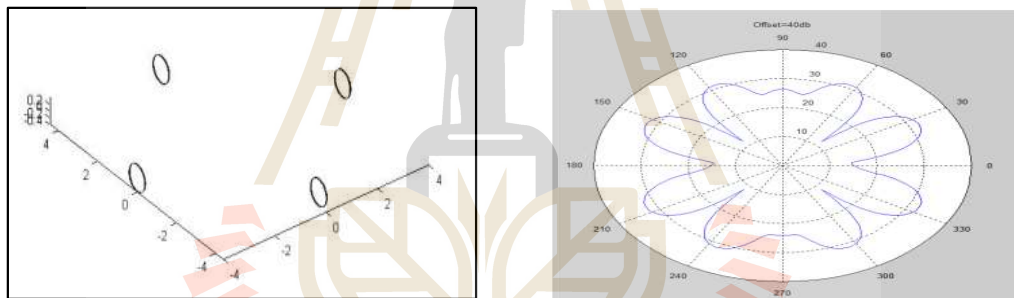
สามารถรวมที่เกิดจากแคลว์ลำดับของสายอากาศจะเกิดจากการทับซ้อนเชิงเวกเตอร์กันของสนามที่แผ่ออกมาจากอีลิเมนต์แต่ละตัว การที่จะได้แบบรูปการแพร่คลื่นในทิศทางที่กำหนดให้มีค่าสูงกว่าในทิศทางอื่นนั้น สิ่งที่จำเป็นก็คือ ต้องทำให้สนามที่เกิดจากแต่ละอีลิเมนต์มีเฟสที่เสริมกันในทิศทางที่ต้องการและในขณะเดียวกันสนามที่เกิดขึ้นจากแต่ละอีลิเมนต์ต้องหักล้างกันในทิศทางที่ไม่ปึงประสงค์ด้วย

สายอากาศแคลว์ลำดับแบบเส้น (Liner array antenna) เป็นพื้นฐานของการจัดแคลว์ลำดับ ที่ประกอบด้วยสายอากาศชนิดเดียวกันจำนวนมากเรียงกันให้เป็นเส้นตรงและคำนึงถึงระยะห่าง ( $d$ ) ของแต่ละอีลิเมนต์ จะมีผลต่อการแพร่คลื่นของสายอากาศ สายอากาศมักจะวางตัวห่างแต่ละอีลิเมนต์เท่ากับครึ่งความยาวคลื่น ซึ่งคำนวนระยะห่าง ( $d = \lambda / 2$ )

มีงานวิจัยที่เกี่ยวข้องของ Akshay Joshi และ S.K.Bhera ในปี ค.ศ.2016 [10] ในฐานข้อมูล IEEE ที่วิเคราะห์สายอากาศบ่องวงกลมนำม่าจัดแควรลำดับแบบเชิงเส้นและจัดแควรลำดับแบบวงกลมที่ย่านความถี่ VHF พบร่วมกับสายอากาศบ่องวงกลมที่จัดแควรลำดับแบบเชิงเส้นมีพิเศษทางการแผ่นนามแม่เหล็กไฟฟ้ามากกว่าเมื่อเปรียบเทียบกับสายอากาศบ่องวงกลมที่จัดแควรลำดับแบบวงกลม



รูปที่ 2.14 การจัดแควรลำดับเชิงเส้นและการพล็อตtruปแบบการแพร่กระจายคลื่นของสายอากาศแบบบ่องวงกลม [10]



รูปที่ 2.15 การจัดแควรลำดับแบบวงกลมและการพล็อตtruปแบบการแพร่กระจายคลื่นของสายอากาศแบบบ่องวงกลม [10]

### 2.2.5 ศึกษาการแพร่คลื่นในถ้ำหลวงเชียงดาวและถ้ำปาน្យិហារី [11]

- ความถี่ย่าน LF (Low frequency) ปลายแบบ (300 kHz) และย่าน MF (Medium frequency) ต้นแบบ (350 kHz และ 1000 kHz) เกิดค่าการสูญเสียการส่งผ่านต่อหนึ่งเมตรและค่าการลดthonตลอดระยะทาง 20 เมตร ค่อนข้างสูงเนื่องจากมีคุณสมบัติการแพร่เป็นแบบคลื่นдинหรือคลื่นผิว (ความถี่ต่ำกว่า 2000 kHz) หากส่งผ่านตัวกลางที่เป็นдинหรือหินที่มีค่าความนำไฟฟ้าและค่าความซึมซาบแม่เหล็กสอดคล้องกับความถี่และความยาวคลื่น จะเกิดการเหนี่ยวนำหรือซึมซาบเข้าไปในเนื้อตัวกลางนั้นมากกว่าที่จะแพร่คลื่นออกไปในแนวระดับสายตา ทำให้เกิดการสูญเสียและลดthonสูงในกรณีของการวัดทดสอบแบบระดับสายตา (LOS: Line-of-Sight)

2. ย่านความถี่ MF (Medium frequency) (1650 kHz, 2325 kHz และ 3000 kHz) ยังคงมีคุณสมบัติการแพร่คลื่นดินหรือคลื่นผิว แต่เมื่อความถี่สูงขึ้นกว่า 1000 kHz จะแสดงคุณสมบัติ การแพร่คลื่นบนพื้นผิวของผนังและพื้นถ้ามากกว่าที่จะเห็นย่นำลงในตัวกลางที่เป็นหินปูนหรือหินทราย ทำให้สามารถวัดค่ากำลังของคลื่นได้ ขณะที่สายอากาศภาครับอยู่ใกล้กับผนังและพื้นถ้าได้ดี แต่ เมื่อความถี่สูงขึ้นไปถึง 3000 kHz ซึ่งจะอยู่ย่ามความถี่ MF (Medium frequency) ปลายแถบและ HF (High frequency) ตันແບ ซึ่งมีคุณสมบัติการแพร่คลื่นเป็นแบบคลื่นฟ้ามากกว่าที่จะแพร่ไปตาม พื้นผิวทำให้มีค่าการสูญเสียและการลดthonมากกว่าอีกสองความถี่ทั้งในถ้ำหินปูนและถ้ำหินทราย

3. ย่านความถี่ HF (High frequency) มีคุณสมบัติการแพร่คลื่นแบบคลื่นฟ้าที่สามารถ สะท้อนหรือเลี้ยวเบนในชั้นบรรยากาศได้ดี อย่างไรก็ตามเมื่อนำมาวัดทดสอบในโพรงถ้ำซึ่งมี สภาพแวดล้อมแตกต่างจากการธรรมชาติที่ควรเป็นของคลื่นความถี่นี้ เนื่องจากมีการสะท้อนและ เลี้ยวเบนบนผนังถ้าที่มีพื้นไม่สม่ำเสมอไม่ดีเท่าเดิม กแม้ว่าเกิดการสูญเสียและการลดthonระยะ 20 เมตร ไม่สูงเท่าไหร่กับย่านความถี่ LF (Low frequency) แถบปลาย หรือ MF (Medium frequency) ตันແບก็ตาม แต่ก็ยากที่หวังผลส่งรับคลื่นในระยะใกล้ภายนอกในโพรงถ้ำทั้งสองประเภทได้

4. ย่านความถี่ VHF (Very high frequency) มีคุณสมบัติการแพร่คลื่นแบบคลื่นตรง หรือคลื่นในอากาศว่า ซึ่งสามารถแพร่คลื่นได้ดีในภูมิประเทศที่โล่งโดยคลื่นต้องอยู่ในแนวระดับ สายตาและมีการสูญเสียในอากาศว่า เมื่อความถี่สูงขึ้น แต่เมื่อนำมาวัดทดสอบในโพรงถ้าพบว่าเกือบ ทุกความถี่ในย่าน VHF (Very high frequency) ที่มีค่าสูงขึ้นกลับมีค่าการสูญเสียและการลดthonที่ ระยะทางเท่ากันลดลง ซึ่งสมมติฐานว่าเมื่อความยาวของคลื่นมีขนาดสั้นลงทำให้สามารถผ่านโพรงถ้ำ ที่มีขนาดกว้างได้ดี

5. ย่านความถี่ UHF (Ultra high frequency) ยังคงมีคุณสมบัติการแพร่คลื่นแบบ คลื่นตรงเช่นเดียวกับย่านความถี่ VHF (Very high frequency) สำหรับความถี่ย่าน UHF (Ultra high frequency) นี้เมื่อทำการทดสอบในโพรงถ้ำทั้งสองประเภทพบว่ามีการสูญเสียและการลดthon ในระยะทาง 20 เมตร ค่อนข้างต่ำและมีค่าใกล้เคียงกันทั้งการวัดทดสอบในถ้ำหินปูนและหินทราย โดยให้สาเหตุมากจากสมมติฐานขนาดของโพรงถ้าที่สามารถรองรับความยาวคลื่นของความถี่ในย่าน UHF (Ultra high frequency) นี้ได้ อย่างไรก็ตามการลดthonที่เกิดขึ้นมีค่าสูงอยู่มาก หากต้องการส่ง รับคลื่นในถ้ำระยะใกล้ก็จะพบกับอุปสรรคจากความคดเคี้ยวและหินที่เป็นสิ่งกีดขวางการแพร่คลื่น แบบ ระดับสายตา (LOS: Line-of-Sight) ซึ่งความถี่ย่าน UHF (Ultra high frequency) ไม่สามารถ แพร่ผ่านไปได้

### 2.3 สรุป

ในบทนี้เป็นการศึกษาปริทัศน์วรรณกรรมและงานวิจัยที่เกี่ยวข้องสำหรับการออกแบบ  
สายอากาศแบบบ่วงขนาดเล็กเพื่อเพิ่มประสิทธิภาพให้กับสายอากาศแบบบ่วงขนาดเล็ก หา  
ลักษณะการวางแผนตัวสายอากาศ สำหรับนำไปใช้รับสัญญาณภายในถ้ำได้ สำหรับถ้ำที่มีพืดานไม่สูง และ  
การสร้างสายอากาศแบบบ่วงที่มีน้ำหนักเบา พกพาสะดวก เหมาะสำหรับนำไปใช้ติดต่อสื่อสารภายใน  
ถ้ำโดยออกแบบให้สายอากาศแบบบ่วงใช้งานที่ย่านความถี่ 350 kHz



## บทที่ 3

### การออกแบบสายอากาศแบบบ่วงขนาดเล็ก

#### 3.1 บทนำ

บทนี้กล่าวถึงการออกแบบและผลิตสายอากาศแบบบ่วงขนาดเล็ก เพื่อสามารถนำไปเป็นแนวทางในการสร้างชิ้นงานจริง โดยเริ่มจากการออกแบบสายอากาศแบบบ่วงขนาดเล็กสำหรับความถี่ที่ 350 kHz สำหรับในการออกแบบจะใช้โปรแกรม CST Microwave Studio Suite 2019 เพื่อศึกษาความเป็นไปของสายอากาศแบบบ่วงซึ่งให้ตรงกับวัตถุประสงค์ในการออกแบบเพื่อให้แบบรูปการແຜກกำลังเป็นไปในลักษณะแบบรอบทิศทาง ในขั้นตอนแรกได้ทำการออกแบบและจำลองผลของสายอากาศแบบบ่วง เพื่อให้สายอากาศทำงานในความถี่ที่ต้องการโดยการออกแบบให้มีความเหมาะสมที่สุด ซึ่งรายละเอียดต่างๆ ได้อธิบายในบทนี้

#### 3.2 สายอากาศสำหรับระบบสื่อสารแบบผ่านพื้นโลก

จากข้อเท็จจริงเชิงปรากฏการณ์ของคลื่นความถี่วิทยุที่ตกรอบหินหรือดินโดยที่กำลังของคลื่นที่ตกรอบไม่ได้หยุดหรือหมดหายไปในทันทีทันใดที่พื้นผิว แต่จะซึมซาบลงไปอย่างรวดเร็วโดยการผ่านทะลุ (Penetration) ลงไปในเนื้อหินหรือเนื้อดินโดยใช้ความยาวคลื่นของความถี่วิทยุส่งผ่านทะลุเข้าไป ดังนั้น หากมีการใช้ความยาวคลื่นที่ยาวพอ ก็จะเกิดระยะทางของการผ่านทะลุที่ใกล้ชิด เช่น กรณีของระบบวิทยุสื่อสาร HeyPhone ได้ใช้ความถี่ 87 kHz จะมีความยาวคลื่นในอากาศประมาณ 3.5 กิโลเมตร (คำนวณจากความเร็วแสงในอากาศเท่ากับ  $3 \times 10^8$  เมตร/วินาที) แต่เนื่องจากความเร็วจะลดลงขณะที่ เดินทางในหิน ทำให้ความยาวคลื่นเดียวกันนี้มีความยาวคลื่นได้ดินเหลือเพียงหลักร้อยเมตร ซึ่งหากความยาวคลื่นได้ดินนี้มีขนาดมากกว่านี้ ก็จะทำให้สามารถเกิดการเห็นได้远 นำผ่านทะลุได้ไกลมากขึ้นหลายร้อยเมตรด้วย หลักการดังกล่าวเมื่อนำมาใช้กับคลื่นความถี่ 350 kHz ก็สามารถใช้งานได้ด้วยเช่นเดียวกันแม้ว่าความถี่จะสูงกว่า 87 kHz ของวิทยุสื่อสาร HeyPhone ก็ตาม แต่จากการศึกษาพัฒนาระบบของคลื่นในงานวิจัยที่ผ่านมาพบว่า คลื่นความถี่ 350 kHz นี้เมื่อนำมาใช้กับถ้ำหินปูนในประเทศไทยจะมีค่าการลดตอนในชั้นหินปูนต่ำกว่าความถี่ 87 kHz ในขณะที่นำมาใช้กับถ้ำหินทรายจะมีค่าการลดตอนสูงกว่าความถี่ 87 kHz เล็กน้อย ดังนั้นเมื่อเปรียบเทียบกับถ้ำห้องประภาก็มีข้อมูลระบุว่ามีจำนวนถ้ำหินปูนเป็นส่วนใหญ่ (มากกว่า 2,000 ถ้ำ) จากห้องหมวด 3,030 ถ้ำ) ดังนั้นการเลือกใช้ความถี่ 350 kHz มาออกแบบระบบวิทยุสื่อสารแบบผ่าน

พื้นโลก (Through-the-Earth) และสายอากาศสำหรับใช้งาน และหลีกเลี่ยงการรบกวนต่อวิธีชีวิตของค้างคาวที่อาศัยในถ้ำ จึงถือว่าเป็นการพิจารณาที่รอบคอบและครบถ้วนแล้ว

จากหลักการส่งคลื่นดินผ่านพื้นโลกโดยใช้วิธีเหนี่ยวนำสามารถแม่เหล็กไฟฟ้าผ่านชั้นหินโดยใช้ความถี่ 350 kHz จึงมีความจำเป็นต้องใช้สายอากาศแบบฝังลงพื้นโลก (Grounded-Earth antenna) อย่างหลีกเลี่ยงไม่ได้ อย่างไรก็ตามสายอากาศแบบบ่วง ก็สามารถใช้ทดสอบได้ ในกรณีที่โครงสร้าง มีความหนาของชั้นหินที่ไม่หนามากหรือเป็นโครงสร้างที่มีความลึกไม่มากนัก

ดังนั้นเราจึงนำสายอากาศแบบบ่วงของระบบสื่อสารภายในถ้ำของ HeyPhone ที่สร้างขึ้นมา จากสายนำสัญญาณแบบหลายແບບจำนวน 60 เส้น ที่มีลักษณะเป็นรูปทรงสี่เหลี่ยมจัตุรัส มาเป็นต้นแบบในงานวิทยานิพนธ์นี้ที่ย่านความถี่ 350 kHz

### 3.3 การจำลองสายอากาศโดยใช้โปรแกรม CST Microwave Studio Suite 2019

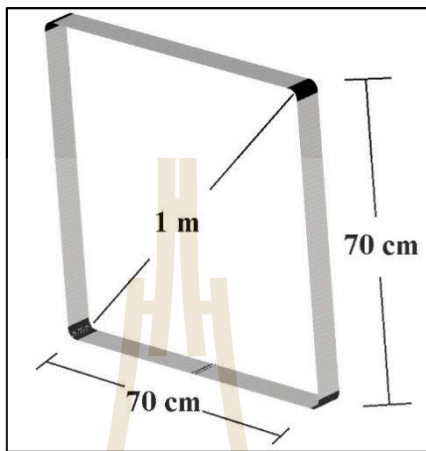
การจำลองผลด้วยโปรแกรม CST Microwave Studio Suite 2019 เพื่อให้สายอากาศแบบบ่วงสามารถทำงานที่ความถี่ 350 kHz โดยต้องการให้มีค่าอิมพีเดนซ์ต่ำและใกล้เคียงกับ 50 Ω หิมมากที่สุด โดยรูปที่ 3.1 เป็นรูปโครงสร้างสายอากาศต้นแบบบ่วงออกแบบด้วยใช้โปรแกรม CST Microwave Studio Suite 2019



รูปที่ 3.1 โครงสร้างสายอากาศแบบบ่วงขนาดเล็ก

การออกแบบและวิเคราะห์สายอากาศในบทนี้ นำสายอากาศแบบบ่วงขนาดเล็กของระบบสื่อสารภายในถ้ำของ HeyPhone ของ John Hey [6] มาเป็นต้นแบบในงานวิจัยนี้ที่ย่านความถี่ 350 kHz ที่ออกแบบไว้โดยสร้างขึ้นมาจากสายนำสัญญาณแบบหลายແບບจำนวน 60 เส้น มีความยาว 2.8 เมตร ที่มีลักษณะเป็นรูปทรงสี่เหลี่ยมจัตุรัส มีความยาวด้านละ 70 เซนติเมตร เส้นผ่าศูนย์กลาง 1 เมตร ดังรูปที่ 3.2 และการออกแบบจำลองการจัดแกลลาร์ดับของสายอากาศแบบบ่วงขนาดเล็กที่มี 2 อิลิเมนต์ และ 4 อิลิเมนต์ มีระยะห่างแต่ละอิลิเมนต์เท่ากับ 70 เซนติเมตร จากจุดป้อนสัญญาณต้นที่ 1 ไปยังจุดป้อนสัญญาณต้นที่ 2 ที่เลือกระยะห่างแต่ละอิลิเมนต์เท่ากับ

70 เซนติเมตร ได้ทำการออกแบบจำลองระยะห่างแต่ละอีลิเมนต์ที่ละ 10 เซนติเมตร ตั้งแต่ 10 เซนติเมตร ถึง 100 เซนติเมตร พบร่วงระยะห่าง 70 เซนติเมตร มีค่าพารามิเตอร์ที่นำมาวิเคราะห์ที่ดี



สุด จึงเลือกใช้ระยะห่างแต่ละอีลิเมนต์เท่ากับ 70 เซนติเมตร

รูปที่ 3.2 สายอากาศต้นแบบแบบบ่อง

คำนวณหา  $\lambda$  ที่ ความถี่ 350 kHz ดังสมการ ที่ 3.1

$$\text{จากสูตร } \lambda = \frac{c}{f} \quad (3.1)$$

จะได้

$$= \frac{3 \times 10^8}{350 \times 10^3}$$

$$= 856.549 \text{ m.}$$

จากนั้นคำนวณหาสูตร สายอากาศแบบบ่องขนาดเล็ก ดังสมการที่ 3.2

$$\text{จากสูตร } \frac{\lambda}{50} = \frac{856.549}{50} \quad (3.2)$$

จะได้

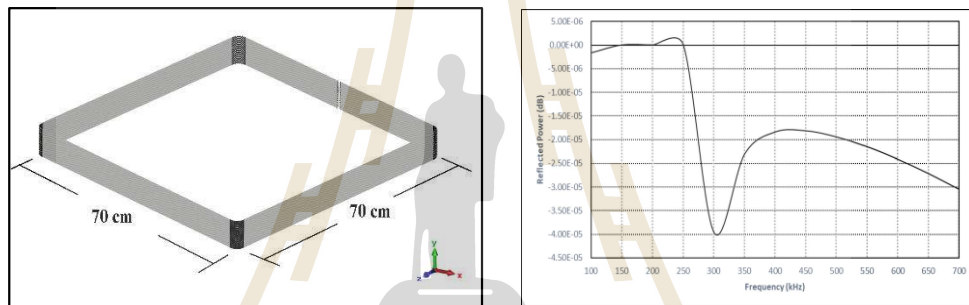
$$= 17.13 \text{ m.}$$

จากการออกแบบจะกำหนด Diameter loop = 1 m.

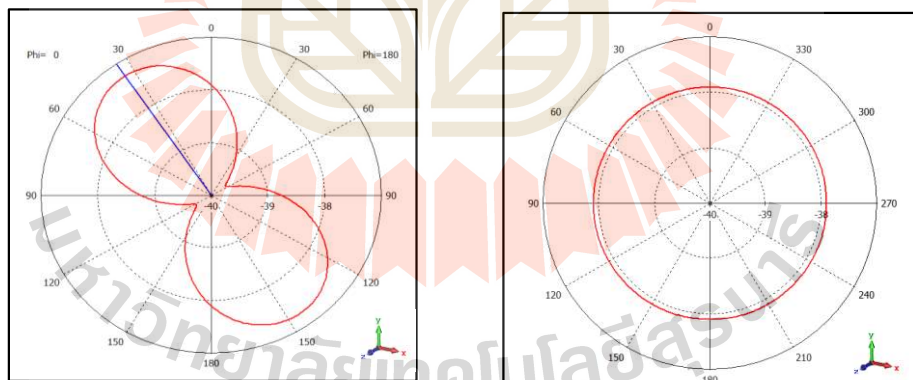
### 3.4 การจำลองสายอากาศแบบบ่่งขนาดเล็ก 1 อีลิเมนต์

#### 3.4.1 สายอากาศแบบบ่่งขนาดเล็กว่างแนวอน

ขั้นตอนแรกใช้โปรแกรม CST Microwave Studio Suite 2019 ออกแบบและจำลองสายอากาศแบบบ่่งขนาดเล็ก 1 อีลิเมนต์ ที่จัดวางสายอากาศแนวอนบนพื้นดิน มีขนาดความยาวด้านละ 70 เซนติเมตร เส้นผ่าศูนย์กลางยาว 1 เมตร โดยใช้สายนำสัญญาณแบบหلامัยแบบจำนวน 60 เส้น เป็นรูปสี่เหลี่ยมจัตุรัส นำเป็นสายอากาศแบบบ่่งขนาดเล็ก ซึ่งแสดงโครงสร้างของสายอากาศดังรูปที่ 3.3 (ก) ซึ่งผลการจำลองพบว่า ค่าสัมประสิทธิ์การสะท้อนกลับของสายอากาศ ( $S_{11}$ ) เท่ากับ  $-0.000035$  dB ดังแสดงรูปที่ 3.3 (ข) และแบบรูปการแผ่กำลังในสนามไฟฟ้า (E-plan) และสนามแม่เหล็ก (H-plan) ดังแสดงรูปที่ 3.3 (ค) และ (ง) มีค่าสภาพเจาะจงทิศทางเท่ากับ  $-35.34$  dBi ดังแสดงรูปที่ 3.4



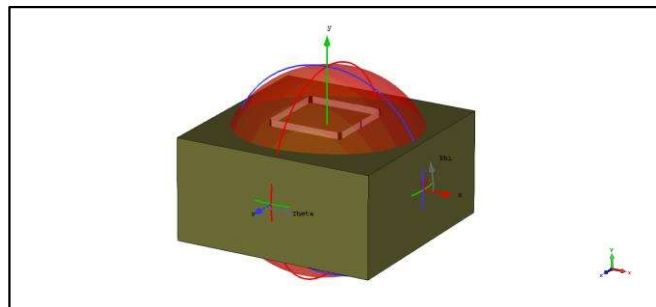
(ก) แบบจำลองสายอากาศ

(ข) ค่าสัมประสิทธิ์การสะท้อนกลับของสายอากาศ ( $S_{11}$ )

(ค) แบบรูปการแผ่กำลังระนาบสนามไฟฟ้า

(ง) แบบรูปการแผ่กำลังระนาบสนามแม่เหล็ก

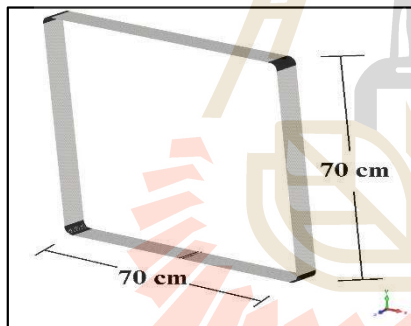
รูปที่ 3.3 ผลการจำลองสายอากาศแบบบ่่งขนาดเล็กว่างแนวอน 1 อีลิเมนต์



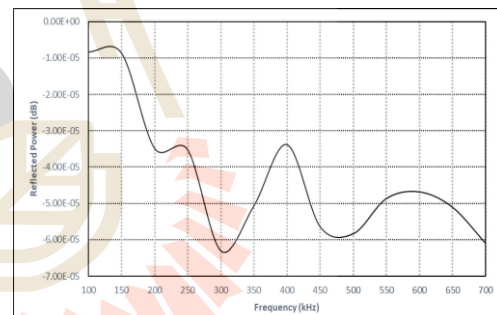
รูปที่ 3.4 แบบรูปการแผ่กำลัง 3 มิติของสายอากาศแบบบ่วงขนาดเล็กกว้างแนววนon 1 อีลิเมนต์

### 3.4.2 สายอากาศแบบบ่วงขนาดเล็กกว้างแนวตั้ง

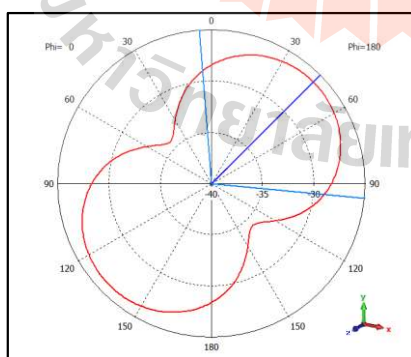
ใช้โปรแกรม CST Microwave Studio Suite 2019 ออกแบบและจำลองสายอากาศแบบบ่วงขนาดเล็ก 1 อีลิเมนต์ ที่จัดวางสายอากาศแนวตั้งบนพื้นดิน ซึ่งแสดงโครงสร้างของสายอากาศดังรูปที่ 3.5 (ก) ซึ่งผลการจำลองพบว่า ค่าสัมประสิทธิ์การสะท้อนกลับของสายอากาศ ( $S_{11}$ ) เท่ากับ  $-0.00006$  dB ดังแสดงรูปที่ 3.5 (ข) และแบบรูปการแผ่กำลังในสนามไฟฟ้า (E-plan) และสนามแม่เหล็ก (H-plan) ดังแสดงรูปที่ 3.5 (ค) และ (ง) และค่าสภาพเจาะจงทิศทาง เท่ากับ  $-25.35$  dBi ดังแสดงรูปที่ 3.6



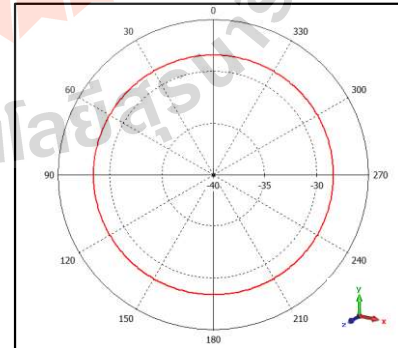
(ก) แบบจำลองสายอากาศ



(ข) ค่าสัมประสิทธิ์การสะท้อนกลับของสายอากาศ ( $S_{11}$ )

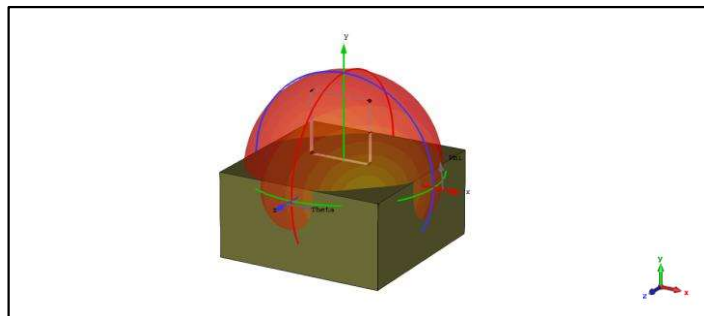


(ค) แบบรูปการแผ่กำลังระนาบสนามไฟฟ้า



(ง) แบบรูปการแผ่กำลังระนาบสนามแม่เหล็ก

รูปที่ 3.5 ผลการจำลองสายอากาศแบบบ่วงขนาดเล็กกว้างแนวตั้ง 1 อีลิเมนต์

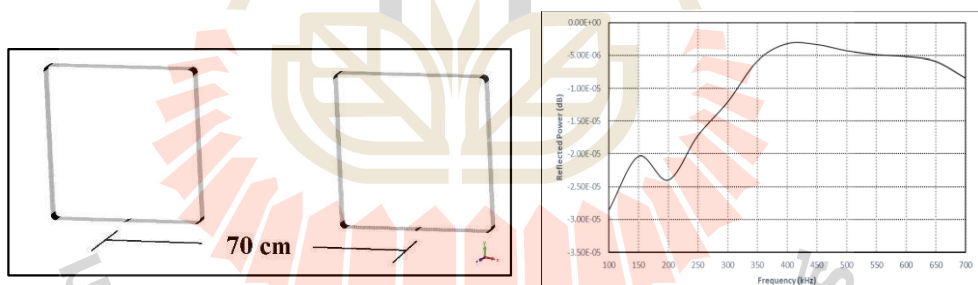


รูปที่ 3.6 แบบรูปการแผ่กำลัง 3 มิติของสายอากาศแบบบ่องขนาดเล็กวงแหวนตัว 1 อีลิเมนต์

### 3.5 การจำลองสายอากาศແລວลำดับแบบบ่องขนาดเล็ก $1 \times 2$ อีลิเมนต์

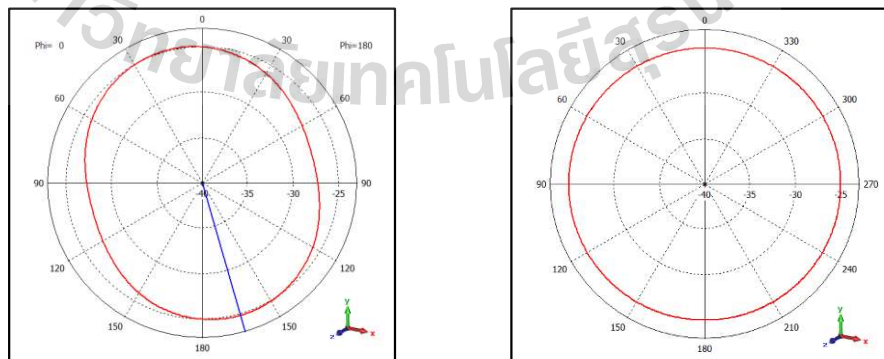
#### 3.5.1 สายอากาศແລວลำดับแบบบ่องขนาดเล็ก $1 \times 2$ อีลิเมนต์

ใช้โปรแกรม CST Microwave Studio Suite 2019 ออกแบบและจำลองสายอากาศแบบบ่องขนาดเล็ก 2 อีลิเมนต์ ที่จัดวางสายอากาศ  $1 \times 2$  อีลิเมนต์ แนวตั้งบนพื้นดิน มีระยะห่างแต่ละอีลิเมนต์เท่ากับ 70 เซนติเมตร จากจุดป้อนสัญญาณต้นที่ 1 ไปยังจุดป้อนสัญญาณต้นที่ 2 ซึ่งแสดงโครงสร้างของสายอากาศดังรูปที่ 3.7 (ก) ซึ่งผลการจำลองพบว่า ค่าสัมประสิทธิ์การสะท้อนกลับของสายอากาศ ( $S_{11}$ ) เท่ากับ  $-0.000005$  dB ดังแสดงรูปที่ 3.7 (ข) และแบบรูปการแผ่กำลังในระนาบสนามไฟฟ้า (E-plan) และสนามแม่เหล็ก (H-plan) ดังแสดงรูปที่ 3.7 (ค) และ (ง) และค่าสภาพเจาะจงทิศทาง เท่ากับ  $-23.29$  dBi ดังแสดงรูปที่ 3.8



(ก) แบบจำลองสายอากาศ

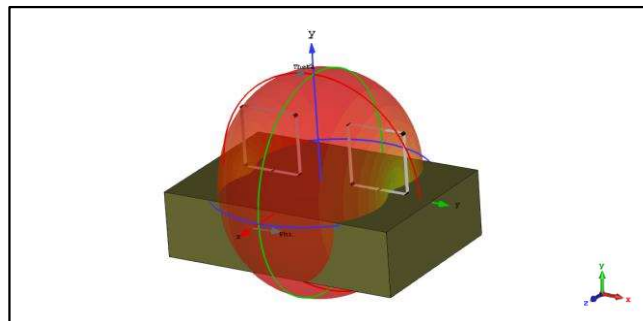
(ข) ค่าสัมประสิทธิ์การสะท้อนกลับของสายอากาศ ( $S_{11}$ )



(ค) แบบรูปการแผ่กำลังระนาบสนามไฟฟ้า

(ง) แบบรูปการแผ่กำลังระนาบสนามแม่เหล็ก

รูปที่ 3.17 ผลการจำลองสายอากาศແລວลำดับแบบบ่อง  $1 \times 2$  อีลิเมนต์

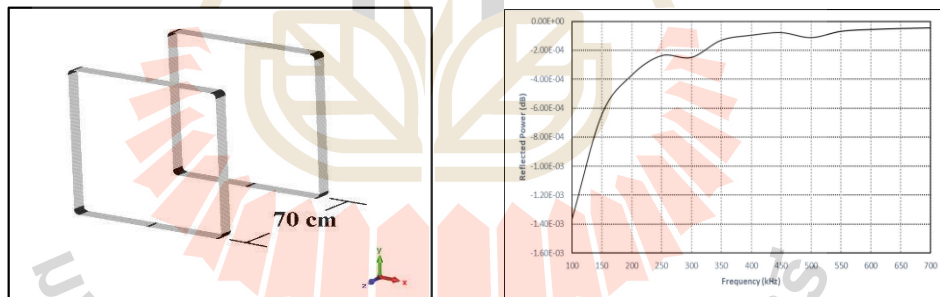


รูปที่ 3.8 แบบรูปการแผ่กำลัง 3 มิติของสายอากาศแคลดับแบบบ่วง 1x2 อีลิเมนต์

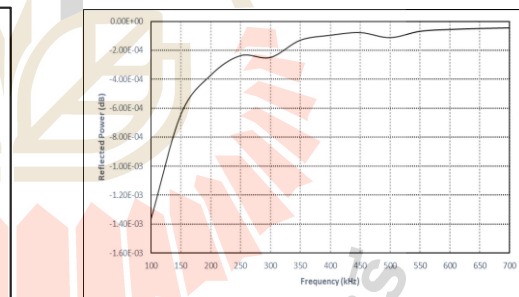
### 3.6 การจำลองสายอากาศแคลดับแบบบ่วงขนาดเล็ก 2x1 อีลิเมนต์

#### 3.6.1 สายอากาศแคลดับแบบบ่วงขนาดเล็ก 2x1 อีลิเมนต์

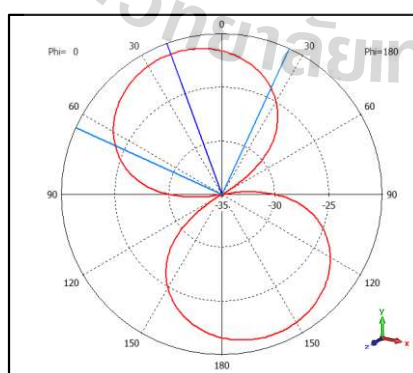
ใช้โปรแกรม CST Microwave Studio Suite 2019 ออกแบบและจำลองสายอากาศแบบบ่วง 2 อีลิเมนต์ ที่จัดวางสายอากาศ 2x1 อีลิเมนต์ แนวตั้งบนพื้นดิน มีระยะห่างแต่ละอีลิเมนต์ เท่ากับ 70 เซนติเมตร จากจุดป้อนสัญญาณต้นที่ 1 ไปยังจุดป้อนสัญญาณต้นที่ 2 ซึ่งแสดงโครงสร้างของสายอากาศดังรูปที่ 3.9 (ก) ซึ่งผลการจำลองพบว่า ค่าสัมประสิทธิ์การสะท้อนกลับของสายอากาศ ( $S_{11}$ ) เท่ากับ  $-0.0002 \text{ dB}$  ดังแสดงรูปที่ 3.9 (ข) และแบบรูปการแผ่กำลังในระนาบสนามไฟฟ้า (E-plan) และสนามแม่เหล็ก (H-plan) ดังแสดงรูปที่ 3.9 (ค) และ (ง) และค่าสภาพเจาะจงทิศทางเท่ากับ  $-21.03 \text{ dBi}$  ดังแสดงรูปที่ 3.10



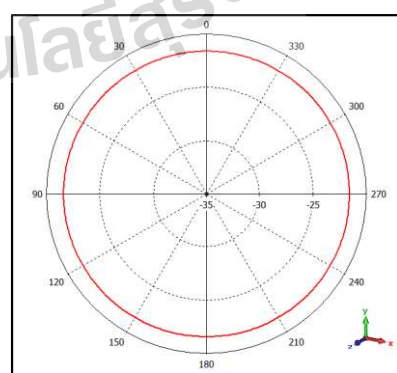
(ก) แบบจำลองสายอากาศ



(ข) ค่าสัมประสิทธิ์การสะท้อนกลับของสายอากาศ ( $S_{11}$ )

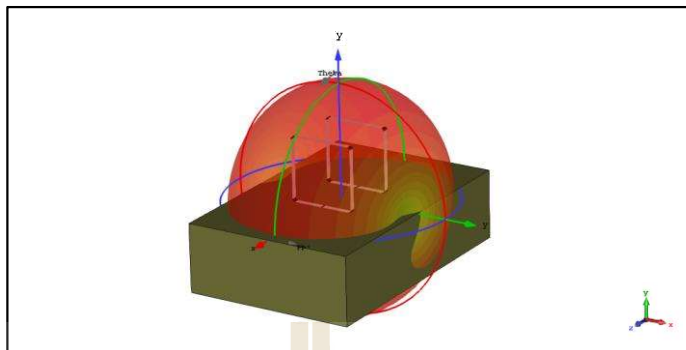


(ค) แบบรูปการแผ่กำลังระนาบสนามไฟฟ้า



(ง) แบบรูปการแผ่กำลังระนาบสนามแม่เหล็ก

รูปที่ 3.9 ผลการจำลองสายอากาศแคลดับแบบบ่วงขนาดเล็ก 2x1 อีลิเมนต์

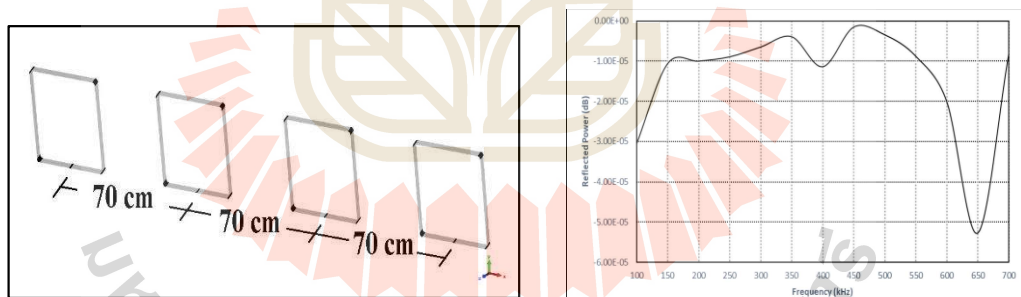


รูปที่ 3.10 แบบรูปการแผ่กำลัง 3 มิติของสายอากาศแคลมดับแบบบ่วงขนาดเล็ก  $2 \times 1$  อีลิเมนต์

### 3.7 การจำลองสายอากาศแคลมดับแบบบ่วงขนาดเล็ก $1 \times 4$ อีลิเมนต์

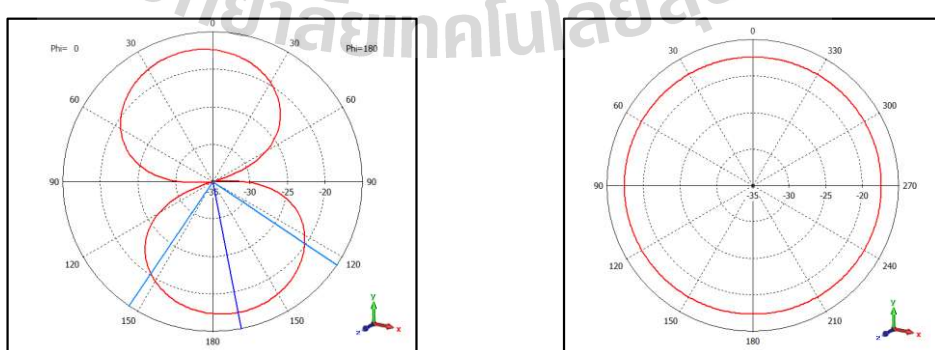
#### 3.7.1 สายอากาศแคลมดับแบบบ่วงขนาดเล็ก $1 \times 4$ อีลิเมนต์

ใช้โปรแกรม CST Microwave Studio Suite 2019 ออกแบบและจำลองสายอากาศแบบบ่วง 4 อีลิเมนต์ ที่จัดวางสายอากาศ  $1 \times 4$  อีลิเมนต์ แนวตั้งบนพื้นดิน มีระยะห่างแต่ละอีลิเมนต์ เท่ากับ 70 เซนติเมตร จากจุดป้อนสัญญาณต้นที่ 1 ไปยังจุดป้อนสัญญาณต้นที่ 2, 3 และ 4 ซึ่งแสดงโครงสร้างของสายอากาศดังรูปที่ 3.11 (ก) ซึ่งผลการจำลองพบว่า ค่าสัมประสิทธิ์การสะท้อนกลับของสายอากาศ ( $S_{11}$ ) เท่ากับ  $-0.00001\text{dB}$  ดังแสดงรูปที่ 3.11 (ข) และแบบรูปการแผ่กำลังในสนามไฟฟ้า (E-plan) และสนามแม่เหล็ก (H-plan) ดังแสดงรูปที่ 3.11 (ค) และ (ง) และค่าส่วนของเวจจิทิศทางเท่ากับ  $-17.23\text{ dBi}$  ดังแสดงรูปที่ 3.12



(ก) แบบจำลองสายอากาศ (Type D)

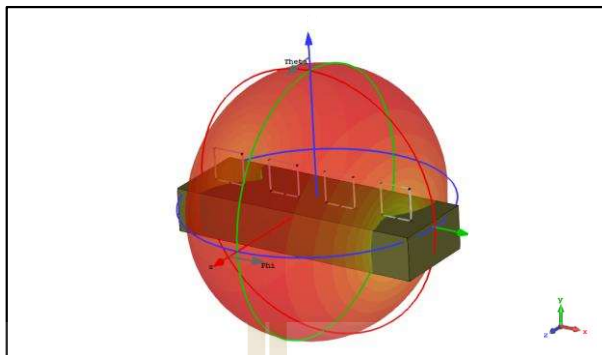
(ข) ค่าสัมประสิทธิ์การสะท้อนกลับของสายอากาศ ( $S_{11}$ )



(ค) แบบรูปการแผ่กำลังระนาบสนามไฟฟ้า

(ง) แบบรูปการแผ่กำลังระนาบสนามแม่เหล็ก

รูปที่ 3.11 ผลการจำลองสายอากาศแคลมดับแบบบ่วงขนาดเล็ก  $1 \times 4$  อีลิเมนต์

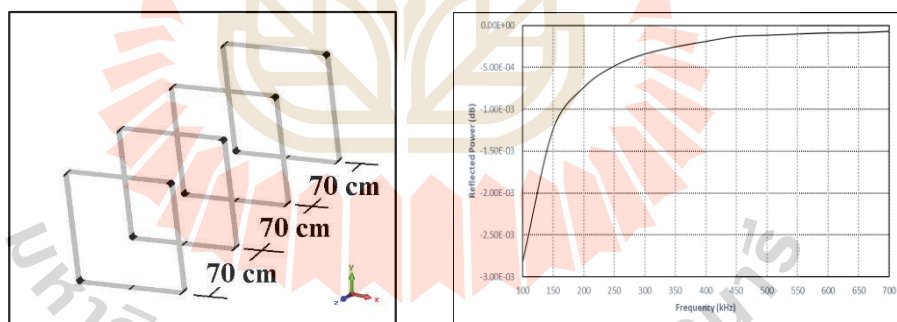


รูปที่ 3.12 แบบรูปการแผ่กำลัง 3 มิติของสายอากาศแควลำดับแบบบ่่วงขนาดเล็ก  $1 \times 4$  อีลิเมนต์

### 3.8 การจำลองสายอากาศแควลำดับแบบบ่่วงขนาดเล็ก $4 \times 1$ อีลิเมนต์

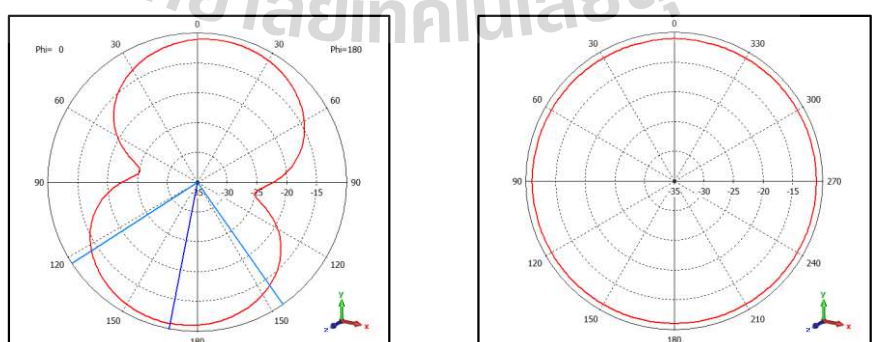
#### 3.8.1 สายอากาศแควลำดับแบบบ่่วงขนาดเล็ก $4 \times 1$ อีลิเมนต์

ใช้โปรแกรม CST Microwave Studio Suite 2019 ออกแบบและจำลองสายอากาศแบบบ่่วง 4 อีลิเมนต์ ที่จัดวางสายอากาศ  $4 \times 1$  อีลิเมนต์ แนวตั้งบนพื้นดิน มีระยะห่างแต่ละอีลิเมนต์เท่ากับ 70 เซนติเมตร จากจุดป้อนสัญญาณต้นที่ 1 ไปยังจุดป้อนสัญญาณต้นที่ 2,3 และ 4 ซึ่งแสดงโครงสร้างของสายอากาศดังรูปที่ 3.13 (ก) ซึ่งผลการจำลองพบว่า ค่าสัมประสิทธิ์การสะท้อนกลับของสายอากาศ ( $S_{11}$ ) เท่ากับ  $-0.0005$  dB ดังแสดงรูปที่ 3.13 (ข) และแบบรูปการแผ่กำลังในสนามไฟฟ้า (E-plan) และสนามแม่เหล็ก (H-plan) ดังแสดงรูปที่ 3.13 (ค) และ (ง) และค่าสภาพเจาะจงทิศทางเท่ากับ  $-10.83$  dBi ดังแสดงรูปที่ 3.14



(ก) แบบจำลองสายอากาศ

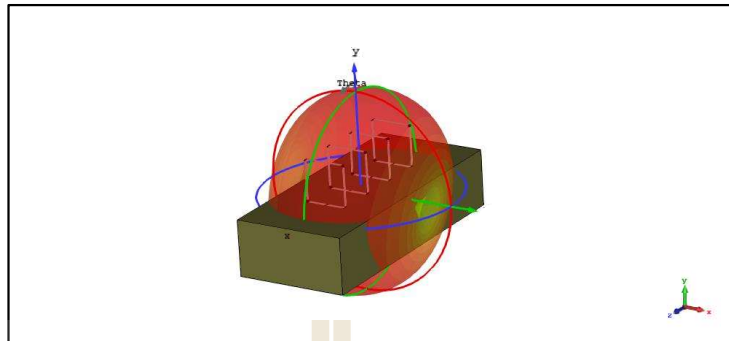
(ข) ค่าสัมประสิทธิ์การสะท้อนกลับของสายอากาศ ( $S_{11}$ )



(ค) แบบรูปการแผ่กำลังระนาบสนามไฟฟ้า

(ง) แบบรูปการแผ่กำลังระนาบสนามแม่เหล็ก

รูปที่ 3.13 ผลการจำลองสายอากาศแควลำดับแบบบ่่วงขนาดเล็ก  $4 \times 1$  อีลิเมนต์

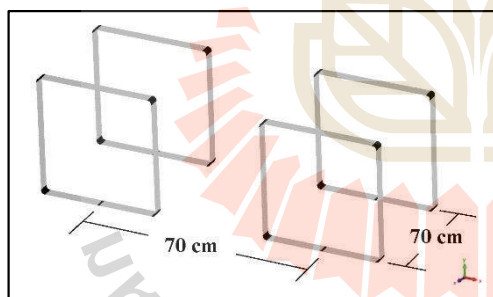


รูปที่ 3.14 แบบรูปการແຜ่กำลัง 3 มิติของสายอากาศແລວลำดับแบบบ่วงขนาดเล็ก 4x1 อีลิเมนต์

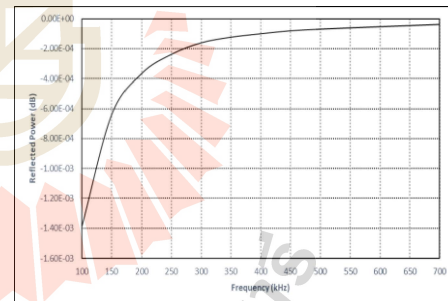
### 3.9 การจำลองสายอากาศແລວลำดับแบบบ่วงขนาดเล็ก 2x2 อีลิเมนต์

#### 3.9.1 สายอากาศແລວลำดับแบบบ่วงขนาดเล็ก 2x2 อีลิเมนต์

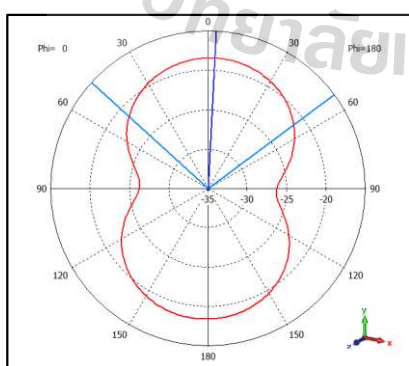
ใช้โปรแกรม CST Microwave Studio Suite 2019 ออกแบบและจำลองสายอากาศแบบบ่วง 4 อีลิเมนต์ ที่จัดวางสายอากาศ 2x2 อีลิเมนต์ แนวตั้งบนพื้นดิน มีระยะห่างแต่ละอีลิเมนต์เท่ากับ 70 เซนติเมตร จากจุดป้อนสัญญาณต้นที่ 1 ไปยังจุดป้อนสัญญาณต้นที่ 2,3 และ 4 ซึ่งแสดงโครงสร้างของสายอากาศดังรูปที่ 3.15 (ก) ซึ่งผลการจำลองพบว่า ค่าสัมประสิทธิ์การสะท้อนกลับของสายอากาศ ( $S_{11}$ ) เท่ากับ -0.0002 dB ดังแสดงรูปที่ 3.15 (ข) และแบบรูปการແຜ่กำลังในสนามไฟฟ้า (E-plan) และสนามแม่เหล็ก (H-plan) ดังแสดงรูปที่ 3.15 (ค) และ (ง) และค่าสภาพเจาะจงทิศทางเท่ากับ -17.78 dBi ดังแสดงรูปที่ 3.16



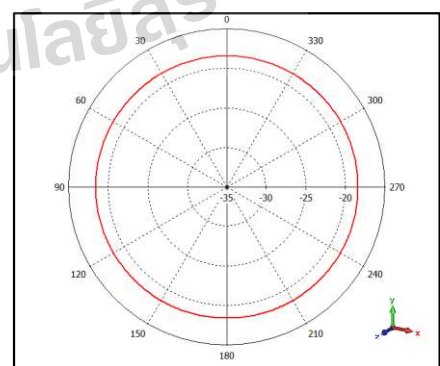
(ก) แบบจำลองสายอากาศ



(ข) ค่าสัมประสิทธิ์การสะท้อนกลับของ สายอากาศ ( $S_{11}$ )

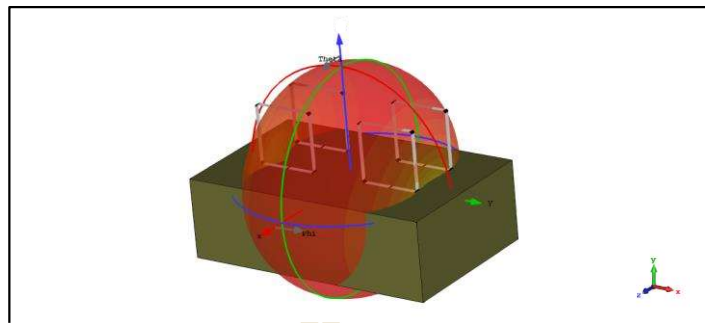


(ค) แบบรูปการແຜ่กำลังระนาบสนามไฟฟ้า



(ง) แบบรูปการແຜ่กำลังระนาบสนามแม่เหล็ก

รูปที่ 3.15 ผลการจำลองสายอากาศต้นแบบแบบบ่วงจำนวน 4 อีลิเมนต์



รูปที่ 3.16 แบบรูปการແຜ่กำลัง 3 มิติของสายอากาศแคลว์ดับบล์บ่งขนาดเล็ก 2x2 อีลิเมนต์

ออกแบบสายอากาศขนาดเล็กและจำลองผลด้วยโปรแกรม CST Microwave Studio Suite 2019 พบว่าระบบสนามไฟฟ้าของสายอากาศแบบบ่งขนาดเล็ก 1 อีลิเมนต์วางแนวอน มี Half-power beamwidth เท่ากับ -37.3 dbi และทิศทาง Main lobe พุ่งออกมุ่ม 34 องศา และระบบสนามไฟฟ้าของสายอากาศแบบบ่งขนาดเล็ก 1 อีลิเมนต์วางแนวตั้งมี Half-power beamwidth เท่ากับ -26 dbi และทิศทาง Main lobe พุ่งออกมุ่ม 45 องศา

ระบบสนามไฟฟ้าของสายอากาศแบบบ่งขนาดเล็ก 2 อีลิเมนต์ สายอากาศแคลว์ดับบล์บ่งขนาดเล็ก 1x2 อีลิเมนต์ มี Half power beamwidth เท่ากับ -24.9 dbi และมีทิศทาง Main lobe พุ่งออกที่มุ่ม 164 องศา และสายอากาศแคลว์ดับบล์บ่งขนาดเล็ก 1x2 อีลิเมนต์ มี Half power beamwidth เท่ากับ -21.1 dbi และทิศทาง Main lobe พุ่งออกที่มุ่ม 20 องศา

ระบบสนามไฟฟ้าของสายอากาศแบบบ่งขนาดเล็ก 4 อีลิเมนต์ สายอากาศแคลว์ดับบล์บ่งขนาดเล็ก 1x4 อีลิเมนต์ มี Half power beamwidth เท่ากับ -17.2 dbi และมีทิศทาง Main lobe พุ่งออกที่มุ่ม 169 องศา สายอากาศแคลว์ดับบล์บ่งขนาดเล็ก 4x1 อีลิเมนต์ มี Half power beamwidth เท่ากับ -11 dbi และมีทิศทาง Main lobe พุ่งออกที่มุ่ม 169 องศา และสายอากาศแคลว์ดับบล์บ่งขนาดเล็ก 2x2 อีลิเมนต์ มี Half power beamwidth เท่ากับ -18.4 dbi และมีทิศทาง Main lobe พุ่งออกที่มุ่ม 3 องศา

### 3.10 ผลการทดสอบสายอากาศแบบบ่วงขนาดเล็ก

ตารางที่ 3.1 การเปรียบเทียบค่าพารามิเตอร์ของสายอากาศแบบบ่วงขนาดเล็ก

พารามิเตอร์	สายอากาศ แบบบ่วง 1 อีลิเมนต์ วาง แนวนอน	สายอากาศ แบบบ่วง 1 อีลิเมนต์ วางแนวตั้ง	สายอากาศ แฉล้ำดับ แบบบ่วง 1x2 อีลิเมนต์	สายอากาศ แฉล้ำดับ แบบบ่วง 2x1 อีลิเมนต์	สายอากาศ แฉล้ำดับ แบบบ่วง 1x4 อีลิเมนต์	สายอากาศ แฉล้ำดับ แบบบ่วง 4x1 อีลิเมนต์	สายอากาศ แฉล้ำดับ แบบบ่วง 2x2 อีลิเมนต์
ค่าประสิทธิภาพ การแผ่กำลัง (Radiation efficiency)	14.57 dB	-4.20 dB	-0.30 dB	6.97 dB	-0.16 dB	1.21 dB	7.80 dB
สภาพเจาะจง ทิศทาง (Directivity)	-35.34 dBi	-25.35 dBi	-23.29 dBi	-21.03 dBi	-17.23 dBi	-10.83 dBi	-17.78 dBi
อัตราขยาย (Gain)	-20.77 dBi	-29.55 dBi	-23.60 dBi	-14.06 dBi	-17.39 dBi	-9.62 dBi	-9.98 dBi
กระแสฟื้นผิว (Surface current)	74.47 A/m	76.58 A/m	83.01 A/m	95.59 A/m	103.91 A/m	115.12 A/m	105.67 A/m

จากตารางที่ 3.1 การเปรียบเทียบค่าพารามิเตอร์ของสายอากาศแบบบ่วงขนาดเล็ก ผลการจำลองค่าประสิทธิภาพการแผ่กำลังของสายอากาศแบบบ่วงขนาดเล็ก มีค่าเท่ากับ 14.57 dB, -4.20 dB, -0.30 dB, 6.97 dB, -0.16 dB, 1.21 dB และ 7.80 dB ตามลำดับ ผลการจำลองค่าสภาพเจาะจงทิศทางของสายอากาศแบบบ่วงขนาดเล็ก มีค่าเท่ากับ -35.34 dBi, -25.35 dBi, -23.29 dBi, -21.03 dBi, -17.23 dBi, -10.83 dBi, และ -17.78 dBi ตามลำดับ ผลการจำลองอัตราขยายของสายอากาศแบบบ่วงขนาดเล็ก มีค่าเท่ากับ -20.77 dBi, -29.55 dBi, -23.60 dBi, -14.06 dBi, -17.39 dBi, -9.62 dBi และ -9.98 dBi ตามลำดับ ผลการจำลองค่ากระแสฟื้นผิวของสายอากาศแบบบ่วงขนาดเล็ก มีค่าเท่ากับ 74.47 A/m, 76.58 A/m, 83.01 A/m, 95.59 A/m, 103.91 A/m, 115.12 A/m และ 105.67 A/m ตามลำดับ

### 3.11 สรุป

สำหรับที่ได้กล่าวถึงขั้นตอนการออกแบบ และวิเคราะห์สายอากาศแบบบ่วงที่มีการใช้งาน ในย่านความถี่ 350 kHz โดยการใช้โปรแกรม CST Microwave Studio Suite 2019 การออกแบบ และจำลองสายอากาศแบบบ่วงขนาดเล็ก พื้นที่จัดวางสายอากาศบนพื้นดิน สายอากาศแบบบ่วงขนาดเล็กมีความยาวด้านละ 70 เซนติเมตร มีส่วนผ่าศูนย์กลางยาว 1 เมตร โดยใช้สายนำสัญญาณแบบหลายແບບจำนวน 60 ແບບ รูปทรงสี่เหลี่ยมจัตุรัส นำมาเป็นสายอากาศแบบบ่วงขนาดเล็ก จากนั้นทำการวิเคราะห์ค่าประสิทธิภาพการแผ่กำลัง สภาพเจาะจงทิศทาง อัตราขยาย และกระแสพื้นผิว โดยการออกแบบจำลองสายอากาศและทำการวัดค่าและบันทึกค่าผลได้ดังตารางที่ 3.1 จะเห็นว่าในตารางที่ 3.1 มีการเปรียบเทียบค่าพารามิเตอร์ 1 อีลิเมนต์ 2 อีลิเมนต์ และ 4 อีลิเมนต์ ขั้นตอนแรกเปรียบเทียบการจัดวางของสายอากาศ 1 อีลิเมนต์แบบแนวตั้ง จะพบว่าค่าประสิทธิภาพการแผ่กำลัง การวางแผนบนจะมีค่าสูงกว่าวางแผนในแนวตั้ง มีค่าเท่ากับ 10.37 db ต่อมาเปรียบเทียบค่าสภาพเจาะจงทิศทาง การวางแผนตั้งจะมีค่าสูงกว่าวางแผนในแนวตั้ง มีค่าเท่ากับ 9.99 dbi ต่อมาเปรียบเทียบค่าอัตราขยาย การวางแผนบนจะมีค่าสูงกว่าวางแผนตั้ง มีค่าเท่ากับ 8.78 dbi และการเปรียบเทียบค่ากระแสพื้นผิว การวางแผนตั้งจะมีค่าสูงกว่าวางแผนในแนวตั้ง มีค่าเท่ากับ 2.11 A/m เมื่อนำมาวิเคราะห์พารามิเตอร์ของสายอากาศแบบบ่วงขนาดเล็ก 1 อีลิเมนต์ จะพบว่าการจัดวางบนจะมีค่าประสิทธิภาพการแผ่กำลังและค่าอัตราขยาย มีค่าสูงกว่าจัดวางแนวตั้งก็จริง แต่ที่เลือกในการจัดวางสายอากาศแบบบ่วงขนาดเล็กแนวตั้ง เพราะว่า โพลาไรซ์และรูปแบบการแพร่กระจายคลื่นของสายอากาศแบบบ่วงขนาดเล็กตรงกับสายอากาศแบบฝังลงพื้นโลกที่เป็นภาคสี่ เมื่อนำไปใช้งานในถ้ำ ดังนั้นการจัดวางแนวตั้งจึงนำมาเลือกใช้ในการจัดแฉลิดับของสายอากาศแบบบ่วงขนาดเล็ก 2 อีลิเมนต์ และ 4 อีลิเมนต์

ต่อมาเป็นการจัดแฉลิดับสายอากาศแบบบ่วงขนาดเล็ก 2 อีลิเมนต์ แบบ 1x2 อีลิเมนต์ และ 2x1 อีลิเมนต์ จะพบว่าค่าประสิทธิภาพการแผ่กำลัง การจัดแฉลิดับแบบ 2x1 อีลิเมนต์ มีค่าสูงกว่าการจัดแฉลิดับแบบ 1x2 อีลิเมนต์ มีค่าเท่ากับ 7.27 db ต่อมาเปรียบเทียบค่าสภาพเจาะจงทิศทาง การจัดแฉลิดับแบบ 2x1 อีลิเมนต์ มีค่าสูงกว่าการจัดแฉลิดับแบบ 1x2 อีลิเมนต์ มีค่าเท่ากับ 2.26 dbi ต่อมาเปรียบเทียบค่าอัตราขยาย การจัดแฉลิดับแบบ 2x1 อีลิเมนต์ มีค่าสูงกว่าการจัดแฉลิดับแบบ 1x2 อีลิเมนต์ มีค่าเท่ากับ 9.54 dbi และการเปรียบเทียบค่ากระแสพื้นผิวการจัดแฉลิดับแบบ 2x1 อีลิเมนต์ มีค่าเท่ากับ 12.58 A/m เมื่อนำมาวิเคราะห์พารามิเตอร์ของสายอากาศแบบบ่วงขนาดเล็ก 2 อีลิเมนต์ จะพบว่าการจัดแฉลิดับแบบ 2x1 อีลิเมนต์ มีค่าสูงกว่าการจัดแฉลิดับแบบ 1x2 อีลิเมนต์ ทุกพารามิเตอร์

ต่อมาเป็นการจัดแฉลิดับสายอากาศแบบบ่วงขนาดเล็ก 4 อีลิเมนต์ แบบ 1x4 อีลิเมนต์ 4x1 อีลิเมนต์ และ 2x2 อีลิเมนต์ จะพบว่าค่าประสิทธิภาพการแผ่กำลัง การจัดแฉลิดับแบบ 2x2 อีลิ-

เมนต์ มีค่าสูงกว่าการจัดแครล์ดับแบบ  $1 \times 4$  อีลิเมนต์ และการจัดแครล์ดับแบบ  $4 \times 1$  อีลิเมนต์ มีค่าเท่ากับ  $7.96 \text{ db}$  และ  $6.59 \text{ db}$  ต่อมาเปรียบเทียบค่าสภาพเจาะจงทิศทางการจัดแครล์ดับแบบ  $4 \times 1$  อีลิเมนต์ มีค่าสูงกว่าการจัดแครล์ดับแบบ  $1 \times 4$  อีลิเมนต์ และการจัดแครล์ดับแบบ  $2 \times 2$  อีลิเมนต์มีค่าเท่ากับ  $6.4 \text{ dbi}$  และ  $6.95 \text{ dbi}$  ต่อมาเปรียบเทียบค่าอัตราขยาย การจัดแครล์ดับแบบ  $4 \times 1$  อีลิเมนต์ มีค่าสูงกว่าการจัดแครล์ดับแบบ  $1 \times 4$  อีลิเมนต์ และการจัดแครล์ดับแบบ  $2 \times 2$  อีลิเมนต์มีค่าเท่ากับ  $8.31 \text{ dbi}$  และ  $0.36 \text{ dbi}$  และการเปรียบเทียบค่ากระแสฟื้นผิวการจัดแครล์ดับแบบ  $4 \times 1$  อีลิเมนต์ มีค่าสูงกว่าการจัดแครล์ดับแบบ  $1 \times 4$  อีลิเมนต์ และการจัดแครล์ดับแบบ  $2 \times 2$  อีลิเมนต์มีค่าเท่ากับ  $11.21 \text{ A/m}$  และ  $9.45 \text{ A/m}$

เมื่อนำมาวิเคราะห์ทั้งหมดจะสังเกตได้ว่า การจัดแครล์ดับสายอากาศแบบบ่วงขนาดเล็ก  $4$  อีลิเมนต์ จัดวางแบบ  $4 \times 1$  อีลิเมนต์ เปรียบเทียบกับสายอากาศแบบบ่วงขนาดเล็ก  $1$  อีลิเมนต์ วางแนวตั้ง มีค่าประสิทธิภาพการแผ่กำลังสูงกว่า  $5.41 \text{ db}$  ค่าสภาพเจาะจงทิศทางสูงกว่า  $14.52 \text{ dbi}$  ค่าอัตราขยายสูงกว่า  $19.93 \text{ dbi}$  และค่ากระแสฟื้นผิวสูงกว่า  $38.54 \text{ A/m}$  จากการวิเคราะห์ค่าพารามิเตอร์ทั้งหมด ทำให้เห็นว่าถ้านำสายอากาศแบบบ่วงขนาดเล็กมาจัดแครล์ดับแบบ  $4 \times 1$  อีลิเมนต์ ไปวัดทดสอบจะสามารถเห็นยาน้ำกระแสงจากพื้นโลกได้มากขึ้นและส่งผลให้รับสัญญาณได้สูงขึ้นเช่นเดียวกัน จากนั้นนำไปสร้างสายอากาศแบบบ่วงขนาดเล็กขึ้นมาและทำการทดสอบการจัดรูปแบบการวางและระยะห่างแต่ละอีลิเมนต์ ที่เหมาะสมที่สุด



## บทที่ 4

### การสร้างและวัดทดสอบ

#### 4.1 บทนำ

จากทฤษฎีและหลักการทั้งหมดที่กล่าวไว้แล้วในบทที่ผ่านมา ในบทนี้จะเป็นการกล่าวถึงการนำแบบจำลองที่ได้จากการออกแบบสายอากาศด้วยโปรแกรมสำเร็จรูป CST Microwave Studio Suite 2019 ที่ได้จากบทที่ 3 มาทำการสร้างขึ้นให้เป็นสายอากาศต้นแบบและทำการวัดเพื่อทดสอบคุณลักษณะต่างๆ ของสายอากาศ ซึ่งโครงสร้างของสายอากาศที่นำเสนอันนี้จะเป็นสายอากาศแบบบ่วง โดยจะนำเส้น漉ดที่มีขนาด 1 มิลลิเมตรต่อเส้นจำนวน 60 เส้น มาทำการขดให้เป็นบ่วงที่มีลักษณะเป็นสี่เหลี่ยมจัตุรัส มีการใช้งานย่านความถี่ 350 kHz โดยให้สายอากาศทำงานที่ความถี่เรโซแนนซ์ 350 kHz ซึ่งขนาดที่ได้สร้างสายอากาศมีขนาดความยาวคลื่นเพื่อที่จะทำให้สายอากาศมีขนาดใหญ่จนเกินไป

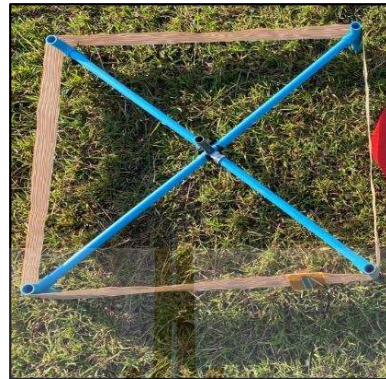
#### 4.2 การสร้างสายอากาศต้นแบบแบบบ่วงขนาดเล็ก

เมื่อได้ผลการจำลองของสายอากาศที่ได้จากโปรแกรมสำเร็จรูป CST Microwave Studio Suite 2019 จึงทำการสร้างสายอากาศต้นแบบแบบบ่วงขนาดเล็กในย่านความถี่ 350 kHz สายอากาศต้นแบบแบบบ่วงขนาดเล็กถูกออกแบบโดยใช้สายนำสัญญาณแบบหลายແ隶จำนวน 60 เส้น มีความยาว 2.8 เมตร นำมาทำให้มีลักษณะเป็นรูปทรงสี่เหลี่ยมจัตุรัส มีความยาวด้านข้างด้านละ 70 เซนติเมตร มีเส้นผ่าศูนย์กลาง 1 เมตร ดังรูปที่ 4.1



รูปที่ 4.1 สายอากาศต้นแบบแบบบ่วงขนาดเล็ก

### 4.3 การทดสอบสายอากาศแบบบ่่งขนาดเล็กวงแหวนอน



รูปที่ 4.2 สายอากาศแบบบ่่งขนาดเล็กวงแหวนอน

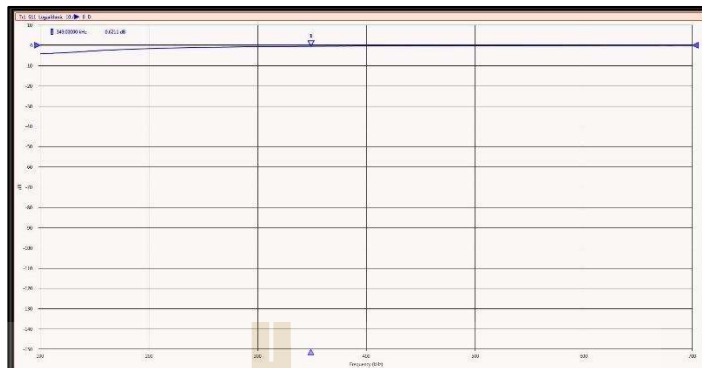
ขั้นตอนการทดสอบสายอากาศแบบบ่่งขนาดเล็กวงแหวนอน ดังรูปที่ 4.2 นำมาทดสอบที่สนามหญ้าโล่งเพื่อมาทดสอบค่าสัมประสิทธิ์การสะท้อนกลับ ( $S_{11}$ ) และวัดค่าออมพีเดนซ์ ใช้เครื่องมือวัดสายอากาศของเครื่องวิเคราะห์เครือข่ายเวกเตอร์ TTR506A โดยใช้โปรแกรม Vector VU-PC ดังรูปที่ 4.3 เพื่อดูผล (<https://imex.co.uk/TEK-TTR503A-USB-Vector-Network-Analyzer-100-KHz-to-3-GHz>)



รูปที่ 4.3 เครื่องวิเคราะห์เครือข่ายเวกเตอร์ TTR506A

#### 4.3.1 ผลการวัดค่าสัมประสิทธิ์การสะท้อนกลับ ( $S_{11}$ )

ในการวัดสายอากาศแบบบ่่งขนาดเล็กที่ทำขึ้นมาตนั้นค่าสัมประสิทธิ์การสะท้อนกลับ  $S_{11}$  ได้จากเครื่องมือวัดสายอากาศของเครื่องวิเคราะห์เครือข่ายเวกเตอร์ TTR506A แล้วต่อเข้ากับโปรแกรม Vector VU-PC ในคอมพิวเตอร์กำหนดช่วงความถี่ระหว่าง 100-700 kHz โดยจะกำหนดความถี่ที่ใช้งานคือ 350 kHz เชื่อมสายนำสัญญาณจาก Port1 ที่เครื่องวิเคราะห์สเปกตรัมไปยังสายอากาศ เลือกโหมด Format และเลือก log Mag เพื่อดูค่าสัมประสิทธิ์การสะท้อนกลับ  $S_{11}$  ที่ความถี่ 350 kHz ซึ่งมีค่าเท่ากับ -0.621 dB ดังรูปที่ 4.4 และวัดค่าออมพีเดนซ์เท่ากับ  $204.222+j560.806 \Omega$



รูปที่ 4.4 ค่าสัมประสิทธิ์การสะท้อนกลับ  $S_{11}$

#### 4.4 การทดสอบสายอากาศแบบบ่วงขนาดเล็กวางแผนตั้ง



รูปที่ 4.5 สายอากาศแบบบ่วงขนาดเล็กวางแผนตั้ง

ขั้นตอนการทดสอบสายอากาศต้นแบบแบบบ่วงวางแผนตั้ง ดังรูปที่ 4.5 นำมาทดสอบที่สนามหญ้าโล่งเพื่อทดสอบค่าสัมประสิทธิ์การสะท้อนกลับ ( $S_{11}$ ) และวัดค่าอิมพีเดนซ์ ใช้เครื่องมือวัดสายอากาศของเครื่องวิเคราะห์เครื่อข่ายเวกเตอร์ TTR506A โดยใช้โปรแกรม Vector VU-PC เพื่อคุณผล

##### 4.4.1 ผลการวัดค่าสัมประสิทธิ์การสะท้อนกลับ ( $S_{11}$ )

ในการวัดสายอากาศต้นแบบแบบบ่วงที่ทำขึ้นมานี้ค่าสัมประสิทธิ์การสะท้อนกลับ ( $S_{11}$ ) ได้จากเครื่องมือวัดสายอากาศของเครื่องวิเคราะห์เครื่อข่ายเวกเตอร์ TTR506A แล้วต่อเข้ากับโปรแกรม Vector VU-PC ในคอมพิวเตอร์กำหนดช่วงความถี่ระหว่าง 100-700 kHz โดยจะกำหนดความถี่ที่ใช้งานคือ 350 kHz เชื่อมสายนำสัญญาณจาก Port1 ที่เครื่องวิเคราะห์สเปกตรัมไปยังสายอากาศ เลือกโหมด Format และเลือก log Mag เพื่อดูค่าสัมประสิทธิ์การสะท้อนกลับ  $S_{11}$  ที่ความถี่ 350 kHz ซึ่งมีค่าเท่ากับ  $-0.502 \text{ dB}$  ดังรูปที่ 4.6 และวัดค่าอิมพีเดนซ์เท่ากับ  $357.507 + j703.531 \Omega$



รูปที่ 4.6 ค่าสัมประสิทธิ์การสะท้อนกลับ  $S_{11}$

#### 4.5 การทดสอบสายอากาศแคลดับแบบบ่องขนาดเล็ก $1 \times 2$ อีลิเมนต์

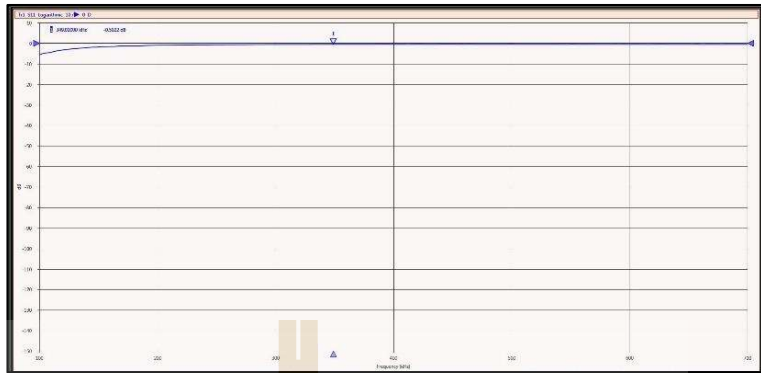


รูปที่ 4.7 สายอากาศแคลดับแบบบ่องขนาดเล็ก  $1 \times 2$  อีลิเมนต์

ขั้นตอนการทดสอบสายอากาศแคลดับแบบบ่องขนาดเล็ก  $1 \times 2$  อีลิเมนต์ ดังรูปที่ 4.7 นำมาทดสอบที่สนามหญ้าโล่งเพื่อมาทดสอบค่าสัมประสิทธิ์การสะท้อนกลับ ( $S_{11}$ ) และวัดค่าออมพีเดนซ์ ใช้เครื่องมือวัดสายอากาศของเครื่องวิเคราะห์เครื่องข่ายเวกเตอร์ TTR506A โดยใช้โปรแกรม Vector VU-PC เพื่อดูผล

##### 4.5.1 ผลการวัดค่าสัมประสิทธิ์การสะท้อนกลับ ( $S_{11}$ )

ในการวัดสายอากาศแบบบ่องขนาดเล็กที่ทำขึ้นมานั้นค่าสัมประสิทธิ์การสะท้อนกลับ ( $S_{11}$ ) ได้จากเครื่องมือวัดสายอากาศของเครื่องวิเคราะห์เครื่องข่ายเวกเตอร์ TTR506A แล้วต่อเข้ากับโปรแกรม Vector VU-PC ในคอมพิวเตอร์กำหนดช่วงความถี่ระหว่าง 100-700 kHz โดยจะกำหนดความถี่ที่ใช้งานคือ 350 kHz เชื่อมสายนำสัญญาณจาก Port1 ที่เครื่องวิเคราะห์สเปกตรัมไปยังสายอากาศ เลือกโหมด Format และเลือก Log Mag เพื่อดูค่าสัมประสิทธิ์การสะท้อนกลับ ( $S_{11}$ ) ที่ความถี่ 350 kHz ซึ่งมีค่าเท่ากับ  $-0.592$  dB ดังรูปที่ 4.8 และวัดค่าออมพีเดนซ์เท่ากับ  $334.896+j619.883 \Omega$



รูปที่ 4.8 ค่าสัมประสิทธิ์การสะท้อนกลับ  $S_{11}$

#### 4.6 การทดสอบสายอากาศแคลว์ลำดับแบบบ่วงขนาดเล็ก $2 \times 1$ อีลิเมนต์

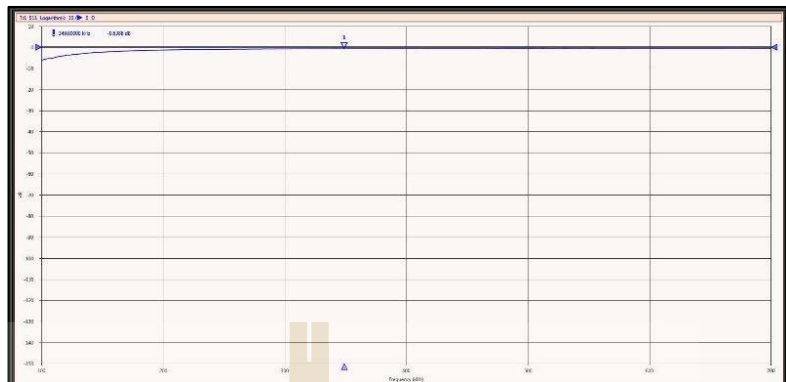


รูปที่ 4.8 สายอากาศแคลว์ลำดับแบบบ่วงขนาดเล็ก  $2 \times 1$  อีลิเมนต์

ขั้นตอนการทดสอบสายอากาศแคลว์ลำดับแบบบ่วงขนาดเล็ก  $2 \times 1$  อีลิเมนต์ ดังรูปที่ 4.9 นำมาทดสอบที่สนามหญ้าโล่งเพื่อมาทดสอบค่าสัมประสิทธิ์การสะท้อนกลับ ( $S_{11}$ ) และวัดค่า ออมพีเดนซ์ ใช้เครื่องมือวัดสายอากาศของเครื่องวิเคราะห์เครือข่ายเวกเตอร์ TTR506A โดยใช้ โปรแกรม VU-PC เพื่อดูผล

##### 4.6.1 ผลการวัดค่าสัมประสิทธิ์การสะท้อนกลับ ( $S_{11}$ )

ในการวัดสายอากาศแบบบ่วงขนาดเล็กที่ทำขึ้นมานั้นค่าสัมประสิทธิ์การสะท้อนกลับ ( $S_{11}$ ) ได้จากเครื่องมือวัดสายอากาศของเครื่องวิเคราะห์เครือข่ายเวกเตอร์ TTR506A และต่อเข้ากับ โปรแกรม VU-PC ในคอมพิวเตอร์กำหนดช่วงความถี่ระหว่าง 100-700 kHz โดยจะกำหนด ความถี่ที่ใช้งานคือ 350 kHz เชื่อมสายนำสัญญาณจาก Port1 ที่เครื่องวิเคราะห์สเปกตรัมไปยัง สายอากาศ เลือกโหมด Format และเลือก log Mag เพื่อดูค่าสัมประสิทธิ์การสะท้อนกลับ ( $S_{11}$ ) ที่ ความถี่ 350 kHz ซึ่งมีค่าเท่ากับ  $-0.638 \text{ dB}$  ดังรูปที่ 4.10 และวัดค่าออมพีเดนซ์เท่ากับ  $302.260+j576.879 \Omega$



รูปที่ 4.10 ค่าสัมประสิทธิ์การสะท้อนกลับ  $S_{11}$

#### 4.7 การทดสอบสายอากาศแควลำดับแบบบ่่วงขนาดเล็ก $1 \times 4$ อีลิเมนต์



รูปที่ 4.11 สายอากาศแควลำดับแบบบ่่วงขนาดเล็ก  $1 \times 4$  อีลิเมนต์

ขั้นตอนการทดสอบสายอากาศแควลำดับแบบบ่่วงขนาดเล็ก  $1 \times 4$  อีลิเมนต์ ดังรูปที่ 4.11 นำมาทดสอบที่สนามหญ้าโล่งเพื่อมาทดสอบค่าสัมประสิทธิ์การสะท้อนกลับ ( $S_{11}$ ) และวัดค่า อิมพีเดนซ์ ใช้เครื่องมือวัดสายอากาศของเครื่องวิเคราะห์เครื่อข่ายเวกเตอร์ TTR506A โดยใช้ โปรแกรม Vecter VU-PC เพื่อดูผล

##### 4.7.1 ผลการวัดค่าสัมประสิทธิ์การสะท้อนกลับ ( $S_{11}$ )

ในการวัดสายอากาศแบบบ่่วงขนาดเล็กที่ทำขึ้นมาขั้นตอนค่าสัมประสิทธิ์การสะท้อนกลับ ( $S_{11}$ ) ได้จากเครื่องมือวัดสายอากาศของเครื่องวิเคราะห์เครื่อข่ายเวกเตอร์ TTR506A แล้วต่อเข้ากับ โปรแกรม Vecter VU-PC ในคอมพิวเตอร์กำหนดช่วงความถี่ระหว่าง 100-700 kHz โดยจะกำหนด ความถี่ที่ใช้งานคือ 350 kHz เชื่อมสายนำสัญญาณจาก Port1 ที่เครื่องวิเคราะห์สเปกตรัมไปยัง สายอากาศ เลือกโหมด Format และเลือก log Mag เพื่อดูค่าสัมประสิทธิ์การสะท้อนกลับ ( $S_{11}$ ) ที่ ความถี่ 350 kHz ซึ่งมีค่าเท่ากับ  $-8.6296 \text{ dB}$  ดังรูปที่ 4.12 และวัดค่าอิมพีเดนซ์เท่ากับ  $108.002+j7.130 \Omega$



รูปที่ 4.12 ค่าสัมประสิทธิ์การสะท้อนกลับ  $S_{11}$

#### 4.8 การทดสอบสายอากาศแคลดับแบบบ่่วงขนาดเล็ก $4 \times 1$ อีลิเมนต์



รูปที่ 4.13 สายอากาศแคลดับแบบบ่่วงขนาดเล็ก  $4 \times 1$  อีลิเมนต์

ขั้นตอนการทดสอบสายอากาศแคลดับแบบบ่่วงขนาดเล็ก  $4 \times 1$  อีลิเมนต์ ดังรูปที่ 4.12 นำมาทดสอบที่สนามหญ้าโล่งเพื่อมาทดสอบค่าสัมประสิทธิ์การสะท้อนกลับ ( $S_{11}$ ) และวัดค่า อิมพีเดนซ์ ใช้เครื่องมือวัดสายอากาศของเครื่องวิเคราะห์เครื่อข่ายเวกเตอร์ TTR506A โดยใช้ โปรแกรม Vecter VU-PC เพื่อดูผล

##### 4.8.1 ผลการวัดค่าสัมประสิทธิ์การสะท้อนกลับ ( $S_{11}$ )

ในการวัดสายอากาศต้นแบบแบบบ่่วงที่ทำขึ้นมานี้ค่าสัมประสิทธิ์การสะท้อนกลับ ( $S_{11}$ ) ได้จากเครื่องมือวัดสายอากาศของเครื่องวิเคราะห์เครื่อข่ายเวกเตอร์ TTR506A แล้วต่อเข้ากับ โปรแกรม Vecter VU-PC ในคอมพิวเตอร์กำหนดช่วงความถี่ระหว่าง 100-700 kHz โดยจะกำหนด ความถี่ที่ใช้งานคือ 350 kHz เชื่อมสายนำสัญญาณจาก Port1 ที่เครื่องวิเคราะห์สเปกตรัมไปยัง สายอากาศ เลือกโหมด Format และเลือก log Mag เพื่อดูค่าสัมประสิทธิ์การสะท้อนกลับ( $S_{11}$ ) ที่ ความถี่ 350 kHz ซึ่งมีค่าเท่ากับ  $-8.868 \text{ dB}$  ดังรูปที่ 4.14 และวัดค่าอิมพีเดนซ์เท่ากับ  $106.591 + j3.214 \Omega$



รูปที่ 4.14 ค่าสัมประสิทธิ์การสะท้อนกลับ  $S_{11}$

#### 4.9 การทดสอบสายอากาศแควลำดับแบบบ่วงขนาดเล็ก $2 \times 2$ อีลิเมนต์

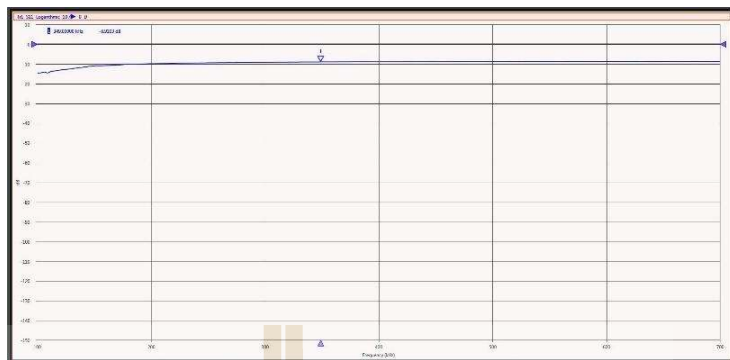


รูปที่ 4.15 สายอากาศแควลำดับแบบบ่วงขนาดเล็ก  $2 \times 2$  อีลิเมนต์

ขั้นตอนการทดสอบสายอากาศแควลำดับแบบบ่วงขนาดเล็ก  $2 \times 2$  อีลิเมนต์ ดังรูปที่ 4.15 นำมาทดสอบที่สนามหญ้าโล่งเพื่อมาทดสอบค่าสัมประสิทธิ์การสะท้อนกลับ ( $S_{11}$ ) และวัดค่า ออมพีเดนซ์ ใช้เครื่องมือวัดสายอากาศของเครื่องวิเคราะห์เครื่อข่ายเวกเตอร์ TTR506A โดยใช้ โปรแกรม Vector VU-PC เพื่อดูผล

##### 4.9.1 ผลการวัดค่าสัมประสิทธิ์การสะท้อนกลับ ( $S_{11}$ )

ในการวัดสายอากาศต้นแบบแบบบ่วงที่ทำขึ้นมานั้นค่าสัมประสิทธิ์การสะท้อนกลับ ( $S_{11}$ ) ได้จากเครื่องมือวัดสายอากาศของเครื่องวิเคราะห์เครื่อข่ายเวกเตอร์ TTR506A แล้วต่อเข้ากับ โปรแกรม Vector VU-PC ในคอมพิวเตอร์กำหนดช่วงความถี่ระหว่าง 100-700 kHz โดยจะกำหนด ความถี่ที่ใช้งานคือ 350 kHz เชื่อมสายนำสัญญาณจาก Port1 ที่เครื่องวิเคราะห์สเปกตรัมไปยัง สายอากาศ เลือกโหมด Format และเลือก log Mag เพื่อดูค่าสัมประสิทธิ์การสะท้อนกลับ( $S_{11}$ ) ที่ ความถี่ 350 kHz ซึ่งมีค่าเท่ากับ  $-8.910 \text{ dB}$  ดังรูปที่ 4.16 และวัดค่าออมพีเดนซ์เท่ากับ  $105.818 + j1.828 \Omega$

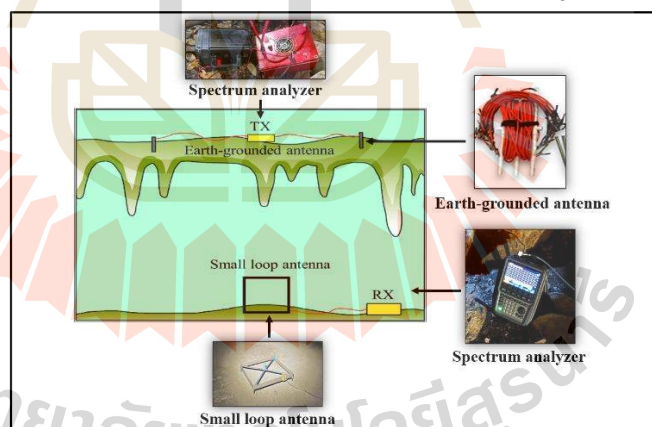


รูปที่ 4.16 ค่าสัมประสิทธิ์การสะท้อนกลับ  $S_{11}$

## 4.10 การทดสอบสายอากาศต้นแบบบ่่วงในถ้ำ

### 4.10.1 การวัดทดสอบการแพร่คลื่นความถี่คลื่นภายในถ้ำ

ทำการวัดทดสอบโดยใช้หลักการสื่อสารแบบ TTE (Trough-The-Earth Communications) ซึ่งในครั้งนี้ได้ใช้เครื่องกำเนิดสัญญาณคลื่นวิทยุเป็นภาคส่ง (ออกแบบและสร้างขึ้นมาเอง) มีกำลังส่ง 38.31 dBm หรือ 5.37 วัตต์ และเครื่องวิเคราะห์แบบสเปกตรัมต่อเข้ากับสายอากาศแบบบ่่วงขนาดเล็ก นำมาเป็นภาครับ โดยทำการทดสอบที่ความถี่ 350 kHz และจัดเตรียมแท่งอิเล็กโทรดและลวดตัวนำไฟฟ้าที่มีความยาวเท่ากับที่ระบบของ HeyPhone โดยใช้สายอากาศ Earth-grounded antenna เป็นสายอากาศภาคส่ง นำมาใช้งานทดสอบดังรูปที่ 4.17



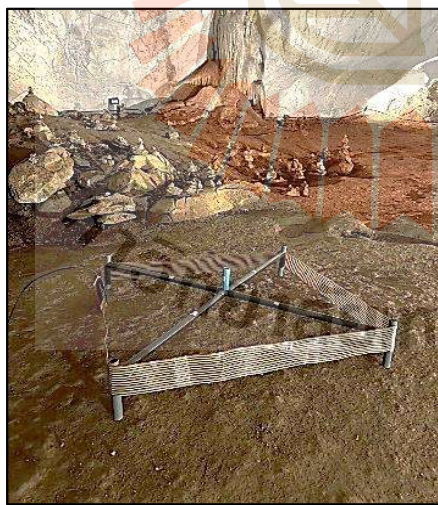
รูปที่ 4.17 การวัดทดสอบการแพร่คลื่นความถี่ 350 kHz ผ่านพื้นโลก (TTE) ที่ถ้ำพระโพธิสัตว์สระบูรี



รูปที่ 4.18 แสดงเส้นทางและตำแหน่งพิกัดของโพรเจกต์พระโพธิสัตว์จากมุมมองด้านบนภูเขา

จากรูปที่ 4.18 เป็นภาพถ่ายดาวเทียม จุดที่ 1 ถึงจุดที่ 4 เป็นเส้นทางเดินขึ้นภูเขา ต่อมาก็จะเป็นจุดวางสายอากาศแบบบ่องขนาดเล็กภายในถ้ำ เพื่อทดสอบระบบภาครับสัญญาณจากบนภูเขา ซึ่งจุด A เป็นจุดตั้งระบบภาคส่งสัญญาณบนภูเขางามยังภาครับสัญญาณโดยใช้สายอากาศ Earth-grounded antenna ซึ่งมีแห่งโลหะอยู่ที่ปลายแต่ละด้านของเส้นลวดที่ปักอยู่ในดิน ซึ่งจุด A และจุดที่ 5 มีระยะห่าง 12.5 เมตร และความหนาของเพดานถ้ำอยู่ที่ประมาณ 3 เมตร

ขั้นตอนแรก เราจะกำหนดการจัดวางแนวสายอากาศในรูปแบบทั้งแนวอนและแนวตั้งดังแสดงในรูปที่ 4.19



(ก) สายอากาศแบบบ่องวางแนวอน



(ข) สายอากาศแบบบ่องวางแนวตั้ง

รูปที่ 4.19 การจัดวางแนวของสายอากาศแบบบ่อง 1 อีลิเมนต์

ตารางที่ 4.1 ผลการเปรียบเทียบสายอากาศแบบบ่่วงขนาดเล็ก 1 อีลิเมนต์

สายอากาศแบบบ่่วง 350 kHz วางแผนอน	สายอากาศแบบบ่ӗງ 350 kHz วางแผนตั้ง
กำลังของสัญญาณ (dBm)	กำลังของสัญญาณ (dBm)
-57.1	-52.9

จากตารางที่ 4.1 ผลการวัดที่ระยะ 12.5 เมตร กำลังสัญญาณที่ได้รับจากสเปกตรัมในรูปแบบ แผนนอนได้ที่ -57.1 dBm ในขณะที่สายอากาศที่จัดวางในรูปแบบแนวตั้งมีค่ากำลังของสัญญาณที่รับได้เท่ากับ -52.9 dBm ที่ความถี่ 350 kHz ด้วยเหตุนี้ การวางในรูปแบบแนวตั้งของสายอากาศ ต้นแบบแบบบ่่วง จึงได้รับการยอมรับว่าเป็นการกำหนดค่าที่เลือกไว้สำหรับการวัดการจัดແຄวลำดับ ครั้งต่อไป

การทดสอบต่อกันสำหรับสายอากาศต้นแบบแบบบ่ӗງที่จัดรูปแบบการวางในแนวตั้ง นำมาจัดແຄว ลำดับจำนวน 2 อีลิเมนต์ ในแบบเชิงเส้น โดยมีระยะห่างระหว่างเครื่องรับและเครื่องส่ง 12.5 เมตร หลังจากนั้นหาระยะห่างระหว่างของแต่ละอีลิเมนต์ (d) ที่เหมาะสมและดีที่สุดโดยการพิจารณากำลัง ของสัญญาณที่รับได้ ระยะห่างตั้ง 10 เซนติเมตรถึง 100 เซนติเมตร ดังรูปที่ 4.20



(ก) การจัดวางสายอากาศແຄวลำดับ 1x2



(ข) การจัดวางสายอากาศແຄวลำดับ 2x1

รูปที่ 4.20 การจัดແຄวลำดับ 2 อีลิเมนต์ของสายอากาศแบบบ่ӗງขนาดเล็ก

ตารางที่ 4.2 ผลการทดสอบการจัดแคล็บดับ 2 อีลิเมนต์ของสายอากาศแบบบ่วงขนาดเล็ก

ระยะห่าง(d) (cm)	กำลังของสัญญาณ (dBm)	
	จัดแคล็บดับ	
	1x2 อีลิเมนต์	2x1 อีลิเมนต์
10	-56.4	-44.5
20	-55.6	-51.4
30	-55.5	-44.5
40	-55.6	-44.4
50	-55.5	-44.5
60	-55.3	-44.4
70	-55.2	-44.3
80	-55.6	-44.4
90	-55.4	-44.5
100	-56.2	-44.6

จากตารางที่ 4.2 แสดงให้เห็นว่าระยะห่างที่เหมาะสมที่สุดระหว่างแต่ละอีลิเมนต์อยู่ที่ 70 เซนติเมตร ส่งผลให้ค่ากำลังของสัญญาณที่รับได้เท่ากับ -44.3 dBm และ -55.2 dBm ตามลำดับ สำหรับการจัดเรียงในรูปแบบวงแหวนตั้งของสายอากาศจัดแคล็บดับ 2 อีลิเมนต์ และการจัดเรียงรูปแบบวงแหวนตั้งของสายอากาศแคล็บดับแบบบ่วงขนาดเล็ก 2x1 อีลิเมนต์ ผลการทดสอบแสดงให้เห็นว่าการจัดเรียงรูปแบบวงแหวนตั้งของสายอากาศแคล็บดับแบบบ่วงขนาดเล็ก 2x1 อีลิเมนต์ ค่า กำลังของสัญญาณที่สูงกว่า การจัดเรียงรูปแบบวงแหวนตั้ง 2 อีลิเมนต์ เพิ่มขึ้นประมาณ 8.6 dB เมื่อเปรียบเทียบกับกำลังของสัญญาณที่ได้รับจากสายอากาศแบบบ่วงขนาดเล็กแนวตั้ง 1 อีลิเมนต์ การทดสอบต่อมานำสายอากาศแบบบ่วงขนาดเล็กที่จัดรูปแบบการวางในแนวตั้ง นำมาจัดแคล็บดับจำนวน 4 อีลิเมนต์ แบ่งการทดสอบการจัดแคล็บดับที่แตกต่างกันออกไปเป็น 3 แบบทดสอบ โดยมีระยะห่างระหว่างเครื่องรับและเครื่องส่ง 12.5 เมตร หลังจากนั้นหาระยะห่างระหว่างของแต่ละอีลิเมนต์ (d) ที่เหมาะสมและดีที่สุดโดยการพิจารณาค่ากำลังของสัญญาณที่รับได้ ระยะห่างตั้ง 10 เซนติเมตรถึง 100 เซนติเมตร ดังรูปที่ 4.21



(ก) การจัดวางสายอากาศแควลำดับ 1x4



(ข) การจัดวางสายอากาศแควลำดับ 4x1



(ค) การจัดวางสายอากาศแควลำดับ 2x2

รูปที่ 4.21 การจัดແຄวลำดับ 4 อีลิเมนต์ของสายอากาศแบบบ่่วงขนาดเล็ก

ตารางที่ 4.3 ผลการทดสอบการจัดແຄวลำดับ 4 อีลิเมนต์ของสายอากาศแบบบ่่วงขนาดเล็ก

ระยะห่าง(d) (cm)	กำลังของสัญญาณ (dBm)		
	จัดແຄวลำดับ		จัดແຄวลำดับ 2x2 อีลิเมนต์
	1x4 อีลิเมนต์	4x1 อีลิเมนต์	
10	-43.6	-33.6	-43.8
20	-44.4	-33.4	-43.7
30	-43.4	-37.5	-43.8
40	-43.6	-33.6	-44.6
50	-45.4	-33.5	-43.9
60	-43.4	-33.4	-43.7
70	-43.2	-33.1	-43.6
80	-45.5	-33.8	-43.8
90	-44.4	-33.7	-44.9
100	-45.2	-33.6	-44.7

จากตารางที่ 4.3 แสดงให้เห็นว่าระยะห่างที่เหมาะสมที่สุดระหว่างแต่ละอีลิเมนต์อยู่ที่ 70 เซนติเมตร ส่งผลให้ได้ค่ากำลังของสัญญาณที่รับได้เท่ากับ -43.2 dB, -33.1 dB และ -43.6 dB ตามลำดับเมื่อเปรียบเทียบกับกำลังของสัญญาณที่ได้รับจากสายอากาศแบบบ่่วงขนาดเล็กวางแนวตั้ง เพิ่มขึ้นอย่างเห็นได้ชัด โดยอยู่ที่ 9.7dB, 19.8 dB และ 9.3 dB ตามลำดับ

#### 4.10.2 การเปรียบเทียบผลการวัดกำลังของสัญญาณที่ได้รับ

ตารางที่ 4.4 แสดงการเปรียบเทียบผลการวัดกำลังของสัญญาณที่รับได้ การจัดวางแนวของสายอากาศแบบบ่่วงขนาดเล็กแนวตั้ง 1 อีลิเมนต์, การจัดແຄวลำดับ 2 อีลิเมนต์ของสายอากาศแบบบ่่วงขนาดเล็กได้แก่ การจัดวางสายอากาศແຄวลำดับแบบบ่่วงขนาดเล็ก 1x2 อีลิเมนต์ และการจัดวางสายอากาศແຄวลำดับแบบบ่่วงขนาดเล็ก 2x1 อีลิเมนต์, การจัดແຄวลำดับ 4 อีลิเมนต์ ของสายอากาศแบบบ่่วง ได้แก่ การจัดวางสายอากาศແຄวลำดับแบบบ่่วงขนาดเล็ก 1x4 อีลิเมนต์ การจัดวางสายอากาศແຄวลำดับแบบบ่่วงขนาดเล็ก 4x1 อีลิเมนต์ และ การจัดวางสายอากาศແຄวลำดับแบบบ่่วงขนาดเล็ก 2x2 อีลิเมนต์ ที่ระยะห่างที่เหมาะสมที่สุดระหว่างแต่ละอีลิเมนต์อยู่ที่ 70 เซนติเมตร

ตารางที่ 4.4 การเปรียบเทียบผลการวัดกำลังของสัญญาณที่ได้รับ

รูปแบบการจัดวาง สายอากาศแบบบ่่วง 350 kHz	กำลังของสัญญาณ (dBm)
แนวตั้ง 1 อีลิเมนต์	-52.9
จัดແຄวลำดับ 1x2 อีลิเมนต์	-55.2
จัดແຄวลำดับ 2x1 อีลิเมนต์	-44.3
จัดແຄวลำดับ 1x4 อีลิเมนต์	-43.2
จัดແຄวลำดับ 4x1 อีลิเมนต์	-33.1
จัดແຄวลำดับ 2x2 อีลิเมนต์	-43.6

การวิเคราะห์ข้อมูลผลการวัดทดสอบดังตารางที่ 4.4 แสดงให้เห็นว่าการนำสายอากาศแบบบ่ร่วงขนาดเล็กมาเพิ่มเป็น 2 อีลิเมนต์และ 4 อีลิเมนต์ มาจัดแฉล้ำลำดับกัน ทำให้พบว่ากำลังของสัญญาณที่รับได้สูงขึ้น โดยเฉพาะสายอากาศแบบบ่ร่วงขนาดเล็ก 4 อีลิเมนต์ของการจัดเรียงรูปแบบแนวตั้งในรูปแบบจัดแฉล้ำลำดับ  $4 \times 1$  อีลิเมนต์ ซึ่งมีระยะห่างที่เหมาะสมระหว่างแต่ละอีลิเมนต์อยู่ที่ 70 เซนติเมตร เมื่อนำมีเปรียบเทียบกับการจัดวางแนวของสายอากาศแบบบ่ร่วงแนวตั้ง 1 อีลิเมนต์ มีค่ากำลังของสัญญาณที่รับได้เท่ากับสูงกว่า 19.8 dB

#### 4.11 การทดสอบการแผ่กำลังของสายอากาศเมื่อวางอยู่พื้นดิน

##### 4.11.1 ผลการทดสอบการแผ่กำลังของสายอากาศแบบบ่ร่วงขนาดเล็ก 1 อีลิเมนต์

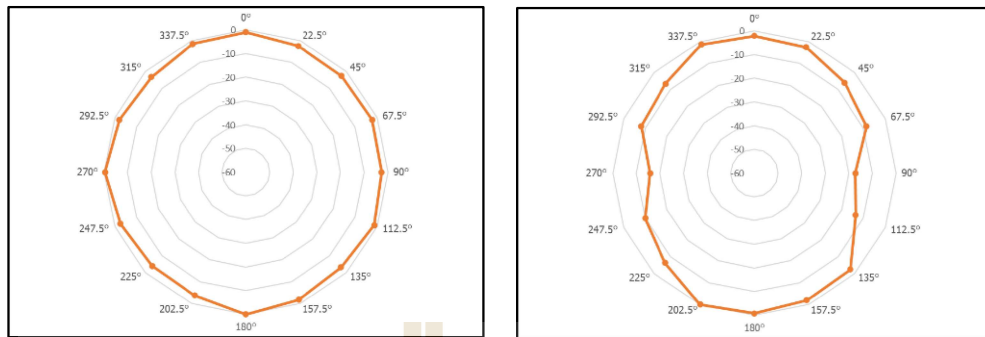
จากรูปที่ 4.22 วิธีการวัดทดสอบแบบรูปการแผ่กำลังของสายอากาศแบบบ่ร่วงขนาดเล็ก 1 อีลิเมนต์ โดยการทดสอบจะทดสอบในรูปแบบการวางแนววนอน (Horizontal) และแนวตั้ง (Vertical) เครื่องกำเนิดสัญญาณคลื่นวิทยุเป็นภาคสี่ (ออกแบบและสร้างขึ้นมาเอง) มีกำลังส่ง 38.31 dBm (5.37 วัตต์) ต่อเข้ากับสายอากาศแบบบ่ร่วงเป็นภาคสี่และนำ Antenna Module มาเป็นสายอากาศภาครับและทำการหาค่าตั้งแต่ 0 องศา ถึง 360 องศา โดยวัดทีละ 22.5 องศา ทั้งหมด 16 ตำแหน่ง ซึ่งผลของการทดสอบสายอากาศที่ได้จะเป็นตามตารางที่ 4.5



(ก) สายอากาศแบบบ่ร่วงแนววนอน

(ข) สายอากาศแบบบ่ร่วงแนวตั้ง

รูปที่ 4.22 แสดงวิธีการวัดทดสอบการแผ่กำลังของสายอากาศแบบบ่ร่วงขนาดเล็ก 1 อีลิเมนต์



(ก) สายอากาศแบบบ่่วงวางแผนอน

(ข) สายอากาศแบบบ่่วงวางแผนตั้ง

รูปที่ 4.23 แสดงตำแหน่งของการวัดการแผ่กำลังของสายอากาศแบบบ่่วงขนาดเล็ก 1 อีลิเมนต์

ตารางที่ 4.5 ผลการทดสอบการแผ่กำลังของสายอากาศแบบบ่่วงขนาดเล็ก 1 อีลิเมนต์

ทิศทาง(องศา)	กำลังของสัญญาณ (dBm)	
	สายอากาศแบบบ่่วง วางแผนอน	สายอากาศแบบบ่่วง วางแผนตั้ง
0°	-48	-45
22.5°	-49.5	-45.5
45°	-49.8	-49
67.5°	-49.3	-51.5
90°	-49.7	-60
112.5°	-48.3	-56.4
135°	-50.2	-45.4
157.5°	-48.7	-44.9
180°	-47	-43.7
202.5°	-50.7	-42.9
225°	-51	-49.4
247.5°	-49.7	-52.9
270°	-47.5	-58.7
292.5°	-49.1	-51
315°	-50.4	-49.7
337.5°	-48.5	-44.2

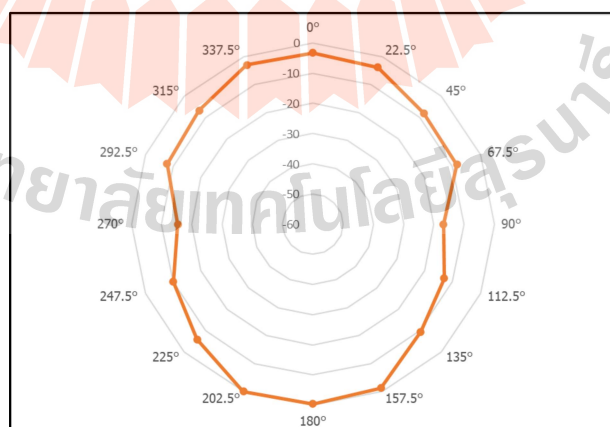
#### 4.11.2 ผลการทดสอบการแผ่กำลังของสายอากาศแคลว์ลำดับแบบบ่วงขนาดเล็ก

##### 1x2 อีลิเมนต์

จากรูปที่ 4.24 วิธีการวัดทดสอบแบบรูปการแผ่กำลังของสายอากาศแคลว์ลำดับแบบบ่วงขนาดเล็ก 1x2 อีลิเมนต์ โดยการทดสอบจะทดสอบด้วยเครื่องกำเนิดสัญญาณคลื่นวิทยุเป็นภาคส่ง (ออกแบบและสร้างขึ้นมาเอง) มีกำลังส่ง 38.31 dBm (5.37 วัตต์) ต่อเข้ากับสายอากาศแบบบ่วงขนาดเล็กเป็นภาคส่งและนำ Antenna Module มาเป็นสายอากาศภาครับและทำการหาค่าตั้งแต่ 0 องศา ถึง 360 องศา โดยวัดทีละ 22.5 องศา ทั้งหมด 16 ตำแหน่ง ซึ่งผลของการทดสอบสายอากาศที่ได้จะเป็นตามตารางที่ 4.6



รูปที่ 4.24 แสดงวิธีการวัดทดสอบการแผ่กำลังของสายอากาศแคลว์ลำดับแบบบ่วงขนาดเล็ก 1x2 อีลิเมนต์



รูปที่ 4.25 แสดงตำแหน่งของการวัดการแผ่กำลังของสายอากาศแคลว์ลำดับแบบบ่วงขนาดเล็ก 1x2 อีลิเมนต์

ตารางที่ 4.6 ผลการทดสอบการแผ่กำลังของสายอากาศแล้วลำดับแบบบ่งขนาดเล็ก 1x2 อีลิเมนต์

ทิศทาง(องศา)	กำลังของสัญญาณ (dBm)
	จัดແລວลำดับ 1x2 อีลิเมนต์
0°	-43
22.5°	-43.5
45°	-47.8
67.5°	-48.1
90°	-56.5
112.5°	-52.7
135°	-49.3
157.5°	-40.9
180°	-40.1
202.5°	-39.7
225°	-45.6
247.5°	-49.8
270°	-55
292.5°	-47.6
315°	-46.5
337.5°	-42.6

#### 4.11.3 ผลการทดสอบการแผ่กำลังของสายอากาศแคลว์ดับเบิลต์บ่วงขนาดเล็ก

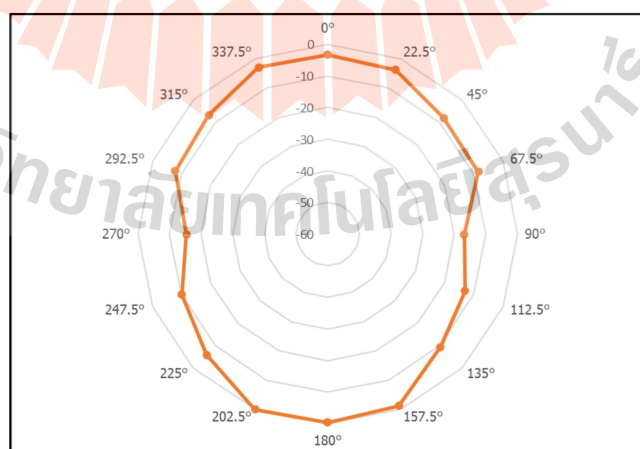
##### 2x1 อีลิเมนต์

จากรูปที่ 4.26 วิธีการวัดทดสอบแบบรูปการแผ่กำลังของสายอากาศแคลว์ดับเบิลต์บ่วงบ่วงขนาดเล็ก 2x1 อีลิเมนต์ โดยการทดสอบจะทดสอบด้วยเครื่องกำเนิดสัญญาณคลื่นวิทยุเป็นภาคส่ง (ออกแบบและสร้างขึ้นมาเอง) มีกำลังส่ง 38.31 dBm (5.37 วัตต์) ต่อเข้ากับสายอากาศแบบบ่วงเป็นภาคส่งและนำ Antenna Module มาเป็นสายอากาศภาครับและทำการหาค่าตั้งแต่ 0 องศา ถึง 360 องศา โดยวัดทีละ 22.5 องศา ทั้งหมด 16 ตำแหน่ง ซึ่งผลของการทดสอบสายอากาศที่ได้จะเป็นตามตารางที่ 4.7



รูปที่ 4.26 แสดงวิธีการวัดทดสอบการแผ่กำลังของสายอากาศแคลว์ดับเบิลต์บ่วงขนาดเล็ก

##### 2x1 อีลิเมนต์



รูปที่ 4.27 แสดงตำแหน่งของการวัดการแผ่กำลังของสายอากาศแคลว์ดับเบิลต์บ่วงขนาดเล็ก

##### 2x1 อีลิเมนต์

ตารางที่ 4.7 ผลการทดสอบการแผ่กำลังของสายอากาศแคลว์ดับเบิลบ่งขนาดเล็ก 2x1 อีลิเมนต์

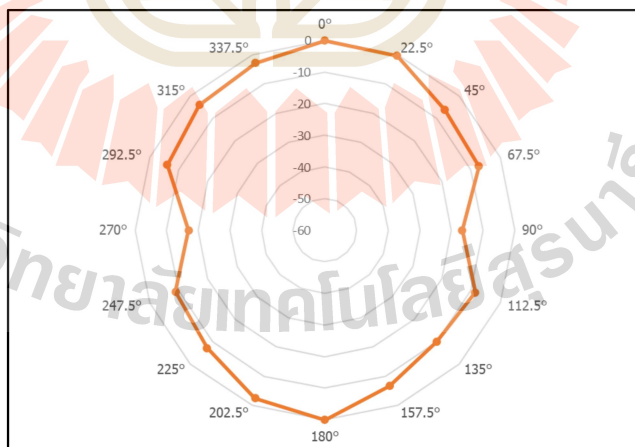
ทิศทาง(องศา)	กำลังของสัญญาณ (dBm)
	จัดແລວດັບ 2x1 ອືລິເມນົກ
0°	-38.2
22.5°	-40.6
45°	-45.4
67.5°	-45.4
90°	-54.6
112.5°	-49.6
135°	-49.3
157.5°	-42.9
180°	-38.7
202.5°	-38.7
225°	-45.6
247.5°	-46.9
270°	-55.7
292.5°	-45.5
315°	-42.7
337.5°	-40.6

#### 4.11.4 ผลการทดสอบการแผ่กำลังของสายอากาศแคลว์ลำดับแบบบ่ร่วงขนาดเล็ก 1x4 อีลิเมนต์

จากรูปที่ 4.28 วิธีการวัดทดสอบแบบรูปการแผ่กำลังของสายอากาศแคลว์ลำดับแบบบ่ร่วงขนาดเล็ก 1x4 อีลิเมนต์ โดยการทดสอบจะทดสอบด้วยเครื่องกำเนิดสัญญาณคลื่นวิทยุเป็นภาคส่ง (ออกแบบและสร้างขึ้นมาเอง) มีกำลังส่ง 38.31 dBm (5.37 วัตต์) ต่อเข้ากับสายอากาศแบบบ่ร่วงขนาดเล็กเป็นภาคส่งและนำ Antenna Module มาเป็นสายอากาศภาครับและทำการหาค่าตั้งแต่ 0 องศา ถึง 360 องศา โดยวัดทีละ 22.5 องศา ทั้งหมด 16 ตำแหน่ง ซึ่งผลของการทดสอบสายอากาศที่ได้จะเป็นตามตารางที่ 4.8



รูปที่ 4.28 แสดงวิธีการวัดทดสอบการแผ่กำลังของสายอากาศแคลว์ลำดับแบบบ่ร่วงขนาดเล็ก 1x4 อีลิเมนต์



รูปที่ 4.29 แสดงตำแหน่งของการวัดการแผ่กำลังของสายอากาศแคลว์ลำดับแบบบ่ร่วงขนาดเล็ก 1x4 อีลิเมนต์

ตารางที่ 4.8 ผลการทดสอบการแผ่กำลังของสายอากาศแคลว์ลำดับแบบบ่วงขนาดเล็ก 1x4 อีลิเมนต์

ทิศทาง(องศา)	กำลังของสัญญาณ (dBm)
	จัดแคลว์ลำดับ 1x4 อีลิเมนต์
0°	-36.4
22.5°	-36.6
45°	-42.6
67.5°	-43.6
90°	-52.9
112.5°	-44.8
135°	-46.3
157.5°	-42.9
180°	-36.3
202.5°	-38.7
225°	-43.6
247.5°	-45.3
270°	-53.3
292.5°	-42.4
315°	-40.3
337.5°	-39.1

#### 4.11.5 ผลการทดสอบการแผ่กำลังของสายอากาศแคลว์ดับเบิบบ่วงขนาดเล็ก

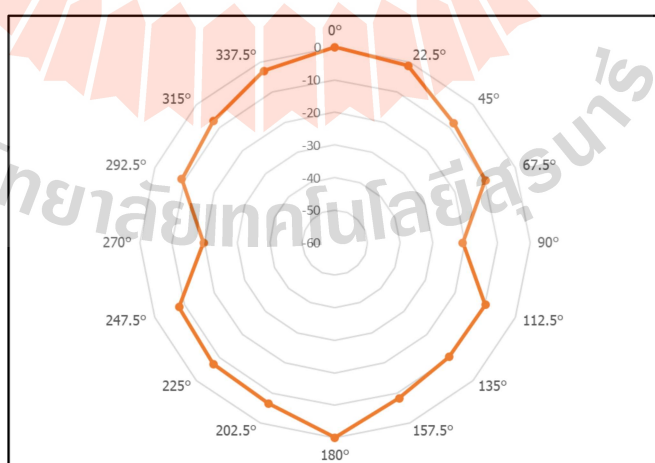
##### 4x1 อีลิเมนต์

จากรูปที่ 4.30 วิธีการวัดทดสอบแบบรูปการแผ่กำลังของสายอากาศแคลว์ดับเบิบบ่วงขนาดเล็ก 1x4 อีลิเมนต์ โดยการทดสอบจะทดสอบด้วยเครื่องกำเนิดสัญญาณคลื่นวิทยุเป็นภาคส่ง (ออกแบบและสร้างขึ้นมาเอง) มีกำลังส่ง 38.31 dBm (5.37 วัตต์) ต่อเข้ากับสายอากาศแบบบ่วงเป็นภาคส่งและนำ Antenna Module มาเป็นสายอากาศภาครับและทำการหาค่าตั้งแต่ 0 องศา ถึง 360 องศา โดยวัดทีละ 22.5 องศา ทั้งหมด 16 ตำแหน่ง ซึ่งผลของการทดสอบสายอากาศที่ได้จะเป็นตามตารางที่ 4.9



รูปที่ 4.30 แสดงวิธีการวัดทดสอบการแผ่กำลังของสายอากาศแคลว์ดับเบิบบ่วงขนาดเล็ก

##### 4x1 อีลิเมนต์



รูปที่ 4.31 แสดงตำแหน่งของการวัดการแผ่กำลังของสายอากาศแคลว์ดับเบิบบ่วงขนาดเล็ก

##### 4x1 อีลิเมนต์

ตารางที่ 4.9 ผลการทดสอบการแผ่กำลังของสายอากาศแล้วลำดับแบบบ่งขนาดเล็ก 4x1 อีลิเมนต์

ทิศทาง(องศา)	กำลังของสัญญาณ (dBm)
	จัดเรียงลำดับ 4x1 อีลิเมนต์
0°	-32.2
22.5°	-33.4
45°	-40.5
67.5°	-42.1
90°	-52.9
112.5°	-42.1
135°	-42.6
157.5°	-40.4
180°	-32.3
202.5°	-38.7
225°	-39.4
247.5°	-40.4
270°	-51.9
292.5°	-41.3
315°	-39.4
337.5°	-35.2

#### 4.11.6 ผลการทดสอบการแผ่กำลังของสายอากาศแคลว์ลำดับแบบบ่่วงขนาดเล็ก

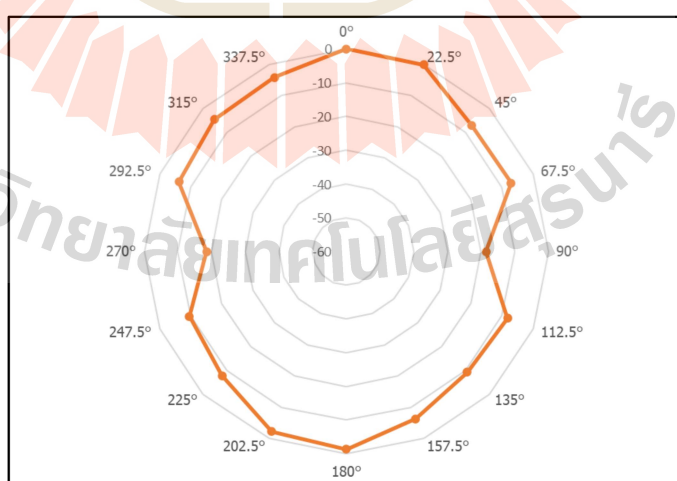
##### 2x2 อีลิเมนต์

จากรูปที่ 4.32 วิธีการวัดทดสอบแบบบุรุปการแผ่กำลังของสายอากาศแคลว์ลำดับแบบบ่่วงขนาดเล็ก 2x2 อีลิเมนต์ โดยการทดสอบจะทดสอบด้วยเครื่องกำเนิดสัญญาณคลื่นวิทยุเป็นภาคส่ง (ออกแบบและสร้างขึ้นมาเอง) มีกำลังส่ง 38.31 dBm (5.37 วัตต์) ต่อเข้ากับสายอากาศแบบบ่่วงเป็นภาคส่งและนำ Antenna Module มาเป็นสายอากาศภาครับและทำการหาค่าตั้งแต่ 0 องศา ถึง 360 องศา โดยวัดทีละ 22.5 องศา ทั้งหมด 16 ตำแหน่ง ซึ่งผลของการทดสอบสายอากาศที่ได้จะเป็นตามตารางที่ 4.10



รูปที่ 4.32 แสดงวิธีการวัดทดสอบการแผ่กำลังของสายอากาศแคลว์ลำดับแบบบ่่วงขนาดเล็ก

##### 2x2 อีลิเมนต์



รูปที่ 4.33 แสดงตำแหน่งของการวัดการแผ่กำลังของสายอากาศแคลว์ลำดับแบบบ่่วงขนาดเล็ก 2x2 อีลิเมนต์

ตารางที่ 4.10 ผลการทดสอบการแผ่กำลังของสายอากาศแคลมดับเบิลบ์วงขนาดเล็ก 2x2 อีลิเมนต์

ทิศทาง(องศา)	กำลังของสัญญาณ (dBm)
	จัดแคลมดับ 2x2 อีลิเมนต์
0°	-35.3
22.5°	-35.4
45°	-42.6
67.5°	-42.4
90°	-53.8
112.5°	-43.5
135°	-44.6
157.5°	-41.6
180°	-36.7
202.5°	-37.5
225°	-43.2
247.5°	-44.9
270°	-53.8
292.5°	-41.5
315°	-39.9
337.5°	-39.5

#### 4.12 สรุป

ในบทนี้ได้นำเสนอการวิเคราะห์ออกแบบและสร้างสายอากาศต้นแบบแบบบ่วงขนาดเล็ก ที่นำสายอากาศของ HeyPhone ที่สร้างขึ้นมาจากสายนำสัญญาณแบบหลายແղນจำนวน 60 เส้น ที่มีลักษณะเป็นรูปทรงสี่เหลี่ยมจัตุรัส มาเป็นต้นแบบในการวิจัยนี้ที่ย่านความถี่ 350 kHz ซึ่งออกแบบสายอากาศให้มีความยาวเท่ากับ 1/50 ของความยาวคลื่นสำหรับความถี่การทำงานที่ 350 kHz การศึกษาและทดสอบเรื่องการจัดวางสายอากาศแบบบ่วงขนาดเล็กสำหรับการสื่อสารผ่านพื้นดิน ถ้าประโพธิสัตว์ จ.สระบุรี โดยการวัดสัญญาณที่ส่งลงมาจากบนถ้ำ การวิเคราะห์ข้อมูลผลการวัด แสดงให้เห็นว่าการนำสายอากาศแบบบ่วงขนาดเล็กมาเพิ่มเป็น 2 อีลิเมนต์และ 4 อีลิเมนต์ มาจัดແຄวลำดับกัน ทำให้พบว่ากำลังของสัญญาณที่รับได้สูงขึ้น โดยเฉพาะสายอากาศแบบบ่วงขนาดเล็ก 4 อีลิเมนต์ ของการจัดเรียงรูปแบบแนวตั้งในรูปแบบจัดແຄวลำดับ 4x1 อีลิเมนต์ ซึ่งมีระยะห่างที่เหมาะสมระหว่างแต่ละอีลิเมนต์อยู่ที่ 70 เซนติเมตร เมื่อนำมีเปรียบเทียบกับการจัดวางแนวของสายอากาศแบบบ่วงแนวตั้ง 1 อีลิเมนต์ มีค่ากำลังของสัญญาณที่รับได้สูงกว่า 19.8 dB

## บทที่ 5

### สรุปและข้อเสนอแนะ

#### 5.1 สรุป

ด้วยวัตถุประสงค์ของวิทยานิพนธ์เล่มนี้ ศึกษาและออกแบบสายอากาศแบบบ่่วงขนาดเล็ก สำหรับย่านความถี่กลาง เพื่อนำมาทำเป็นระบบสื่อสารแบบไร้สายไปใช้งานภายในถ้ำ ซึ่งปัจจุบัน อุปกรณ์เครื่องมือสื่อสารที่จะนำไปใช้งานภายในถ้ำนั้นจะใช้ความถี่สูง เมื่อนำไปใช้งานภายในถ้ำนั้นจะ ส่งผลให้สื่อสารได้ในระยะทางที่สั้นเนื่องจากคลื่นเกิดการเลี้ยวเบน ไปตามผนังต่อต่อและที่สำคัญที่สุด คือมีความล้าช้า ของคลื่นความถี่ต่ำสามารถเดินทางแทรกเข้าไปในพื้นผิวนังได้มาก เมื่อผนัง ถ้ำมีความนำสูง ดังนั้นจึงทำการศึกษาและออกแบบสายอากาศแบบบ่่วงที่มีความถี่ต่ำ แต่อย่างไรก็ ตามการออกแบบสายอากาศที่มีความถี่ต่ำจะส่งผลทำให้สายอากาศแบบบ่่วงมีขนาดที่ใหญ่มาก เนื่องจากมีความยาวคลื่นที่ยาวมากจึงทำให้ยากต่อการนำไปใช้งานภายในถ้ำได้

หลังจากนั้นจึงได้ศึกษาและหาข้อมูลเกี่ยวกับระบบสื่อสารภายในถ้ำ ได้พบว่า มีระบบสื่อสาร ที่ใช้งานภายในถ้ำ ระบบสื่อสารเรียกว่า การสื่อสารผ่านพื้นดิน ซึ่งระบบสื่อสารใช้คลื่นแม่เหล็กไฟฟ้า ความถี่ต่ำส่งคลื่นลงฝ่าไปยังพื้นผิวดินและใต้ดิน ระบบวิทยุสื่อสารสำหรับใช้ในถ้ำนี้มีเช่นว่า HeyPhone ซึ่งใช้สำหรับการติดต่อสื่อสารจากภายนอกถ้ำ ใช้ความถี่ 87 kHz ระบบสื่อสาร HeyPhone นี้จะใช้สายอากาศแบบบ่่วงสีเหลืองจัตุรัสขนาดความกว้าง 1 เมตร ซึ่ง สามารถติดตั้งสื่อใช้งานได้ง่ายและรวดเร็ว แต่จะถูกจำกัดด้วยระยะทางที่ไม่สามารถติดต่อสื่อสารได้ ไกลมากนัก

หลังจากนั้นได้ศึกษาและพบว่าค้างคาวหอยด้านหน้าเพื่อวัดระยะทาง ที่ความถี่ 20 kHz – 200 kHz จึงหลีกเลี่ยง ในการใช้ความถี่ที่ต่ำกว่า 300 kHz

ดังนั้นวิทยานิพนธ์นี้จึงได้นำสายอากาศแบบบ่่วงของ HeyPhone นำมาเป็นต้นแบบ จากนั้น จึงทำการจำลองโครงสร้างเพื่อศึกษาและวิเคราะห์ผล เพื่อทำการเพิ่มประสิทธิภาพให้กับสายอากาศ แบบบ่่วงสำหรับใช้งานที่ย่านความถี่ 350 kHz โดยทำการลักษณะการจัดวางของสายอากาศที่ เหมาะสม เมื่อได้ลักษณะการจัดวางของสายอากาศแล้ว จึงนำสายอากาศมาจัดและลำดับ 2 อีลิเมนต์ 4 อีลิเมนต์ และหาระยะห่างที่เหมาะสม จะพบว่า การนำสายอากาศแบบบ่่วงขนาดเล็กมาจัดและ ลำดับนั้น มีค่าอัตราขยายที่สูงขึ้น เมื่อนำสายอากาศแล้วลำดับแบบบ่่วง 4x1 อีลิเมนต์ เปรียบเทียบ กับสายอากาศแบบบ่่วง 1 อีลิเมนต์ ที่การจัดวางแบบแนวอนและการจัดวางแบบแนวตั้ง เท่ากับ

11.15 dBi และ 10.17 dBi ตามลำดับ และจะสังเกตได้ว่าค่ากระแสพื้นผิวสูงขึ้น เมื่อนำสายอากาศ แควร์ลัมดับแบบบ่วงขนาดเล็ก  $4 \times 1$  อีลิเมนต์ เปรียบเทียบกับสายอากาศแบบบ่วง 1 อีลิเมนต์ เท่ากับ  $40.65 \text{ A/m}$  และ  $38.54 \text{ A/m}$  จึงคิดว่าถ้านำไปวัดสอบจะสามารถเห็นยาน้ำกระเสจากพื้นโลกได้มากขึ้นด้วยและส่งผลให้รับสัญญาณได้สูงขึ้นเช่นเดียวกัน จากนั้นนำไปสร้างโครงสร้างสายอากาศแบบบ่วงขนาดเล็กขึ้นมาและทำการทดสอบการจัดรูปแบบการวางและระยะห่างแต่ละอีลิเมนต์ที่เหมาะสมสมที่สุด

จากนั้นสร้างสายอากาศแบบบ่วงขนาดเล็กที่ความถี่  $350 \text{ kHz}$  นำมาศึกษาและทดสอบเรื่องการจัดวางสายอากาศแบบบ่วงขนาดเล็กสำหรับการสื่อสารผ่านพืนดิน ถ้าพระโพธิสัตว์ จ.สระบุรี ในสภาพแวดล้อมของถ้ำการวัดของเราก็จะข้องกับการวัดสัญญาณที่ส่งจากบนถ้ำ ลงมายังชั้นใต้พื้นผิวดิน ที่ตั้งระยะ  $12.5 \text{ เมตร}$  ภายในที่ทดสอบถ้ำ ซึ่งในครั้งนี้ได้ใช้เครื่องกำเนิดสัญญาณคลื่นวิทยุเป็นภาคส่ง มีกำลังส่ง  $38.31 \text{ dBm}$  หรือเท่ากับ  $5.37 \text{ วัตต์}$  และเครื่องวิเคราะห์แบบสเปกตรัมต่อเข้ากับสายอากาศแบบบ่วงขนาดเล็ก นำมาเป็นภาครับ โดยทำการทดสอบที่ความถี่  $350 \text{ kHz}$  และได้จัดเตรียมแท่งอิเล็กโทรดและลดตัวนำไฟฟ้าที่มีความยาวเท่ากับที่ระบบของ HeyPhone นำมาใช้งานทดสอบ

ขั้นตอนแรก เราจะกำหนดการจัดวางแนวสายอากาศในรูปแบบการวางแบบแนวอนและแนวตั้ง จำนวน 1 อีลิเมนต์ ผลการทดสอบกำลังสัญญาณที่ได้รับจากเครื่องสเปกตรัมในรูปแบบแนวอนได้ที่  $-57.1 \text{ dBm}$  ในขณะที่สายอากาศที่จัดวางในรูปแบบแนวตั้งกำลังของสัญญาณที่รับได้  $-52.9 \text{ dBm}$  การวางในรูปแบบการวางแนวตั้งของสายอากาศแบบบ่วงขนาดเล็ก จึงได้รับการยอมรับว่าเป็นการกำหนดค่าที่เลือกไว้สำหรับการวัดการจัดเรียงลัมดับ

หลังจากนั้นจึงได้นำสายอากาศแบบบ่วงขนาดเล็ก  $2$  อีลิเมนต์ นำมาจัดແควร์ลัมดับกันและหาระยะห่างระหว่างของแต่ละอีลิเมนต์ที่เหมาะสมและตีที่สุด ระยะห่างตั้งแต่  $10 \text{ } \mu\text{m}$  ถึง  $100 \text{ } \mu\text{m}$  ระยะห่างที่เหมาะสมที่สุดระหว่างแต่ละอีลิเมนต์อยู่ที่  $70 \text{ } \mu\text{m}$  ผลการทดสอบ การจัดเรียงรูปแบบวางแนวตั้งของสายอากาศແควร์ลัมดับแบบบ่วงขนาดเล็ก  $1 \times 2$  อีลิเมนต์ และการจัดเรียงรูปแบบวางแนวตั้งของสายอากาศແควร์ลัมดับแบบบ่วงขนาดเล็ก  $2 \times 1$  อีลิเมนต์ ระยะห่างที่เหมาะสมที่สุดระหว่างแต่ละอีลิเมนต์อยู่ที่  $70 \text{ } \mu\text{m}$  ส่งผลให้ได้ค่ากำลังของสัญญาณที่รับได้เท่ากับ  $-44.3 \text{ dBm}$  และ  $-55.2 \text{ dBm}$  ตามลำดับ ทำให้การจัดเรียงรูปแบบวางแนวตั้งของสายอากาศແควร์ลัมดับแบบบ่วงขนาดเล็ก  $2 \times 1$  อีลิเมนต์ เพิ่มขึ้น  $8.6 \text{ dB}$

หลังจากนั้นจึงได้นำสายอากาศแบบบ่วงขนาดเล็ก  $4$  อีลิเมนต์ นำมาจัดແควร์ลัมดับกันและหาระยะห่างระหว่างของแต่ละอีลิเมนต์ที่เหมาะสมและตีที่สุด ระยะห่างตั้งแต่  $10 \text{ } \mu\text{m}$  ถึง  $100 \text{ } \mu\text{m}$  ระยะห่างที่เหมาะสมที่สุดระหว่างแต่ละอีลิเมนต์อยู่ที่  $70 \text{ } \mu\text{m}$  ผลการทดสอบการจัดเรียงรูปแบบวางแนวตั้งของสายอากาศແควร์ลัมดับแบบบ่วงขนาดเล็ก  $1 \times 4$  อีลิเมนต์ การจัดเรียง

รูปแบบวางแผนตั้งของสายอากาศแคลมดับแบบบ่องขนาดเล็ก  $4 \times 1$  อีลิเมนต์ และการจัดเรียงรูปแบบวางแผนตั้งของสายอากาศแคลมดับแบบบ่องขนาดเล็ก  $2 \times 2$  อีลิเมนต์ ส่งผลให้ได้กำลังของสัญญาณที่รับได้เท่ากับ  $-43.2$  dB,  $-33.1$  dB และ  $-43.6$  dB ตามลำดับ ทำให้การจัดเรียงรูปแบบวางแผนตั้งของสายอากาศแคลมดับแบบบ่องขนาดเล็ก  $4 \times 1$  อีลิเมนต์ ค่ากำลังของสัญญาณได้สูงที่สุด

การวิเคราะห์ข้อมูลผลการวัดทดสอบถ้าพระโพธิสัตว์ จ.สระบุรี แสดงให้เห็นว่าการนำสายอากาศแบบบ่องขนาดเล็กมาเพิ่มเป็น  $2$  อีลิเมนต์  $4$  อีลิเมนต์ มาจัดแคลมดับกัน ทำให้พบว่า กำลังของสัญญาณที่รับได้สูงขึ้น โดยเฉพาะสายอากาศแบบบ่องขนาดเล็ก  $4$  อีลิเมนต์ของการจัดเรียงรูปแบบวางแผนตั้งในรูปแบบจัดแคลมดับ  $4 \times 1$  อีลิเมนต์ ซึ่งมีระยะห่างที่เหมาะสมระหว่างแต่ละอีลิเมนต์อยู่ที่  $70$  เซนติเมตร เมื่อนำมามีเปรียบเทียบกับการจัดวางแนวของสายอากาศแบบบ่องแนวตั้ง  $1$  อีลิเมนต์ มีค่ากำลังของสัญญาณที่รับได้สูงกว่า  $19.8$  dB

## 5.2 ข้อเสนอแนะในการวิจัย

จากการสรุปของวิทยานิพนธ์เล่มนี้ แสดงให้เห็นว่าการออกแบบสายอากาศการจัดแคลมดับ  $4$  อีลิเมนต์ การจัดเรียงรูปแบบแนวตั้งในรูปแบบจัดแคลมดับ  $4 \times 1$  อีลิเมนต์ สามารถเพิ่มประสิทธิภาพของสายอากาศแบบบ่องขนาดเล็กได้ จากคุณสมบัติที่กล่าวมายังนำไปใช้งานในถ้ำได้ทั่วประเทศ และไม่ยุ่งยากต้องการติดตั้งสายอากาศในพื้นที่ที่อยู่ภายใต้ถ้ำเล็กๆ ได้

สุดท้ายนี้ผู้วิจัยคาดหวังว่าการออกแบบ วิเคราะห์ และผลการทดสอบ วิทยานิพนธ์เล่มนี้จะนำไปเป็นประโยชน์ ในแนวทางการช่วยเหลือผู้ประสบภัยภายในถ้ำหรือด้านต่างๆ ให้แก่ผู้ที่สนใจในเรื่องนี้

## เอกสารอ้างอิง

- รังสรรค์ วงศ์สรรค์. (2555). วิศวกรรมสายอากาศ . นครราชสีมา ประเทศไทย: ศูนย์นวัตกรรมและเทคโนโลยีการศึกษา: มหาวิทยาลัยเทคโนโลยีสุรนารี.
- Howard, R. S., & Vaughan, H. D. (1998). Navy Electricity and Electronics Training Series, Module 10 : Introduction to Wave Propagation, Transmission Lines, and Antennas. Naval Education and Training Professional Development and Technology Center, Florida.
- M. Bedford, "Introducing a New Cave Radio for Rescue Use," BCRA Cave Radio & Electronics Group, Journal 41, September 2000.
- N. W. Damiano, L. Yan, B. Whisner, and C. Zhou, "Simulation and Measurement of Through-the-Earth, Extremely Low-Frequency Signals Using Copper-Clad Steel Ground Rods," IEEE Transactions on Industry Applications, Vol: 53, No: 5, 5088-5095, 2017.
- L. Van and C. Sunderman, "Electric Field of Grounded Horizontal Line Transmitter for Through-the-Earth Communication," 2015 31st International Review of Progress in Applied Computational Electromagnetics (ACES), Vol. 31, March 22-26, 2015, Virginia, USA.
- M. Bedford, J. Hey and B. J. Jopling. "A Loop Antenna for the HeyPhone." BCRA CAVE RADIO & ELECTRONICS GROUP, JOURNAL 50, DECEMBER 2002.
- M. Bedford, "Introducing the HeyPhone," C&C Magazine, pp.15-17, Autumn/winter 2001.
- J. Huri and C. Ebi, "Alpine Cave Radio-Earth-current at Holloch," Journal of BCRA Cave Radio & Electronics Group, No.25, September 1996.
- C. Trayner, "CRO HeyPhone Communications System Technical Reference Manual (Temporary)," No. 3, pp. 1-39, 23 June 2002.
- Joshi, Akshay, and S. K. Behera. "Method of Moments analysis of Circular loop linear array and Circular loop circular array." 2016 IEEE Students' Conference on Electrical, Electronics and Computer Science (SCEECS). IEEE, 2016.

พีรสัมฤทธิ์ คำ สาลี, อรรถวิท จันทอุปถี, รังสรรค์ วงศ์สรรค์ วารสารงานวิจัยและพัฒนาเชิงประยุกต์  
โดย สมาคม ECTI, 2022





บทความวิชาการที่ได้รับการตีพิมพ์เผยแพร่ในระหว่างการศึกษา

ภาคผนวก ก

## รายชื่อบทความวิชาการที่ได้รับการตีพิมพ์เผยแพร่ในระหว่างศึกษา

### งานประชุมวิชาการระดับนานาชาติ

Suphawit Julthochai, Atawit Jantaupalee, Peerasan Khamsalee, and Rangsan Wongsan, “An Experimental Study of Wave Propagation in Sandstone Cave,” the 2023 International Symposium on Antennas and Propagation (ISAP 2023). Kuala Lumpur, Malaysia, 30 October - 2 November 2023, pp.1-2.

Suphawit Julthochai, Atawit Jantaupalee, Peerasan Khamsalee, and Rangsan Wongsan, “Small Loop Antenna Arrangement Investigation for 350 kHz Through-the-Earth Communications in Limestone Cave” the 2024 International Electrical Engineering Congress (IEECON 2024). Pattaya Chonburi, Thailand 6-8 March 2024 , pp1-4.



# An Experimental Study of Wave Propagation in Sandstone Cave

Suphawit Julthochai, Atawit Jantaupalee, Peerasan Khamsalee, and Rangsan Wongsan  
 School of Telecommunication Engineering, Suranaree University of Technology  
 Nakhon Ratchasima, Thailand  
 Suphawit.Jul@gmail.com, d6300647@g.sut.ac.th, peerasan@sut.ac.th, rangsan@sut.ac.th

**Abstract**— Effective communication in caves is crucial for rescuers during accidents or disasters. Previous studies have investigated wave propagation in tunnels and limestone caves. This paper presents an experimental study of wave propagation in a sandstone cave at Wat Tham Patihan Cave in Thailand, covering the MF to UHF bands in both line-of-sight (LOS) and non-line-of-sight (NLOS) scenarios. The study aims to investigate the behavior of waves while traveling in the sandstone cave. The study found that in LOS, the path loss decreases with higher frequencies, contrary to the propagation theory in free space. Since waves traveling in a cave behave like they are in a dielectric-walled waveguide. In NLOS, the path loss in the L-Bend range at low frequencies was lower than that at high frequencies due to the ability to reflect, diffract, and encounter obstructions. In contrast, at 350 kHz, a high attenuation is caused by the skin effect when the wave travels through the arc, penetrating the cave wall. The study results will aid in developing communication systems and antennas for use in caves.

**Keywords**— *Wave propagation, Cave communication, Propagation measurement*

## I. INTRODUCTION

For a long time, communication within mines or caves was essential to rescue in accidents or disasters within mines and caves. According to all incidents, rescuers must have the most effective communication support. Previous works have studied wave propagation in tunnels, mines, and caves. Reference [1] studied wave propagation in narrow man-made tunnels. Including the study of wave propagation in natural caves from research [2-4]. Significantly, these studies are a model for studying wave propagation in limestone caves in Thailand [5].

Therefore, this paper presented an experimental study of wave propagation in a sandstone cave at Wat Tham Patihan Cave, Thailand. Wherewith the experimental measure receives power at each distance to investigate the behavior of waves while traveling in the cave, covering from MF to UHF bands both in line-of-sight (LOS) and non-line-of-sight (NLOS). In summary, the study results will lead to the development of communication systems and antennas for use in the cave in the future.

## II. METHODOLOGY

The experimental method in this paper is based on the methodology in [1-4], which led to research in [5]. The principal purpose of wave propagation study is to consider the propagation path loss. To predict each frequency's wave attenuation behavior while propagating in the cave. Therefore, this experimental method will measure the RF transmission within the cave in Line of Sight (LOS) and Non-Line of Sight (NLOS). The experiment frequency consists of 350 kHz, 1,650 kHz, 3 MHz, 16.5 MHz, 30 MHz, 165 MHz, 300 MHz, 1.65 GHz, and 3 GHz, which

cover the MF to UHF bands by choosing beginning, middle, and end of each.

The propagation path loss was measured using a wideband RF signal generator, RF spectrum analyzer, and antennas for each frequency band. On the transmitting side, a narrow-band continuous wave (CW) signal is fed from the Rohde & Schwarz SMB100B signal generator to the antenna via a 50 Ohm low-loss cable. The receiving side consists of a Rohde & Schwarz FPH spectrum analyzer with a Rohde & Schwarz HE400UWB antenna and a Rohde & Schwarz HE400HF antenna. All transmitting equipment is positioned at the starting point. The receiving equipment will measure signal levels by the initial distance between the transmitting and receiving antennas, which is 2 meters. Also, it will be progressively enlarged by 2 meters until the last distance equals 20 meters, as shown in Figure 1. Figure 2 shows that the experiment location is the Wat Tham Patihan cave. This section is located in the middle of the cave, consisting of LOS and NLOS parts. Specifically, the radiated power from the transmitter antenna can consider path loss by the slope of received power and predict the behavior of waves traveling in the cave. The LOS experiment can consider such loss directly, and the NLOS experiment will investigate the ability of diffraction or reflection on the cave wall with windings route for each frequency.

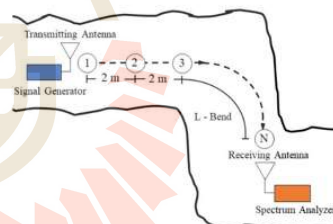


Fig. 1. The diagram of the experimental method



Fig. 2. The experiment location is called "Wat Tham Patihan Cave"

### III. RESULT AND DISCUSSION

This section presents a graph comparing the propagation loss per meter of the LOS experiment, as shown in Figure 3, and the results of the NLOS experiment, shown in Figure 4.

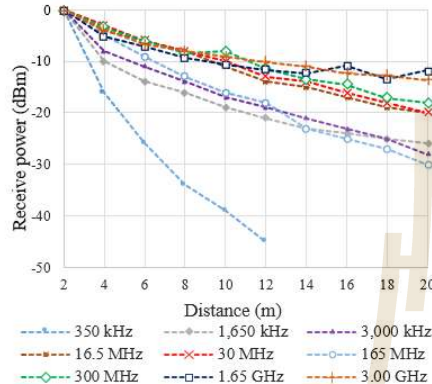


Fig. 3. The result of the LOS experiment covers the MF to UHF bands

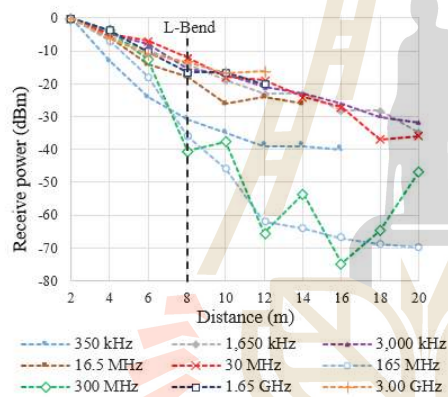


Fig. 4. The result of the NLOS experiment covers the MF to UHF bands

From the LOS results in Figure 3, the slope of the graph in dB/m can be shown as follows: 4.30@ 350 kHz, 1.24@ 1,650 kHz, 1.37@ 3,000 kHz, 1.10@ 16.5 MHz, 1.08@ 30 MHz, 1.62@ 165 MHz, 0.97@ 300 MHz, 0.59@ 1.65 GHz, and 0.67@ 3 GHz. The attenuation is lower with higher frequencies, contrary to the propagation theory in free space. Caused by waves traveling in a cave are like traveling in a dielectric-walled waveguide. However, from [5], it was found that at frequencies below the cut-off frequency of the waveguide theory still propagated due to the skin effect, allowing the wave to travel into the cave wall.

The NLOS measurement results can describe wave behavior when encountering the obstructed cave wall onto the straightway (L-Bend). Therefore, the NLOS test consists of a LOS part and an NLOS part, an L-Bend curve obscuring the traveling waves in line of sight at a distance from 8 meters up. Figure 4, the slope of the graph in dB/m at L-

bend shows as follows: 1.10@ 350 kHz, 1.54@ 1,650 kHz, 1.44@ 3,000 kHz, 1.10@ 16.5 MHz, 2.11@ 30 MHz, 2.73@ 165 MHz, 1.45@ 300 MHz, 0.90@ 1.65 GHz, and 0.70@ 3 GHz. The results showed that the path loss in the L-Bend range at low frequencies was lower than attenuation per distance at high frequencies due to the ability to reflect, diffract, and encounter obstructed. Nonetheless, at 350 kHz, a high attenuation is caused by the skin effect while the wave travels through the arc, penetrating the cave wall.

### IV. CONCLUSIONS

Effective communication is crucial for rescuers in mines and caves, and previous studies have investigated wave propagation in these environments. This paper presents an experimental study on wave propagation in the sandstone cave at Wat Tham Patihan Cave, covering the MF to UHF bands and examining both line of sight (LOS) and non-line of sight (NLOS) propagation. The results show that each frequency's behavior has advantages and disadvantages. The path loss in the LOS propagation is lower with higher frequencies that contrast with free-space theory because the wave propagation in the cave is similar to traveling in a dielectric-walled waveguide, and frequencies below the waveguide cutoff still propagate due to the skin effect. The NLOS results describe the wave behavior when encountering the obstructed cave wall in the L-Bend curve, demonstrating that the path loss at low frequencies is lower than at high frequencies due to the wave's ability to reflect, diffract, and encounter obstructions. However, at 350 kHz, the wave experiences high path loss due to the skin effect while traveling through the arc and penetrating the cave wall. Overall, this study provides valuable insights into RF propagation in sandstone caves, which can inform the design and deployment of communication systems in similar environments.

### V. FUTURE WORK

From the results, it shows the propagation behavior of each frequency. The low frequencies can penetrate the rock layers, causing to development Through-The-Earth (TTE) communications and specific antennas. Moreover, high-frequency communications can also be improved within caves using repeaters during curves or obstacles.

### REFERENCES

- [1] E. Kjeldsen, and M. Hopkins. "An experimental look at RF propagation in narrow tunnels." In MILCOM 2006-2006 IEEE Military Communications conference, IEEE, pp. 1-7, October 2006.
- [2] M. Rak, and P. Pechac. "UHF propagation in caves and subterranean galleries." IEEE Transactions on antennas and propagation 55, no. 4, pp. 1134-1138, April 2007.
- [3] Bedford, Michael D., and Gareth A. Kennedy. "Modeling microwave propagation in natural caves passages." IEEE Transactions on antennas and propagation 62, no. 12, pp. 6463-6471, October 2014.
- [4] Soo QP, Lim SY, Lim DW, Yap KM, Lau SL. Propagation measurement of a natural cave-turned-wine-cellar." IEEE Antennas and Wireless Propagation Letters 17, no. 5, pp. 743-746, March 2018.
- [5] R. Wongsan, P. Khamsalee, A. Wannakomol, P. Kumsawat, A. Srikaew, and A. Jantaupalee. "A Study on Radio Wave Propagation in Chiang Dao Cave". NBTC Journal, vol. 6, no. 6, pp. 123-47, November 2022.

2024 International Electrical Engineering Congress (IEECON 2024)  
March 6-8, 2024, Pattaya Chonburi, THAILAND

# Small Loop Antenna Arrangement Investigation for 350 kHz Through-the-Earth Communications in Limestone Cave

Peerasan Khamsalee

*School of Telecommunication Engineering, Suranaree University of Technology  
Nakhon Ratchasima, Thailand  
peerasan@sut.ac.th*

Suphawit Julthochai

*School of Telecommunication Engineering, Suranaree University of Technology  
Nakhon Ratchasima, Thailand  
Suphawit.Jul@gmail.com*

Rangsan Wongsan

*School of Telecommunication Engineering, Suranaree University of Technology  
Nakhon Ratchasima, Thailand  
rangsan@sut.ac.th*

Atawit Jantaupalee

*School of Telecommunication Engineering, Suranaree University of Technology  
Nakhon Ratchasima, Thailand  
d6300647@g.sut.ac.th*

**Abstract**—This paper proposes the arrangement investigation of the small loop antenna for Through-the-Earth (TTE) communications in limestone cave. Specifically designed with a 1/50 wavelength at the operating frequency of 350 kHz for cave use. The measurement setup consists of a transmitter system located at the surface station on a mountain and a receiver system at an underground station within the limestone cave at Wat Tham Phra Phothisat, Saraburi, Thailand. The signals are transmitted from the surface transmitter with an earth-grounded antenna, propagating through the earth to reach the small loop antenna with the receiver underground. We investigate the arrangement of the array and the increase of the small loop antenna element from one to four elements. From the measurement results, we found that vertically oriented single small loop antenna effectively receives signal power from the earth-grounded antenna. Moreover, the increasing of elements to the small loop antenna enhances its capacity to receive higher signal power, with the optimal arrangement being a 4x1 vertical array antenna that exhibits an increase of approximately 19.2 dB when compared with the single small loop antenna.

**Keywords**—small loop, through the earth, array.

## I. INTRODUCTION

In the 2018, football team rescue at Khun Nam Nang Non Cave in Mae Sai District, Chiang Rai Province, Thailand, it was noted that rescuers employed handheld walkie-talkies for communication within the cave. Nevertheless, a problem emerged as radio communication and mobile phone systems operating in the VHF and UHF bands proved unsuitable for long-distance communication within the cave. This limitation stems from a decrease in signal strength due to the absorption and interference of waves, which undergo reflection or partial diffraction based on the different geological features of cave walls, floors, and ceilings.

Through-the-Earth communication is widely used for transmitting signals from the Earth's surface to subterranean or caves by introducing electric currents through mountains into the caves [1-2]. When waves travel into the cave within the low-frequency band, they exhibit the ability to diffract along the walls. Furthermore, low-frequency waves possess a

characteristic known as skin depth, a crucial parameter enabling these waves to penetrate the cave walls more effectively than high-frequency waves, especially when the cave walls exhibit high conductivity [3], a characteristic often applied to Through-the-Earth communication. The Molephone is one of the Through-the-Earth communication systems using a loop antenna, particularly suitable for shallow caves [4-5]. However, a design problem with the loop antenna occurs from the necessity to size it according to the wavelength of the operating frequency. Consequently, when using the loop antennas in the low-frequency band with their extended wavelengths, the antenna necessitates a considerably large diameter, posing difficulties for use in the cave. To fix this problem, the antenna must be designed to reduce the size into a small loop antenna. Furthermore, various techniques exist to enhance antenna efficiency, with one such technique being the optimization of the antenna array. This commonly used and straightforward method involves arranging the array in a suitable format and ensuring the proper distance between its elements, contributing to increased antenna efficiency.

This paper proposed an investigation into optimizing the arrangement of a small loop antenna for Through-the-Earth communications operating at 350 kHz. The aim is to find a suitable arrangement that enhances the antenna's efficiency for transmitting and receiving signals within a cave. Our findings show that a 4x1 vertical array antenna demonstrates to be a suitable arrangement, demonstrating an increase in the receive signal power of approximately 19.2 dB compared to a single small loop antenna.

## II. PRINCIPLE OF THROUGH-THE-EARTH COMMUNICATION

The principle of a Through-the-Earth (TTE) communication system comprises a TTE transceiver linked to two earth electrodes positioned at the end of the earth-grounded antenna. To generate a signal in the earth, it is essential to create a potential difference between these two earth electrodes. These electrodes may include a variety of components such as multiple ground rods, a combination of grounded metal structures, or single rods in the simplest case. The flow of current through these electrodes induces a current

2024 International Electrical Engineering Congress (IEECON 2024)  
March 6-8, 2024, Pattaya Chonburi, THAILAND

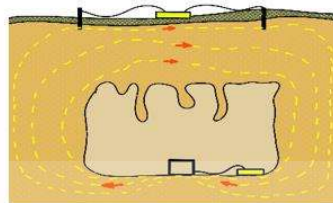


Fig. 1. Through-the-Earth (TTE) communication.

in the earth. This current then travels through the earth medium for a certain distance, as shown in Fig. 1. Another set of electrodes, positioned at a distance, can detect the transmitted signal as a potential difference, applying the same principle of utilizing two electrodes. The extent to which this current can propagate through the earth is influenced by various factors, including but not limited to earth conductivity (with multiple layers), the contact impedance of each electrode, and the transmitted current [6-7].

### III. MEASUREMENT SYSTEM AND SETUP

The measurement system of the Through-the-Earth comprises 1) a surface transmitter system with an earth-grounded antenna and RF generator, and 2) an underground receiver system with a Rider FPH spectrum analyzer and small loop antenna as shown in Fig. 2.

The measurement setup at Wat Tham Phra Phothisat in Saraburi, Thailand, involves the subterranean receiver system that receives the wave passes through the earth from the surface transmitter, as shown in Fig. 3.



Fig. 2. Through-the-Earth measurement system.

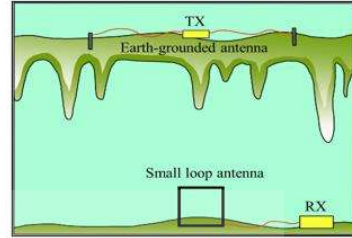


Fig. 3. Through-the-Earth measurement setup.

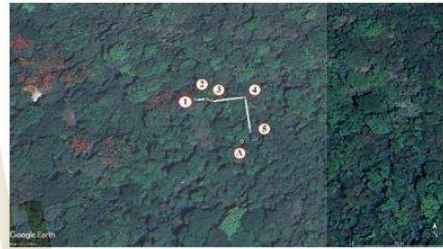


Fig. 4. A satellite view of Wat Tham Phra Phothisat.

The measurement area is shown in Fig. 4 using a satellite image. Positioned on the mountain (Point A), the surface transmitter system uses a grounded antenna featuring metal rods at each end of the wire, stuck in the earth. It operates at a frequency of 350 kHz, delivering a transmit power of 5 W. The separation between the transmitter and receiver systems is 12.5 m, and the thickness of the cave's ceiling is estimated to be around 3 meters. Located at point number 5 within the cave, the receiver system comprises a small loop antenna made from a 60-way ribbon cable, having a diameter of approximately 1 meter, and inducing current from the earth. Utilizing a spectrum analyzer, the received signal power is carefully measured. The design process of the 1/50 wavelength small square loop antenna involved scaling HeyPhone's 87 kHz frequency-operating loop antenna to operate at 350 kHz for the analog transceiver. To optimize the overall performance of the small loop antenna, it was methodically arranged into arrays of 1, 2, and 4 elements. The objective was to determine the most efficient configuration for maximizing signal power reception.

### IV. THE MEASUREMENT RESULTS

#### A. A single small loop antenna

In the first phase, we determine the best antenna orientation for a single small loop antenna by considering both horizontal and vertical alignments, shown in Fig. 5. Based on the measurement results at a distance of 12.5 m, the signal power received by the spectrum analyzer for the horizontally oriented one received -57.1 dBm, whereas a vertically oriented single small loop antenna was -52.9 dBm at the frequency of 350 kHz. Consequently, the vertical orientation of the small loop antenna (Type I) is recognized as the selected configuration for subsequent array measurements.

2024 International Electrical Engineering Congress (IEECON 2024)  
March 6-8, 2024, Pattaya Chonburi, THAILAND



(a) Horizontal



(b) vertical

Fig. 5. The orientation of a single small loop antenna.

#### B. Two-element array of small loop antenna

Subsequently, a vertical single small loop antenna was arranged into a two elements linear array, with a 12.5-meter separation between the receiver and transmitter. We determine the signal power received by the spectrum analyzer to find the appropriate spacing between each element (d), as shown in Fig. 6. The optimal spacing between each element was identified as 70 centimeters, resulting in received signal powers of -44.3 dBm and -55.2 dBm, respectively, for the vertical arrangement of the antenna array (Type II) and the horizontal arrangement of the antenna array (Type III). Measurement findings demonstrated that the two-element array yielded higher power. The vertical arrangement of the antenna array exhibited an increase of around 8.6 dB when compared to the received signal power from a single small loop antenna, as shown in Table I.

TABLE I. THE MEASUREMENT RESULTS OF 2 ELEMENT ARRAY

Spacing of element (d) (centimeters)	Received signal power (dBm)	
	Type II	Type III
10	-44.5	-56.4
20	-51.4	-55.6
30	-44.5	-55.5
40	-44.4	-55.6
50	-44.5	-55.5
60	-44.4	-55.3
70	-44.3	-55.2
80	-44.4	-55.6
90	-44.5	-55.4
100	-44.6	-56.2



(a) The vertical arrangement of the antenna array



(b) The horizontal arrangement of the antenna array

Fig. 6. The arrangement of two-element array.



(a) The vertical arrangement of the antenna array



(b) The horizontal arrangement of the antenna array



(c) The planar arrangement of the antenna array

Fig. 7. The arrangement of four-element array.

### C. Four-element array of small loop antenna

Arranging a vertical single loop antenna into three distinct element arrays with a 12.5-meter gap between the receiver and transmitter, the measurement results showed that four-element arrays could achieve higher power compared to both a single small loop antenna and two-element small loop antenna arrays. The optimal spacing (d) was determined through an evaluation of the signal power received via the spectrum analyzer, as shown in Fig. 7.

Identifying the suitable spacing for the vertical arrangement of the antenna array (Type IV), the horizontal arrangement of the antenna array (Type V), and the planar arrangement of the antenna array (Type VI) as 70 centimeters, these configurations exhibited received signal powers of -33.1 dBm, -43.2 dBm, and -43.6 dBm, respectively. In comparison to the power obtained from a single small loop antenna, the received signal power demonstrated a noticeable increase, with approximately 19.8 dB, 9.7 dB, and 9.3 dB, respectively, as shown in table II.

Analysis of the data presented in Table III revealed that the array of small loop antennas can induce the highest current from the earth. The investigation identified the most effective configuration for the small loop antenna array, identifying the 4 elements of the vertical arrangement of the antenna array with an optimal element spacing of 70 centimeters. This particular arrangement showcased a substantial increase in received signal power, approximately 19.8 dB more compared to a single small loop antenna. Furthermore, the impedance of the Type IV antenna was measured at  $35.29 + j6962.14$  ohms. These results highlight the success of this specific array configuration in increasing signal power reception for Through-the-Earth (TTE) communications within limestone caves.

TABLE II. THE MEASUREMENT RESULTS OF 4 ELEMENT ARRAY

Spacing of element (d) (centimeters)	Received signal power (dBm)		
	Type IV	Type V	Type VI
10	-33.6	-43.6	-43.8
20	-33.4	-44.4	-43.7
30	-37.5	-43.4	-43.8
40	-33.6	-43.6	-44.6
50	-33.5	-45.4	-43.9
60	-33.4	-43.4	-43.7
70	-33.1	-43.2	-43.6
80	-33.8	-45.5	-43.8
90	-33.7	-44.4	-44.9
100	-33.6	-45.2	-44.7

TABLE III. THE COMPARISON OF THE RECEIVED SIGNAL POWER

Type of antenna	Received signal power (dBm)
Type I	-52.9
Type II	-55.2
Type III	-44.3
Type IV	-33.1
Type V	-43.2
Type VI	-43.6

### V. CONCLUSION

We propose an investigation into the arrangement of small loop antennas for Through-the-Earth (TTE) communications in limestone caves. These antennas are designed with a 1/50 wavelength for the operating frequency of 350 kHz in cave environments. Our measurement involved signal measurements, transmitting from a surface transmitter to an underground receiving, positioned at a 12.5 m distance within a cave test site. To achieve optimal configurations, we expanded the number of receiver antennas, incorporating 2 and 4 elements in small loop antenna arrays. The results showed that the increased array size induced higher currents from the earth, resulting in high signal power reception. Notably, the 4 elements of the vertical arrangement of the small loop antenna array (Type IV), featuring a well-suited spacing of 70 centimeters between elements, demonstrated a signal power at the receiving system approximately 19.8 dB higher than that of a single small loop antenna. In practical techniques involving wave transmission through the earth using a radio transceiver, the implementation of a matching circuit is necessary to optimize impedance matching between the transceiver and the 4 element small loop array antenna. This optimization significantly enhances the overall efficiency of wave transmission.

### REFERENCES

- [1] M. Bedford, "Introducing a New Cave Radio for Rescue Use," BCRA Cave Radio & Electronics Group, Journal 41, September 2000.
- [2] N. W. Damiano, L. Yan, B. Whisner, and C. Zhou, "Simulation and Measurement of Through-the-Earth, Extremely Low-Frequency Signals Using Copper-Clad Steel Ground Rods," IEEE Transactions on Industry Applications, Vol. 53, No. 5, 5088-5095, 2017.
- [3] L. Van and C. Sunderman, "Electric Field of Grounded Horizontal Line Transmitter for Through-the-Earth Communication," 2015 31st International Review of Progress in Applied Computational Electromagnetics (ACES), Vol. 31, March 22-26, 2015, Virginia, USA.
- [4] M. Bedford, J. Hey and B. J. Jopling, "A Loop Antenna for the HeyPhone," BCRA CAVE RADIO & ELECTRONICS GROUP, JOURNAL 50, DECEMBER 2002.
- [5] M. Bedford, "Introducing the HeyPhone," C&C Magazine, pp.15-17, Autumn/winter 2001.
- [6] J. Huri and C. Ebi, "Alpine Cave Radio-Earth-current at Holloch," Journal of BCRA Cave Radio & Electronics Group, No.25, September 1996.
- [7] C. Trayner, "CRO HeyPhone Communications System Technical Reference Manual (Temporary)," No. 3, pp. 1-39, 23 June 2002.

## ประวัติผู้เขียน

นายศุภวิชญ์ จุลโทชัย เกิดวันที่ 6 ตุลาคม พ.ศ. 2537 เกิดที่ จังหวัดพิษณุโลก สำเร็จการศึกษาระดับ ประถมศึกษาจากโรงเรียนปฐมพรพิทยา (2550) สำเร็จการศึกษาระดับมัธยมศึกษาตอนปลาย (2555) สำเร็จการศึกษาระดับปริญญาตรี วิศวกรรมศาสตร์บัณฑิต (สาขาวิชาช่างสำรวจอิเล็กทรอนิกส์-โทรคมนาคม) จากมหาวิทยาลัย เทคโนโลยีราชมงคลอีสาน (2560)

